



MASTER AGII



SURVEILLANCE DES SYSTEMES DE PRODUCTION

Belkacem OULD BOUAMAMA

Professeur : Ecole Polytechnique de Lille (polytech-lille.fr)
Laboratoire d'Automatique, Génie Informatique et Signal (LAGIS - UMR CNRS 8021)

Coordonnées :

Belkacem.ouldbouamama@polytech-lille.fr

Tel: (33) (0) 3 28 76 73 97 , mobile : (33) (0) 6 67 12 30 20 , Bureau F014 Polytech'Lille

Pages personnelles :

<http://rimbaut.univ-lille1.fr/wiki/bin/view/Main/BelkacemBouamama>



PLAN

- ⇒ Introduction : place de la surveillance dans un système de supervision
- ⇒ Synthèse des méthodes de surveillance
- ⇒ Analyse structurelle et graphe biparti
- ⇒ Redondance d'informations pour la surveillance
- ⇒ Synthèse d'observateurs pour la surveillance
- ⇒ Décisions statistiques
- ⇒ Les bond graphs pour la surveillance
- ⇒ Conception d'un système de supervision.
- ⇒ Conclusions et Bibliographie

1. INTRODUCTION

3

INTRODUCTION : Quelques définitions

⌚ Processus industriel

- Assemblage fonctionnel de composants technologiques associés les uns aux autres de façon à former une entité unique accomplissant ou pouvant accomplir une activité clairement définie

⌚ Architecture du système

- Modèle orienté composant qui décrit directement le processus industriel comme un réseau des composants industriels.

⌚ P&ID (Piping and Instrumentation Diagrams)

- Plans des Instruments Détaillés ou diagrammes d'acheminement et d'instrumentation. utilisé pour une description visuelle de l'architecture du processus (utilise norme ISO)

⌚ Fonctionnement normal

- Comportement appartenant à un ensemble de comportements nominaux pour lesquels le système a été conçu

INTRODUCTION : Quelques définitions

⌚ Défaillance

- Modification suffisante et permanente des caractéristiques physiques d'un composant pour qu'une fonction requise ne puisse plus être assurée dans les conditions fixées.
 - Défaillances naissantes
 - Ayant un caractère passager
 - Constantes
 - Evoluant dans le temps
 - Catastrophique

⌚ Faute (ou défaut)

- Déviation d'une variable observée ou d'un paramètre calculé par rapport à sa valeur fixée dans les caractéristiques attendues du processus lui-même, des capteurs, des actionneurs ou de tout autre équipement.

INTRODUCTION : Quelques définitions

⌚ Défauts capteur.

- Se caractérisent par un écart entre la valeur réelle de la grandeur et sa mesure.

⌚ Défauts d'actionneurs.

- Ils se traduisent par une incohérence entre les commandes et la sortie (la pompe délivre un débit incohérent avec sa caractéristique hydraulique).

⌚ Défauts du processus physique.

- Défaillances dues à des modifications de la structure (fuite, rupture d'un organe,...) ou des paramètres du modèle (encrassement d'un tube d'un four, bouchage d'un tube, ..)

INTRODUCTION : Quelques définitions

⌚ Défauts du système (ou de l'algorithme) de commande.

- Ils se caractérisent par un écart entre la valeur réelle de la sortie du contrôleur (selon l'algorithme implémenté) et sa mesure

⌚ Une panne

- Interruption permanente de la capacité du système à réaliser sa fonction requise.

INTRODUCTION : Quelques définitions

⌚ Symptômes

- Traductions d'un changement d'un comportement d'une variable détectée par comparaison à des valeurs de référence.

⌚ Contraintes

- Limitations imposées par la nature (lois physiques) ou l'opérateur.

⌚ Résidu ou indicateur de faute

- exprime l'incohérence entre les informations disponibles et les informations théoriques fournies par un modèle

⌚ Erreur

- Ecart entre une valeur mesurée ou estimée d'une variable et la vraie valeur spécifiée par un capteur étalon ou jugée (par un modèle) théoriquement correcte.

⌚ Spécifications (cahier des charges)

- Objectifs que doit atteindre le système de surveillance

INTRODUCTION : Historique

⌚ Depuis 1840: Apparition de l'automatique

- Tâches : améliorer la qualité des produits finis, la sécurité et le rendement des unités en implantant des commandes performantes

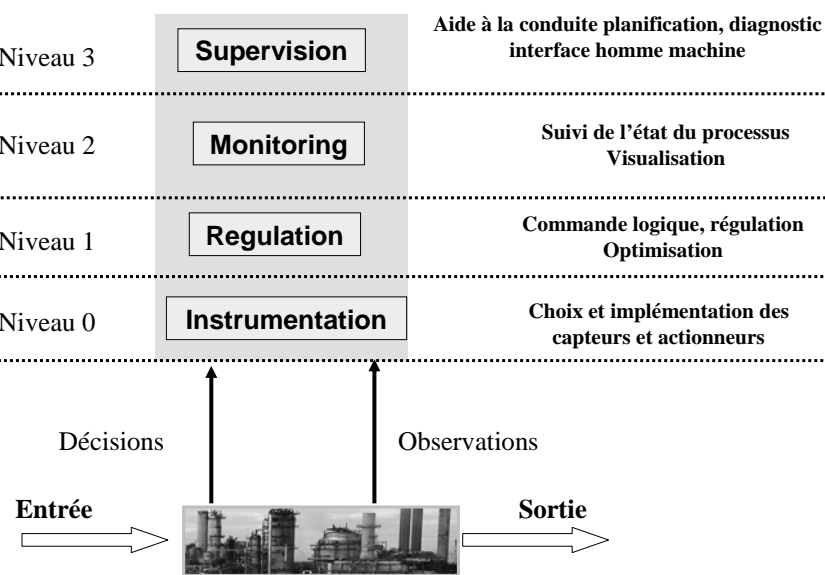
⌚ Depuis 1980, nouveau challenge : Supervision

- Rôles : Fournir à l'opérateur humain une assistance dans ses tâches urgentes de gestion des situations d'alarmes pour l'augmentation de la *fiabilité, de la disponibilité et de la sûreté de fonctionnement du processus.*

⌚Apparition de l'automatisation intégrée

- Commande des systèmes de production et sûreté de fonctionnement, maintenance, gestion technique, diagnostic de fonctionnement

INTRODUCTION : Automatisation intégrée



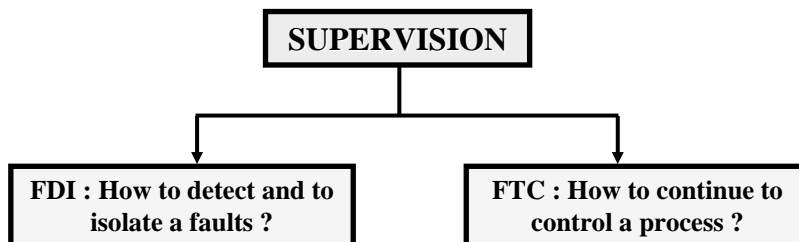
What is a supervision ?

⦿ Supervision :

- Set of tools and methods used to operate an industrial process in normal situation as well as in the presence of failures.

⦿ Activities concerned with the supervision :

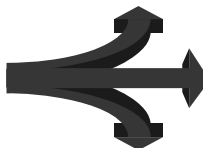
- Fault Detection and Isolation (FDI) in the diagnosis level, and the Fault Tolerant Control (FTC) through necessary reconfiguration, whenever possible, in the fault accommodation level.



Objective of the supervision

Something goes wrong...

- *Equipment failure*
- *Process drift*
- *Human error*



- ⦿ Alarms appear
- ⦿ Even minor problems can rapidly escalate
- ⦿ Long reaction time before decision

Everything is OK but changing...



- ⦿ Optimisation of the operations



Control and diagnosis Tasks

⌚ Many advances in Cont. Eng. BUT

- systems do not render the services they were designed for
- systems run out of control energy and material waste, loss of production, damage to the environment, loss of human lives

⌚ Malfunction causes

- design errors, implementation errors, human operator errors, wear, aging, environmental aggressions

FDI Purpose

- ⌚ detect malfunctions in real time, as soon and as surely as possible,
- ⌚ find their root cause, by isolating the system component(s) whose operation mode is not nominal
- ⌚ diagnose the fault by identifying some fault model

Fault Tolerance (FT) system under fault situations

⌚ Two approaches

- passive approach (robust to faults)
- active approach
 - (fault accommodation / system reconfiguration / objective reconfiguration)

⌚ Analysis of fault tolerance :

- Is a given system, in a given fault situation, still able to achieve its objective(s) ?

⌚ Design of fault tolerance :

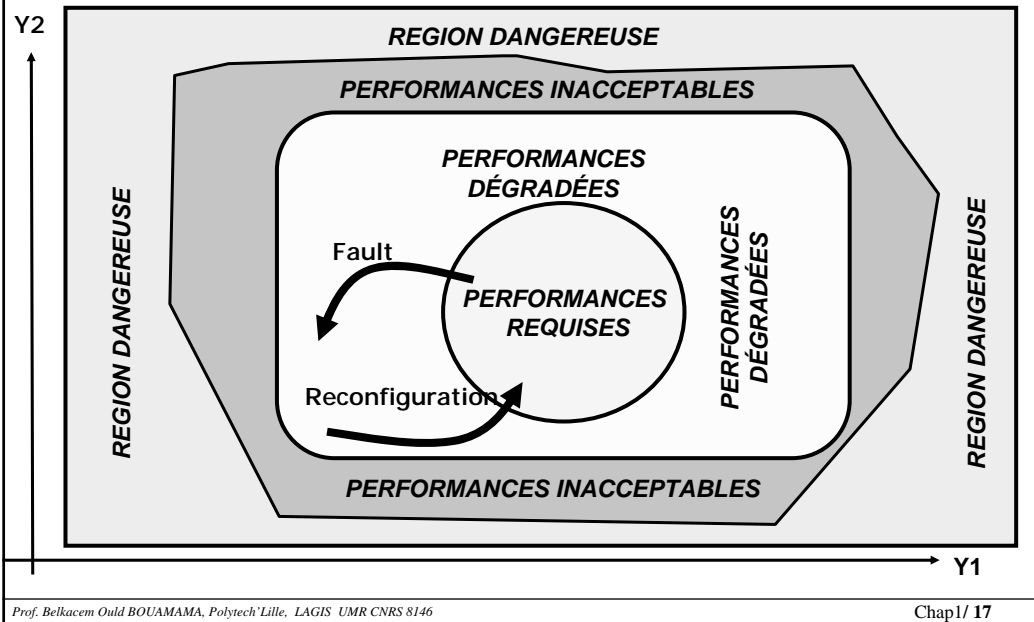
- provide the system with the hardware architecture and the software mechanisms which will allow, if possible, to achieve a given objective not only in normal operation, but also in given fault situations.

FTC levels

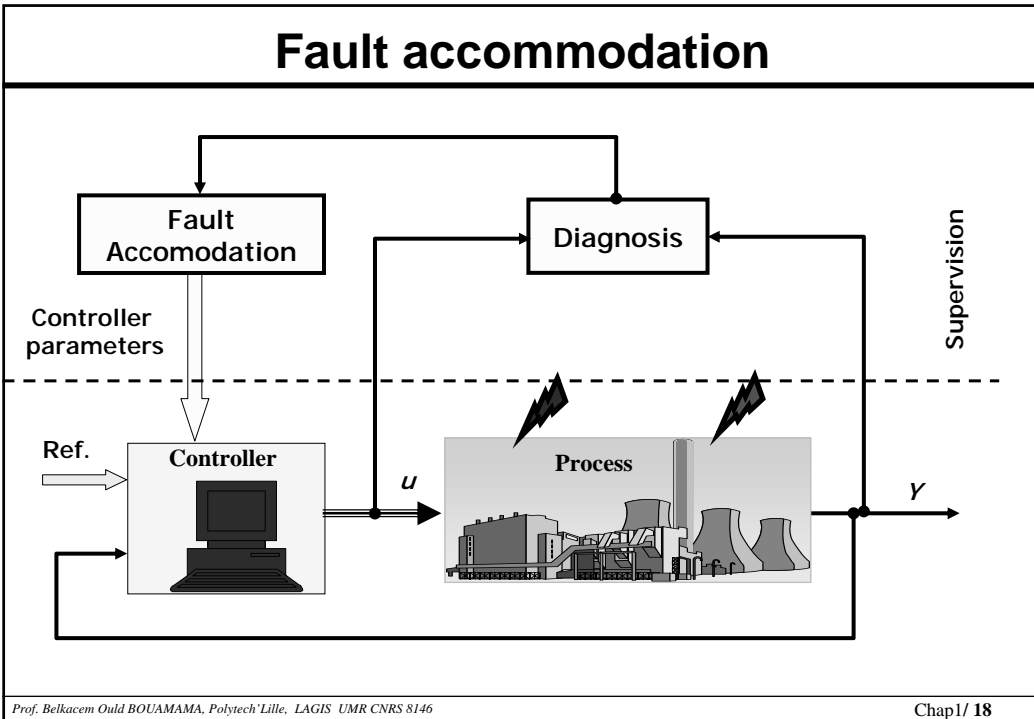
Main problematics

See : M. blanke and al. « Diagnosis and Fault Tolerant Control » Springer Verlag
2003

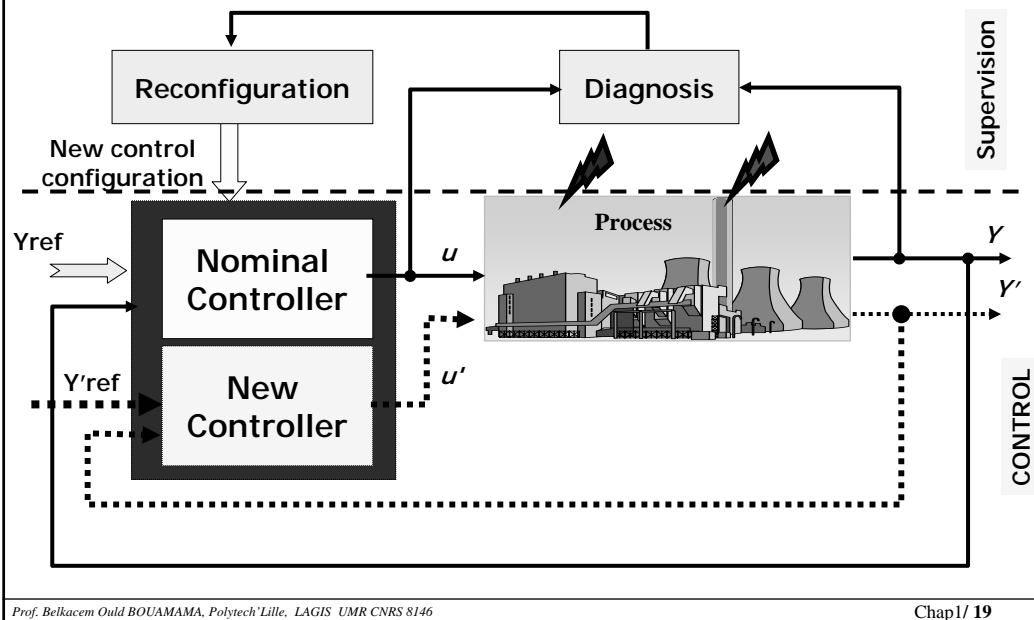
Relation entre FDI et FTC $\text{Perf} = F(Y_1, Y_2)$



Fault accommodation



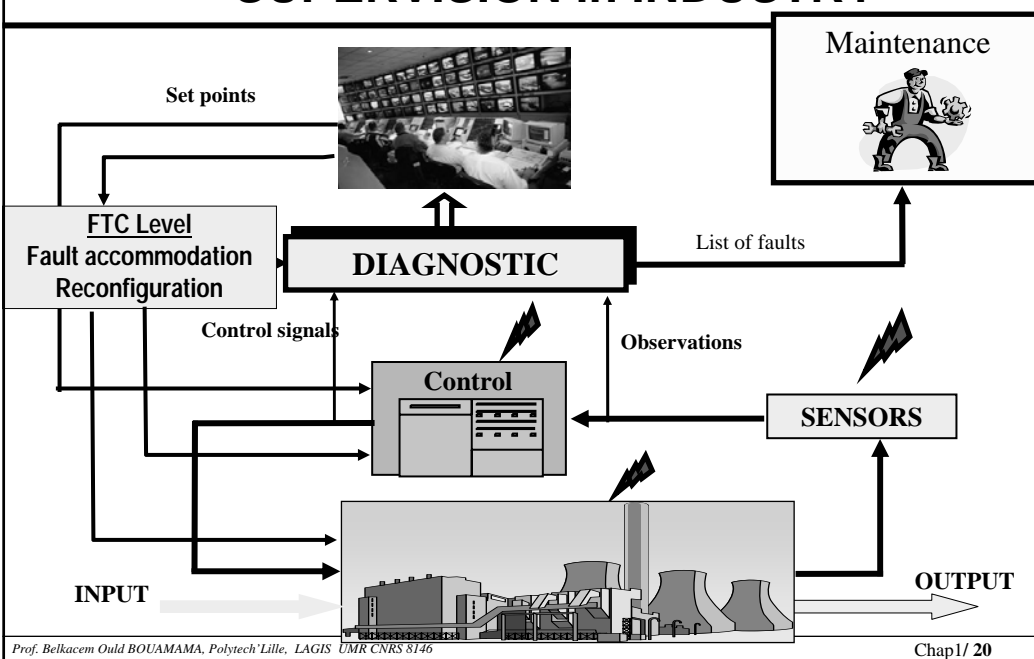
Fault Reconfiguration



Prof. Belkacem Ould BOUAMAMA, Polytech'Lille, LAGIS UMR CNRS 8146

Chap1/ 19

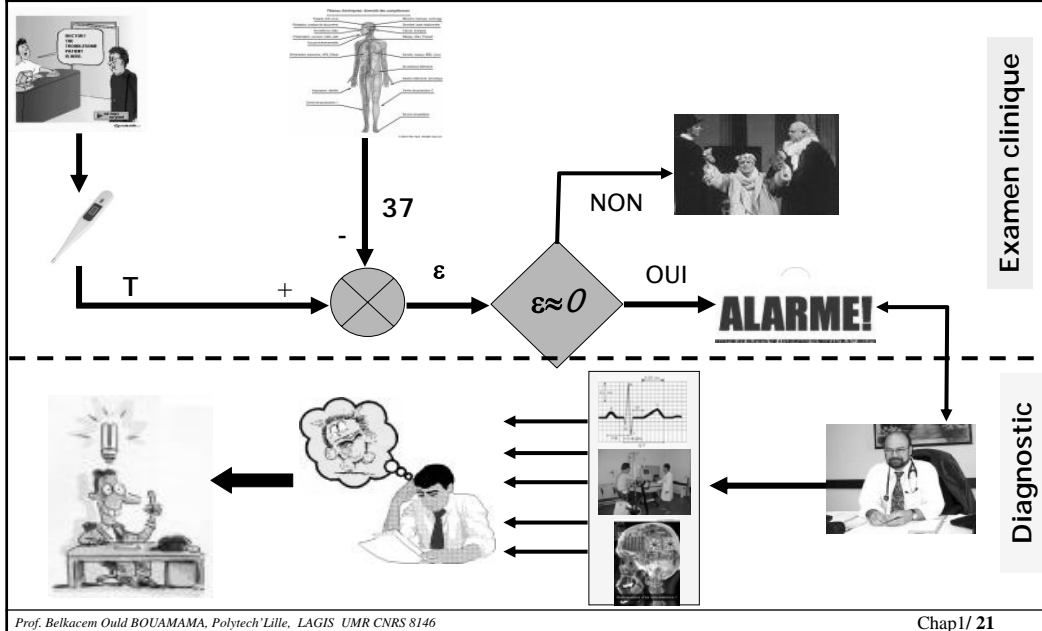
SUPERVISION in INDUSTRY



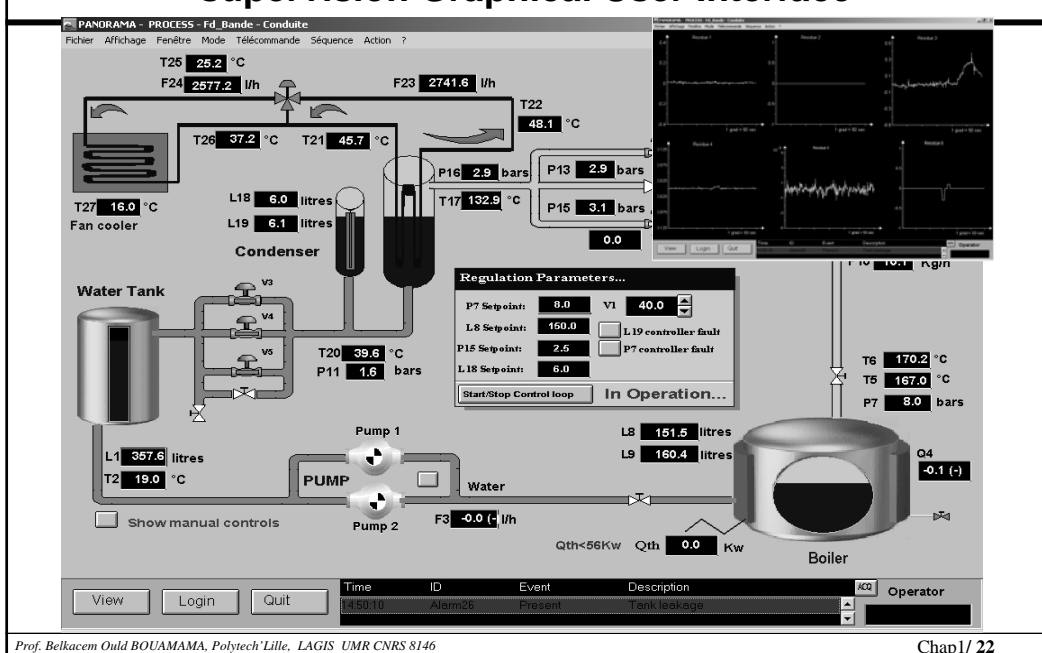
Prof. Belkacem Ould BOUAMAMA, Polytech'Lille, LAGIS UMR CNRS 8146

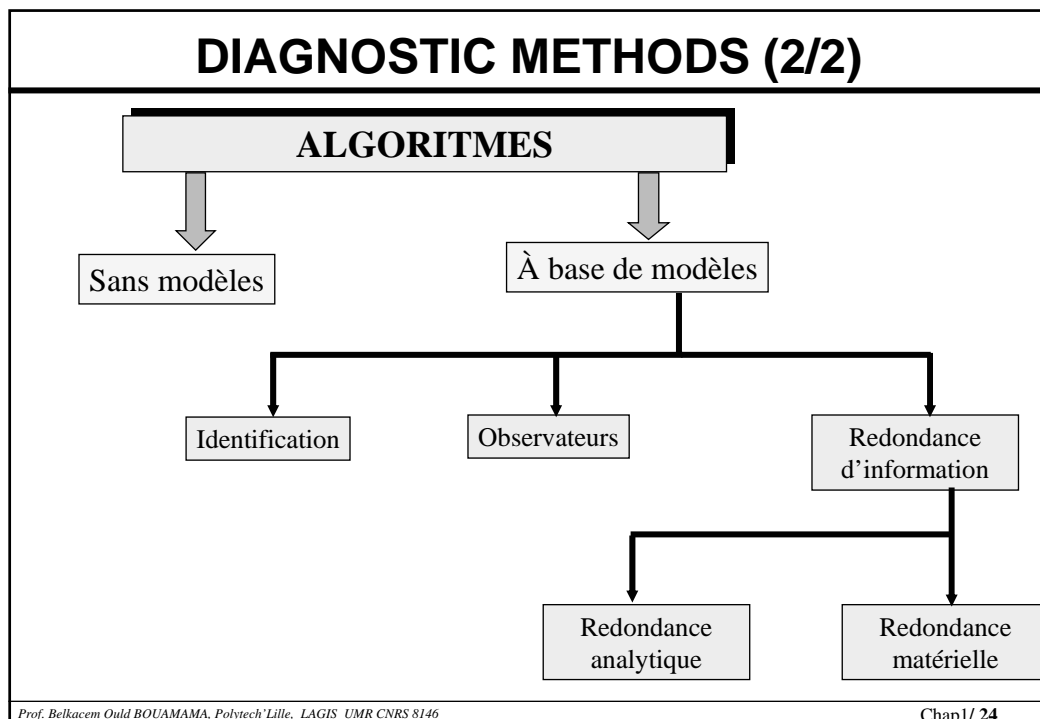
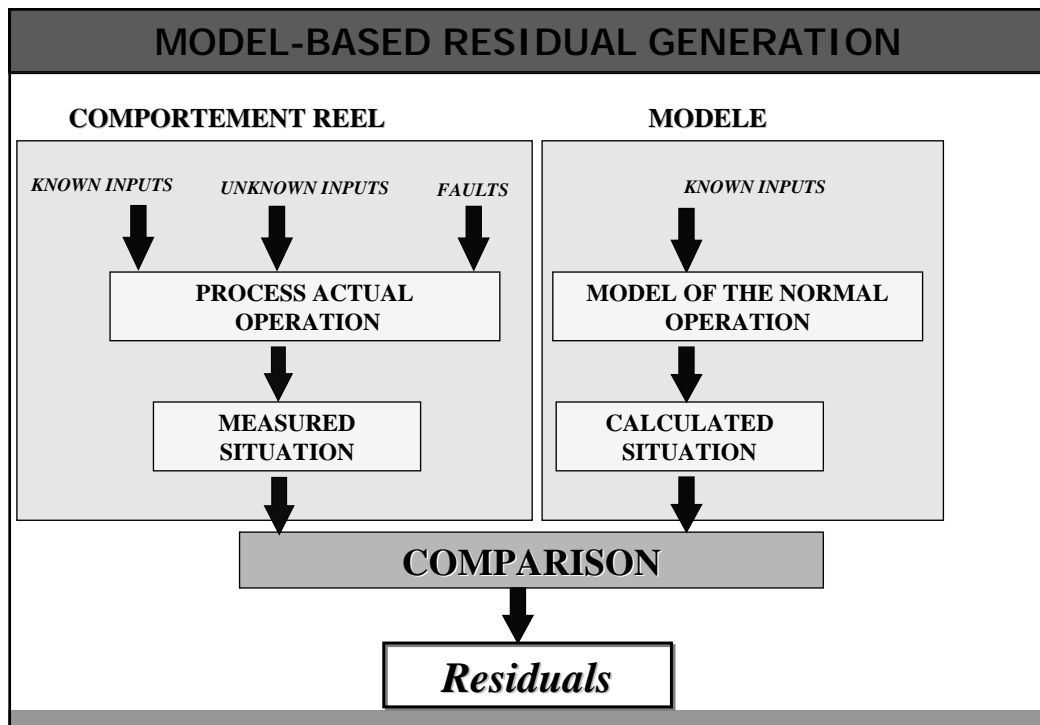
Chap1/ 20

Medical interpretation

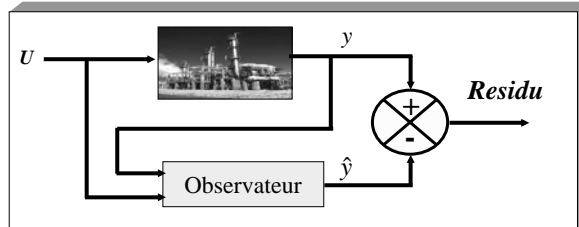
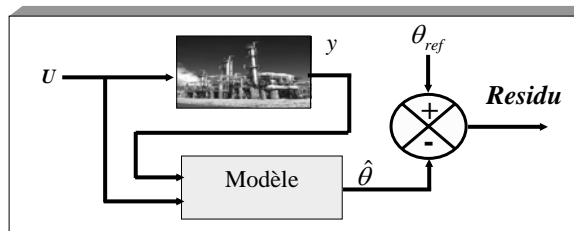


supervision Graphical User Interface



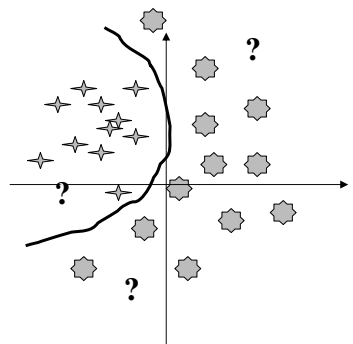


Diagnostic par identification et observateurs



No model based

- Only experimental data are exploited



- Methods : statistical learning, data analysis, pattern recognition, neuronal networks, etc.

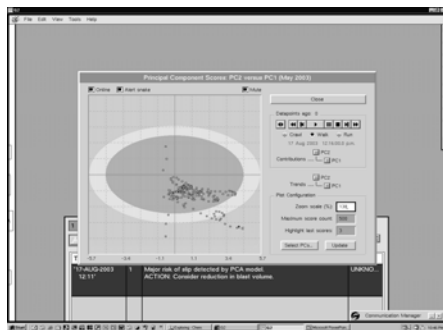
- Problems

- need historical data in normal and in abnormal situations,
- every fault mode represented ???
- generalisation capability ??

METHODES SANS MODELES

⌚Méthodes de reconnaissances de formes

- Détermination d'un certain nombre de classes (apprentissage)
- A chaque classe est associé un mode de fonctionnement (normal, défaillant)
- Chaque donnée prélevée est affectée à l'une de ces classes : détermination du mode de fonctionnement



Prof. Belkacem Ould BOUAMAMA, Polytech'Lille, LAGIS UMR CNRS 8146

Chap1/ 27

METHODES QUALITATIVES

⌚ Utilise la connaissance intuitive du monde :

- appliquer des modèles de pensée humaine pour des systèmes physiques
- Exemple : « Quand le débit augmente, la température doit diminuer»

⌚L'avantage principal des méthodes qualitatives:

- possibilité de n'utiliser que le modèle qualitatif: aucun besoin de grandeurs numériques des paramètres ni de connaissances profondes sur la structure du système.

⌚Inconvénients

- Les défaillances des capteurs ne sont pas détectées. Il n'est pas aisément possible de déterminer les valeurs limites inférieures et supérieures de déviation. D'autre part un problème combinatoire peut apparaître lors des procédures d'inférences pour les systèmes complexes.

Prof. Belkacem Ould BOUAMAMA, Polytech'Lille, LAGIS UMR CNRS 8146

Chap1/ 28

Residual generation methods

⌚ Three main approaches

- Parity space
- Observer-based
- Identification

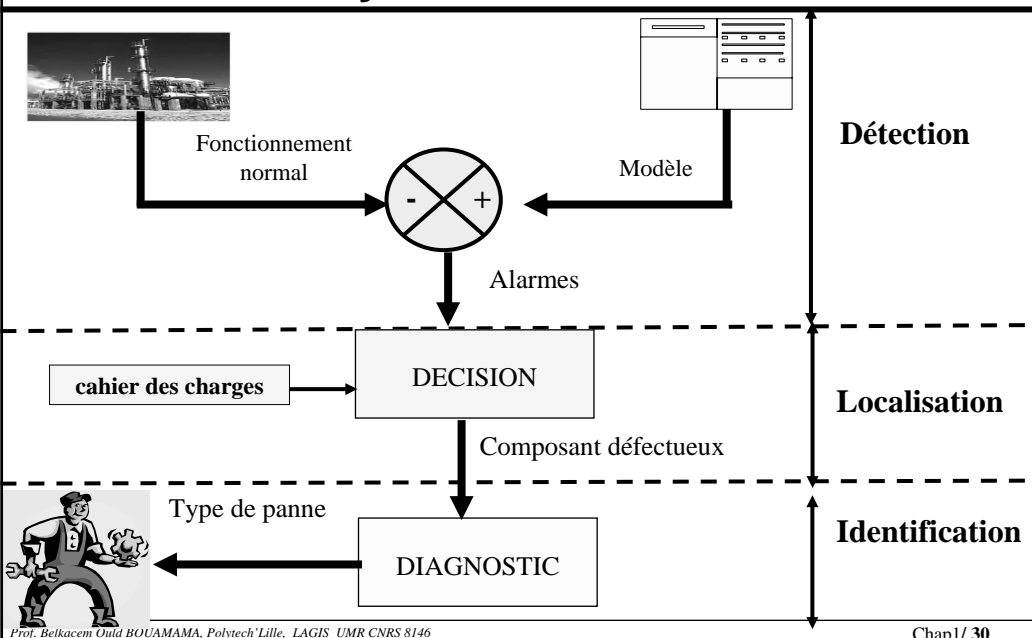
⌚ Used tools and theories

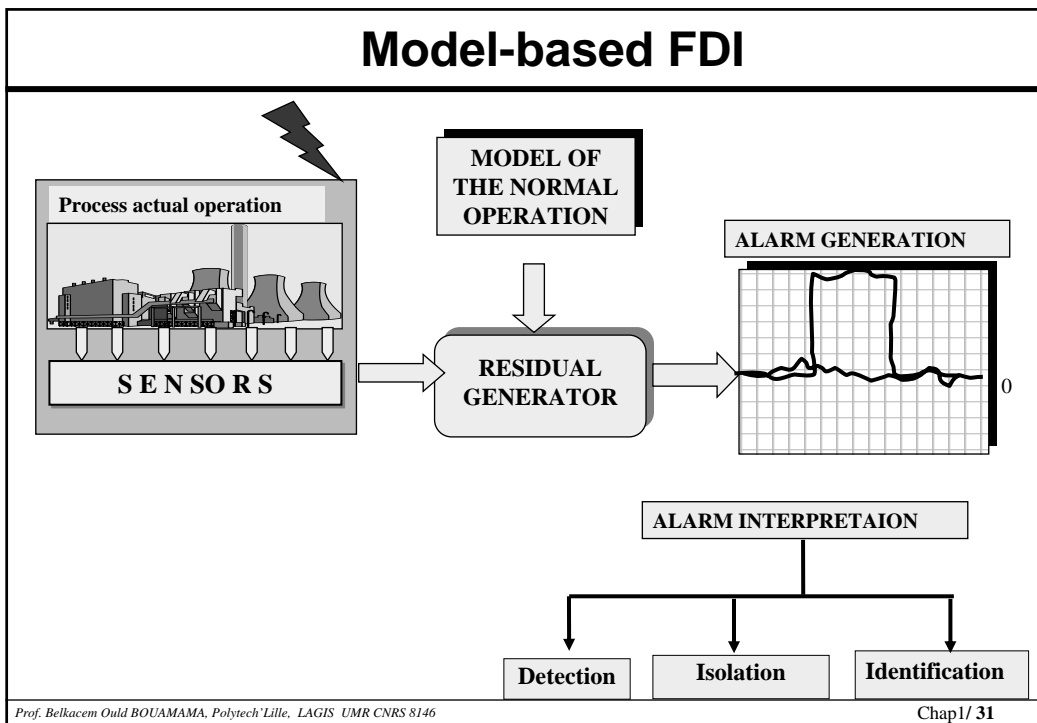
- Structural analysis
- Analytical redundancy
- Graphs, Bond graphs
- Observers
- Fuzzy logic
- IA
- ..

Prof. Belkacem Ould BOUAMAMA, Polytech'Lille, LAGIS UMR CNRS 8146

Chap1/ 29

Tâches d'un système de surveillance : FDI





Détection

1. Détection

- Opération logique : On déclare le système est défaillant ou non défaillant
- Les critères
 - Non détection ou détection trop tardive ➡ Conséquences catastrophique sur le process
 - Fausses alertes ➡ Arrêts inutiles de l'unité de production. Plus de confiance de l'opérateur
- Test d'hypothèses : La détection se ramène à un test d'hypothèses
 - H_0 : hypothèse de fonctionnement normal (Domaine de décision D0)
 - H_1 : hypothèse de fonctionnement défaillant (Domaine D1)
 - D_x : Domaine de non décision

Détection

➤ Problematic

- Given $R = [r_1, \dots, r_n]$ fault indicators
- Two distributions are known $p(Z|H_0)$ and $p(Z|H_1)$
- One of two hypotheses, H_0 or H_1 is true

➤ What to do ?

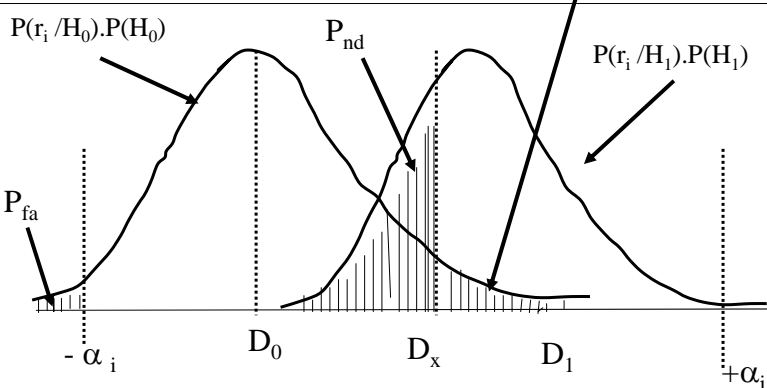
- Verify if each r_i ($i=1, \dots, n$) belongs to $p(Z|H_0)$ and $p(Z|H_1)$
- 4 possibilités

	H_0	H_1
Decide H_0	OK	Missed detection
Decide H_1	False alarm	OK

Détection

$$r_i \in [-\alpha_i, +\alpha_i] \Rightarrow r_i \in D_0^i$$

$$r_i \in [-\infty, +\alpha_i] \cup [+ \alpha_i, +\infty] \Rightarrow r_i \in D_1^i$$



False alarm

r_i est déclaré appartenir à H_1 (défaillant) alors qu'il appartient à H_0

α_i : choisi pour assurer un bon compromis :

- Probabilité H_1 min.
- Probabilité de P_{nd} min.

$\alpha_i <$ probabilité de fausse alarme limite fixée.

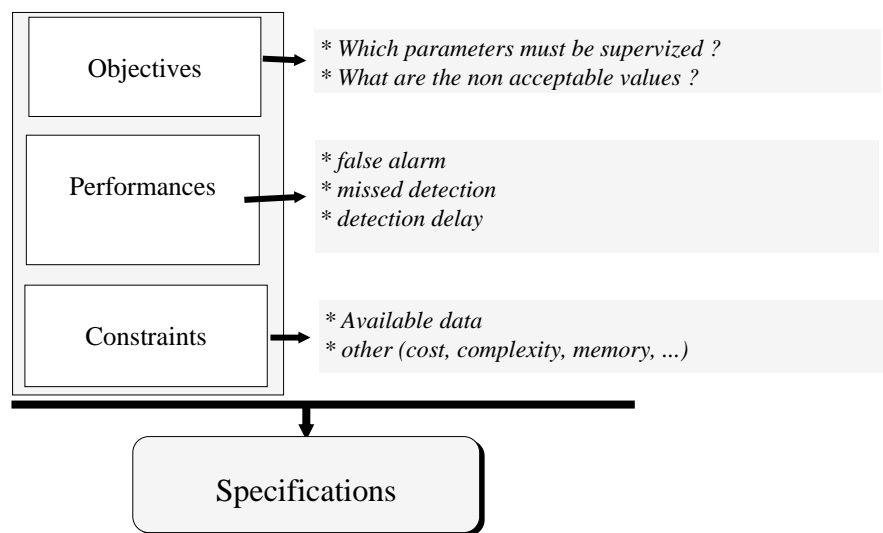
⌚ 2. Localisation

- Etre capable de localiser le ou les éléments défaillants
- Les critères
 - Non isolabilité ➡ Conséquences catastrophique sur le process
 - Fausses isolabilité ➡ Arrêts inutiles de l'unité (ou de l'équipement) défaillant. Plus de confiance de l'opérateur de maintenance

⌚ Identification (diagnostic)

- Lorsque la faute est localisée, il faut alors identifier les causes précises de cette anomalie. On fait alors appel à des signatures répertoriées par les experts et validées après expertise et réparation des dysfonctionnements.

Specifications



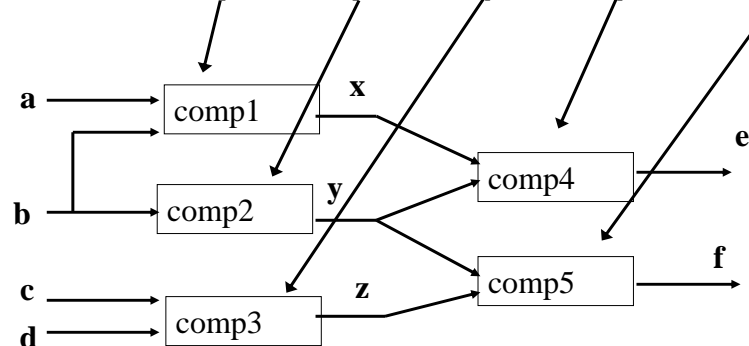
I. Systems and faults

37

System (1)

A system is a set of interconnected components

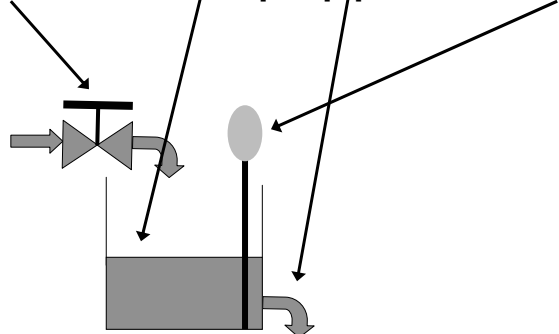
• $\text{COMPS} = \{\text{comp1}, \text{comp2}, \text{comp3}, \text{comp4}, \text{comp5}\}$



System (2)

A system is a set of interconnected components

- COMPS = {input valve, tank, output pipe, level sensor}



System (3)

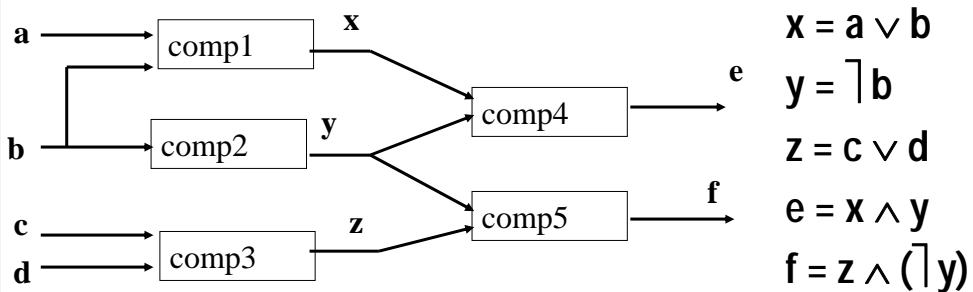
- When non faulty, each component achieves some function of interest

- because it exploits some physical principle(s)
- which are expressed by some relationship(s) between the time evolution of some system variables.

**Relationships are called constraints,
Time evolution of a variable is its trajectory.**

System (4)

SM is the set of all those constraints



System (5)

SM is the set of all those constraints

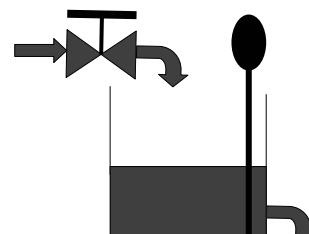
Input valve

$$u(t) = 0 \Rightarrow q_i(t) = 0$$

$$u(t) = 1 \Rightarrow q_i(t) = \alpha$$

Tank

$$\frac{dl(t)}{dt} = q_i(t) - q_o(t)$$



Output pipe

$$q_o(t) = k \sqrt{l(t)}$$

Level sensor

$$y(t) = l(t) + \varepsilon(t)$$

$$\varepsilon \approx N(0, \sigma)$$

Faults (1)

Normal operation is the simultaneous occurrence of two situations

- 1) components really behave as the designer expects
- 2) interactions between the system and its environment are compatible with the system's objectives.

Faults (2)

- 1) components behave as the designer expects
IF NOT : INTERNAL FAULT

⇒ constraints applied to the variables are the nominal ones ⇒ OK(comp) is true

Fault (3)

SD is now ...

$$\begin{aligned} \text{OK(comp1)} &\Rightarrow x = a \vee b \\ \text{OK(comp2)} &\Rightarrow y = \neg b \\ \text{OK(comp3)} &\Rightarrow z = c \vee d \\ \text{OK(comp4)} &\Rightarrow e = x \wedge y \\ \text{OK(comp5)} &\Rightarrow f = z \wedge (\neg y) \end{aligned}$$

$$\begin{aligned} \text{OK(input valve)} \Rightarrow & u(t) = 0 \Rightarrow q_i(t) = 0 \\ & u(t) = 1 \Rightarrow q_i(t) = \alpha \end{aligned}$$

$$\text{OK(tank)} \Rightarrow \frac{dl(t)}{dt} = q_i(t) - q_o(t)$$

$$\text{OK(output pipe)} \Rightarrow q_o(t) = k\sqrt{l(t)}$$

$$\begin{aligned} \text{OK(level sensor)} \Rightarrow & y(t) = l(t) + \varepsilon(t) \\ & \varepsilon \approx N(0, \sigma) \end{aligned}$$

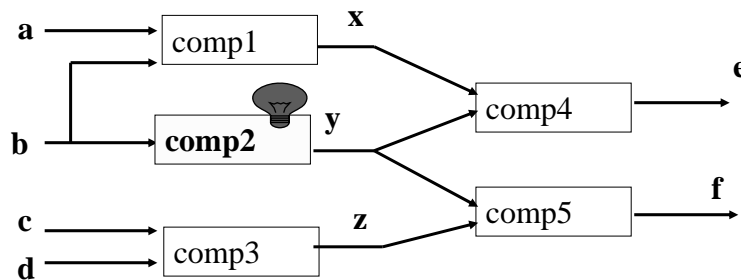
Faults (4)

2) interactions between the system and its environment are compatible with the system's objectives

IF NOT : EXTERNAL FAULT

Examples of internal faults (1)

$y \neq \lceil b \Rightarrow \text{OK(comp2)} \text{ is false}$



Examples of internal faults (2)

Actuator fault : input valve is blocked
 $u(t) = 0 \Rightarrow q_i(t) = \alpha$
 $u(t) = 1 \Rightarrow q_i(t) = \alpha$

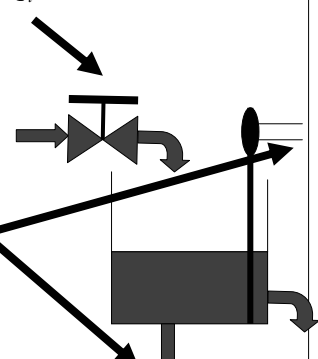
Process fault : the tank is leaking

$$\frac{dl(t)}{dt} = q_i(t) - q_o(t) - q_l(t)$$

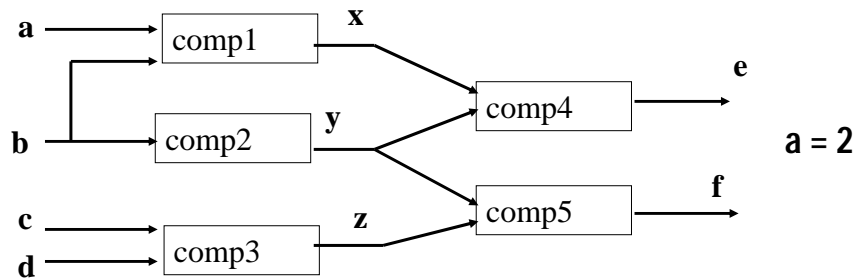
Sensor fault : noise has improper statistical characteristics

$$y(t) = l(t) + \varepsilon(t)$$

$$\varepsilon \approx N(b, \Sigma)$$



Examples of external faults (1)



Prof. Belkacem Ould BOUAMAMA, Polytech'Lille, LAGIS UMR CNRS 8146

Chap1/ 49

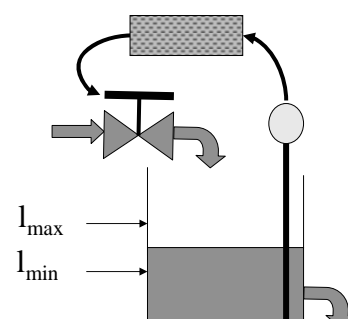
Examples of external faults (2)

Control algorithm objective :

$$l_{\min} \leq l(t) \leq l_{\max}$$

cannot be achieved for too large
output flows

$$\int_{t_1}^{t_2} q_o(t) dt > l(t_1) + \alpha(t_2 - t_1) - l_{\min}$$



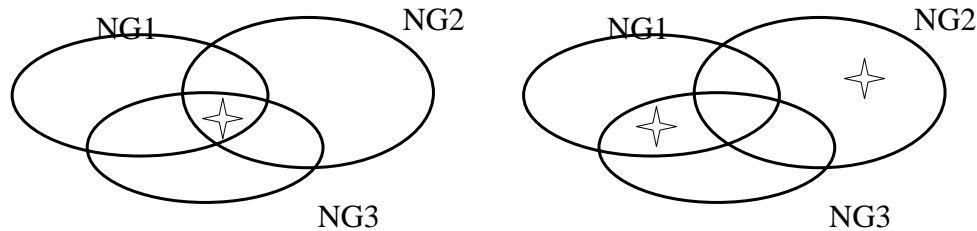
Prof. Belkacem Ould BOUAMAMA, Polytech'Lille, LAGIS UMR CNRS 8146

Chap1/ 50

Model based approaches (2)

Definition (conflict or NOGOOD)

NG is a conflict $\Leftrightarrow NG \subseteq COMPS$ and $SD \cup \{OK(X) | X \in NG\} \cup OBS$ is not consistent



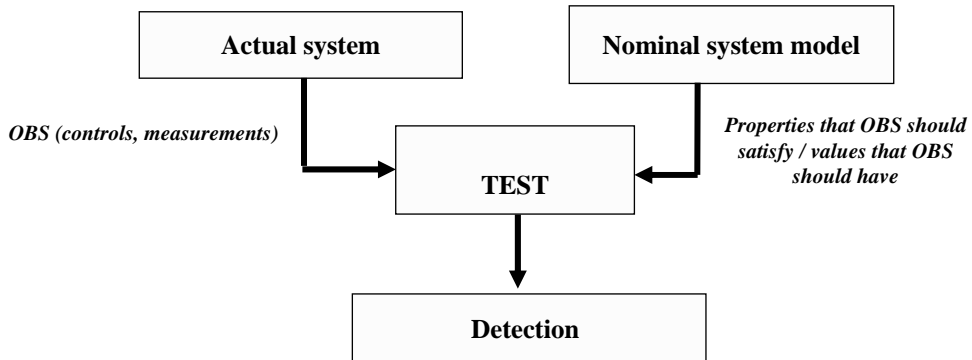
Problems

1) For some given $S \subseteq COMPS$, how to check the consistency of $SD \cup \{OK(X) | X \in S\} \cup OBS$

2) How to find the collection of the NOGOODS

How to check the consistency

Compare actual system and nominal system



Two means to check consistency

⌚Analytical Redundancy

- properties that OBS should satisfy if actual system healthy
- properties that are satisfied by the nominal system trajectories
- check whether they are true or not

⌚Observers

- values that OBS should have if actual system healthy
- simulate / reconstruct the nominal system trajectories
- check whether they coincide with actual system trajectories

CHAP2:

Structural Analysis

using bi-partite graphs

Chap2/ 1

Outline

- 1) Motivations
- 2) Structural description
- 3) Structural properties
- 4) Matching
- 5) Causal interpretation of matchings
- 6) Subsystems characterization
- 7) System decomposition
- 8) Conclusion

Chap2/ 2



1) Motivations

Chap2/ 3



- Complex systems : hundreds of variables and equations
- Many different configurations
- Many different kinds of models (qualitative, quantitative, static, dynamic, rules, look-up tables, ...)
- Description of physical plants as interconnected subsystems
- Analytic models not available

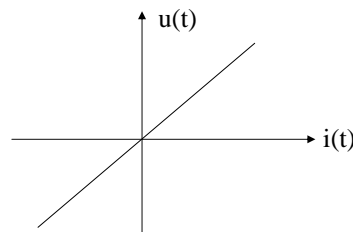
Chap2/ 4

The structural description of a system expresses only the links between the variables and the constraints

$$u - r i = 0$$

there is a constraint which links $u(t)$, $r(t)$ and $i(t)$

if r is a given parameter



Chap2/ 5

Advantages of this approach

- easy to implement and suited for complex systems
- allows to determine the FDI/FTC possibilities
- no a priori knowledge of the model equations is necessary

BUT

Chap2/ 6

Structural analysis produces only structural properties

- can the system be observed ?
 - can all the system variables be computed from the knowledge of the sensors outputs
- can the system be controlled ?
 - can all the system variables be given arbitrary values
- can the system be monitored ?
 - can the malfunction of the system components be detected and isolated
- can the system be reconfigured ?
 - can the system achieve some objective in spite of the malfunction of some components

Chap2/ 7

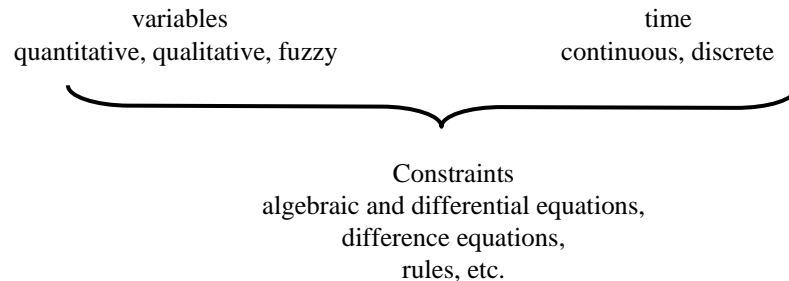
2) Structural description

Chap2/ 8



Behaviour model of a system : a pair (C, Z)

$Z = \{z_1, z_2, \dots, z_N\}$ is a set of variables and parameters,
 $C = \{c_1, c_2, \dots, c_M\}$ is a set of constraints

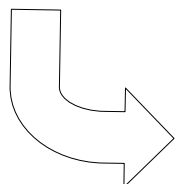


Chap2/ 9

Example : state and measurement equations

$$\dot{x}(t) = f(x(t), u(t), \theta)$$

$$y(t) = g(x(t), u(t), \theta)$$



$$Z = x \cup u \cup y$$

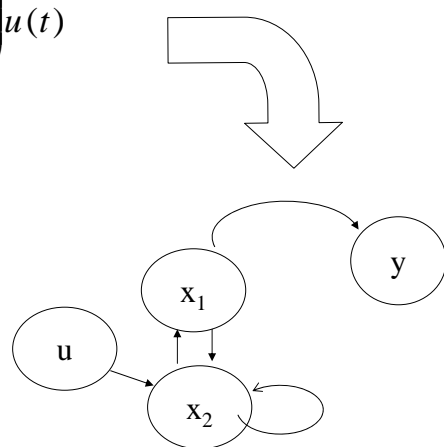
$$C = f \cup g$$

Chap2/ 10

Directed graph representation

$$\begin{pmatrix} \dot{x}_1(t) \\ \dot{x}_2(t) \end{pmatrix} = \begin{pmatrix} 0 & a \\ b & c \end{pmatrix} \begin{pmatrix} x_1(t) \\ x_2(t) \end{pmatrix} + \begin{pmatrix} 0 \\ d \end{pmatrix} u(t)$$

$$y(t) = (e \quad 0) \begin{pmatrix} x_1(t) \\ x_2(t) \end{pmatrix}$$



Chap2/ 11

Structured matrices : independent a, b, c, d, e

$$A = \begin{pmatrix} 0 & a \\ b & c \end{pmatrix}, B = \begin{pmatrix} 0 \\ d \end{pmatrix}$$

$$C = (e \quad 0)$$

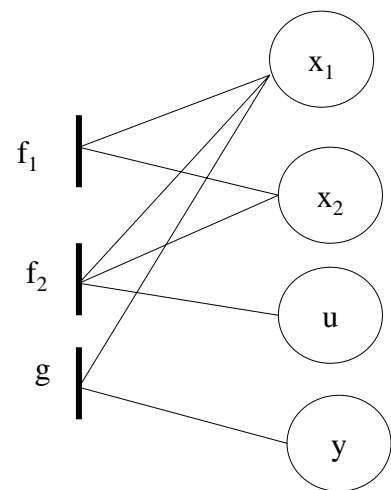
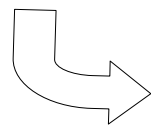
- If a, b, c, d, e not independent, the constraint which links them should be represented
- digraphs do not represent algebraic constraints

Chap2/ 12

Bi-partite graph representation

$$\begin{pmatrix} \dot{x}_1(t) \\ \dot{x}_2(t) \end{pmatrix} = \begin{pmatrix} 0 & a \\ b & c \end{pmatrix} \begin{pmatrix} x_1(t) \\ x_2(t) \end{pmatrix} + \begin{pmatrix} 0 \\ d \end{pmatrix} u(t)$$

$$y(t) = (e \quad 0) \begin{pmatrix} x_1(t) \\ x_2(t) \end{pmatrix}$$



Chap2/ 13

Standard form

$$d1 = dx_1/dt$$

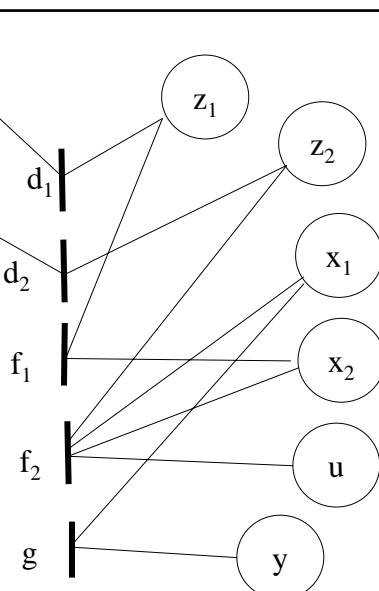
$$d2 = dx_2/dt$$

$$\begin{pmatrix} z_1(t) \\ z_2(t) \end{pmatrix} = \begin{pmatrix} 0 & a \\ b & c \end{pmatrix} \begin{pmatrix} x_1(t) \\ x_2(t) \end{pmatrix} + \begin{pmatrix} 0 \\ d \end{pmatrix} u(t)$$

$$z_1 = \frac{dx_1}{dt}$$

$$z_2 = \frac{dx_2}{dt}$$

$$y(t) = (e \quad 0) \begin{pmatrix} x_1(t) \\ x_2(t) \end{pmatrix}$$



Constraints are : d_1, d_2, f_1, f_2 and g

Chap2/ 14

Bi-partite Graph ?

- Bi-partite graph : links between variables and constraints
- $F = \{f_1, f_2, f_3, \dots, f_m\}$: constraints
- $Z = \{z_1, z_2, z_3, \dots, z_n\}$: variables.
- U , subset of control variables
- Y , subset of measured variables
- X , subset of unknown variables
- Structure = binary relation
- $S : F \times Z \rightarrow \{0, 1\}$
- $(f_i, z_j) \rightarrow S(f_i, z_j)$

Chap2/ 15

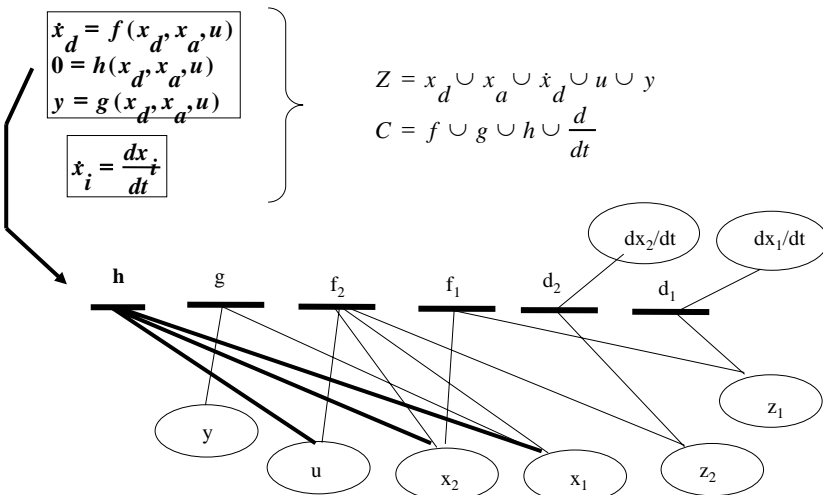
Incidence matrix

Elle représente les liens entre les var. et les paramètres du système d'une part , et les contraintes introduites
Par les composants d'autre part

$$\begin{aligned} \begin{pmatrix} z_1(t) \\ z_2(t) \end{pmatrix} &= \begin{pmatrix} 0 & a \\ b & c \end{pmatrix} \begin{pmatrix} x_1(t) \\ x_2(t) \end{pmatrix} + \begin{pmatrix} 0 \\ d \end{pmatrix} u(t) \\ z_1 &= \frac{dx_1}{dt} \\ z_2 &= \frac{dx_2}{dt} \\ y(t) &= (e \quad 0) \begin{pmatrix} x_1(t) \\ x_2(t) \end{pmatrix} \end{aligned} \quad \left. \begin{array}{cccccc} y & u & x_1 & x_2 & z_1 & z_2 \\ 0 & 0 & 0 & 1 & 1 & 0 \\ 0 & 1 & 1 & 1 & 0 & 1 \\ 0 & 0 & 1 & 0 & 1 & 0 \\ 0 & 0 & 0 & 1 & 0 & 1 \\ 1 & 0 & 1 & 0 & 0 & 0 \end{array} \right\}$$

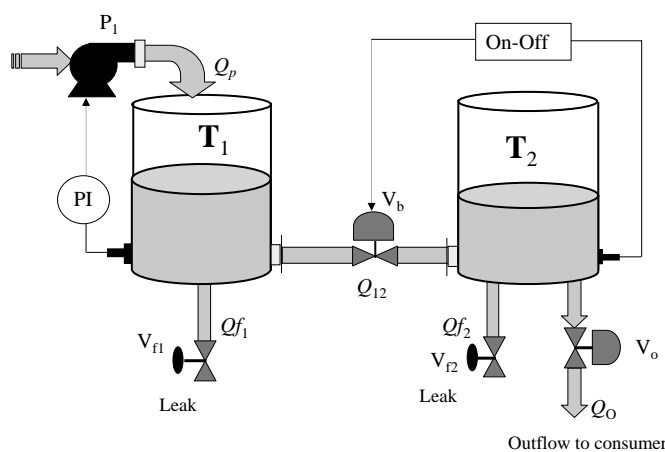
Chap2/ 16

Differential and algebraic equations

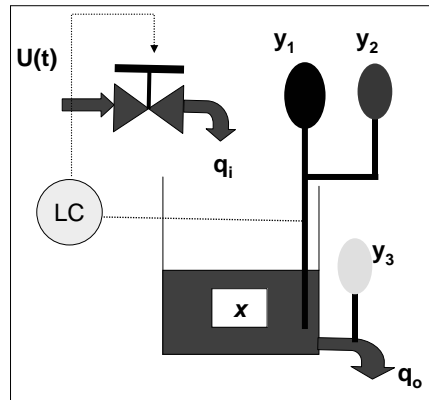


Chap2/ 17

Example : Tank System



Chap2/ 18



Chap2/ 19

Tank

$$c_1: dx(t)/dt - q_i(t) - q_o(t) = 0$$

Input valve

$$c_2: q_i(t) - au(t) = 0$$

Output pipe

$$c_3: q_o(t) - k_v(x(t)) = 0$$

Level sensor 1

$$c_4: y_1(t) - x(t) = 0$$

Level sensor 2

$$c_5: y_2(t) - x(t) = 0$$

Output flow sensor

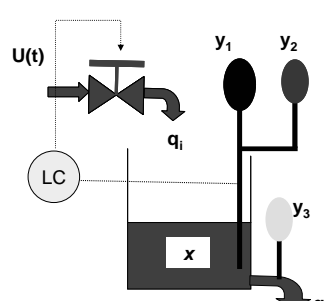
$$c_6: y_3(t) - q_o(t) = 0$$

Control algorithm

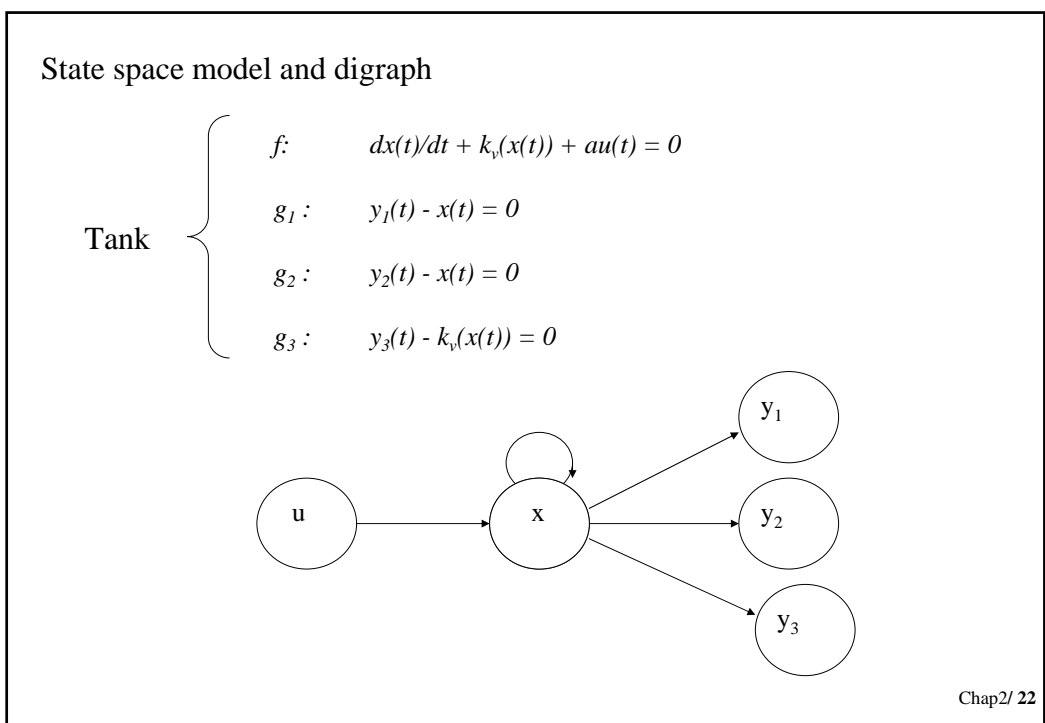
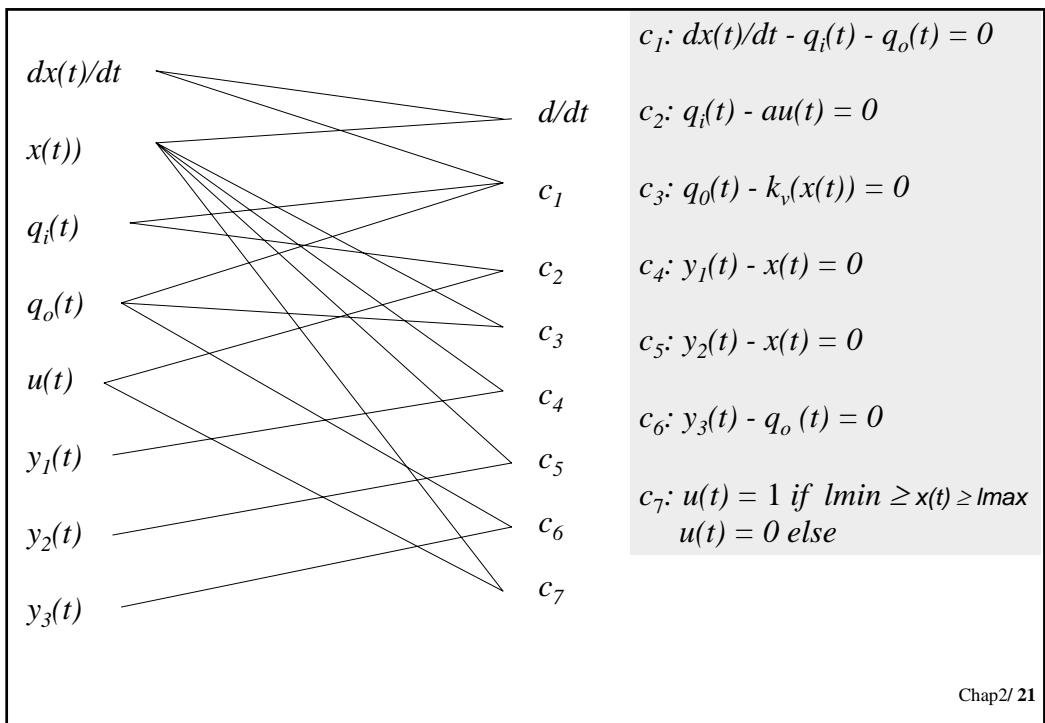
$$c_7: \begin{aligned} u(t) &= 1 \text{ if } l_{min} \geq y_1(t) \geq l_{max} \\ u(t) &= 0 \text{ else} \end{aligned}$$

Differential constraint

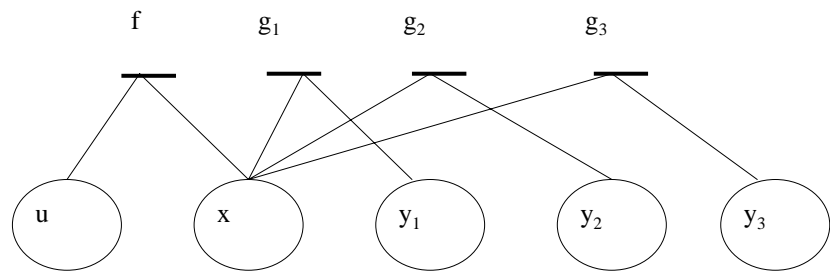
$$c_8: z = dx/dt$$



Chap2/ 20

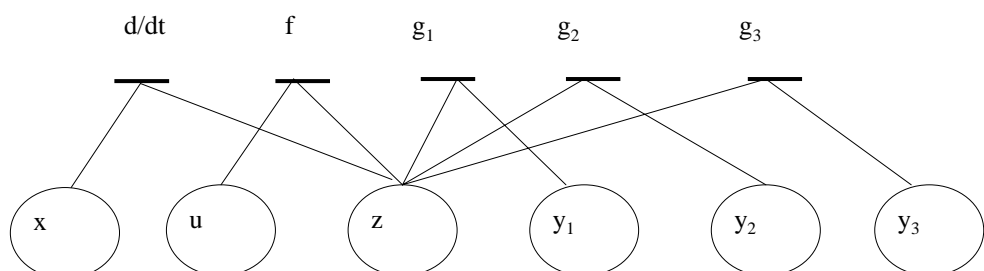


Bipartite graph of the state space model



Chap2/ 23

Standard form of the state space model



Chap2/ 24

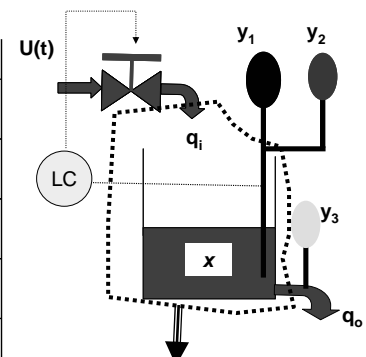
Caractérisation

- La condition d'existence d'une RRA est liée à la caractérisation des sous systèmes
- Un sous système :
 - Il est associé à l'ensemble des contraintes F_i qu'il fait intervenir :
 - Un sous système : c'est un couple $(F_i, Q(F_i))$ dans lequel $Q(F_i)$ est l'ensemble des variables contraintes par F_i
 - $Q(F_i)$ est décomposé en deux parties
 - $Q_c(F_i)$: correspond aux variables connues
 - $Q_x(F_i)$: correspond aux variables inconnues

Chap2/ 25

Exemple : Un sous système : c'est un couple $(F_i, Q(F_i))$ dans lequel $Q(F_i)$ est l'ensemble des variables contraintes par F_i .

		$Q_c(F_i)$				$Q_x(F_i)$			
		$Q(F_i)$							
		Unknown variables				Known variables			
$F_i(i=1-8)$		x	q_i	q_o	$Z=x'$	u	y_1	y_2	y_3
C1	Tank	1	1	1	1	0	0	0	0
C2	Valve	0	1	0	0	1	0	0	0
C3	Pipe	1	0	1	0	0	0	0	0
C4	LII1	1	0	0	0	0	1	0	0
C5	LII2	1	0	0	0	0	0	1	1
C6	FI	0	0	1	0	0	0	0	1
C7	LC	0	0	0	0	1	1	0	0
C8	Dif. Cons.	1	0	0	1	0	0	0	0



$Tank = COMP[C_1, \{x, q_i, q_o, z\}]$

Chap2/ 26

TYPES DE SOUS SYSTEMES

- Les contraintes décrivant le comportement du sous système s'écrit : $F_i(Q_c(F_i), Q_x(F_i))=0$
- **TYPES DE SOUS SYSTEMES**
 - *Le nombre de solutions pour $Q_x(F_i)$ qui peuvent être obtenues à partir de $Q_c(F_i)$ caractérise chaque sous système on distingue :*
 - *Un système sous déterminé*
 - *Juste déterminé*
 - *Sur déterminé*

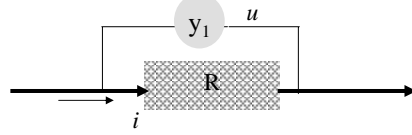
Chap2/ 27

Système sous déterminé ?

- **(F , $Q(F)$) est sous-déterminé si,**
 - pour toute valeur de $Q_c(F)$, l'ensemble des valeurs de $Q_x(F)$ vérifiant les contraintes F est de cardinal supérieur à un.
 - Il n'y a pas assez d'équations pour déterminer x
 - La non unicité des solutions : les variables $Q_x(F)$ ne peuvent pas être calculées à partir des valeurs connues des variables $Q_c(F)$ et des contraintes F .
 - Conséquence d'une modélisation insuffisante du système, ou de la non observabilité de certaines variables.
- **Il est déterminé si ce cardinal est égal à un**
 - **Juste déterminé**
 - **Sur déterminé**

Chap2/ 28

Example



Z=XUK
 $X=\{u, i\}$, $K=\{y_1\}$
F1: $U-Ri=0$
F2: $y_1-u=0$

Sous-système : $F_1(i,u)=0$

$$Q(F_1) = Q_X(F_1) \cup Q_C(F_1)$$

$$\text{card}(Q(F_1)) = 2$$

$$\text{card}(Q_X(F_1)) = 2$$

$$\text{card}(Q_C(F_1)) = 0$$

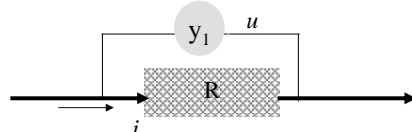
	$Q_X(F_1)$	$Q_C(F_1)$	
	u	i	y_1
$F_1(i,u)=0$	1	1	0
$F_2(y_1,U)=0$	1	0	1

$(F_1, Q(F_1))$ est sous-déterminé si, pour toute valeur de $Q_C(F_1)$, l'ensemble des valeurs de $Q_X(F_1)$ vérifiant les contraintes F_1 est de cardinal supérieur à un.



$(F_1, Q(F_1))$ est sous-déterminé

Example



Z=XUK
 $X=\{u, i\}$, $K=\{y_1, y_2\}$
F1: $U-Ri=0$
F2: $y_1-u=0$

Sous-système : $F_1(i,u)=0$

$$Q(F_1) = Q_X(F_1) \cup Q_C(F_1)$$

$$\text{card}(Q(F_1)) = 3$$

$$\text{card}(Q_X(F_1)) = 2$$

$$\text{card}(Q_C(F_1)) = 1$$

	$Q_X(F_1)$	$Q_C(F_1)$		
	u	i	y_1	y_2
$F_1(i,u)=0$	1	1	0	0
$F_2(y_1,U)=0$	1	0	1	0
$F_3(y_2,i)=0$	0	1	0	1

$(F_1, Q(F_1))$ est sous-déterminé si, pour toute valeur de $Q_C(F_1)$, l'ensemble des valeurs de $Q_X(F_1)$ vérifiant les contraintes F_1 est de cardinal supérieur à un.



$(F_1, Q(F_1))$ est sous-déterminé

Juste-déterminé

- Juste-déterminé
 - Soit $(F, Q(F))$ un sous-système juste-déterminé. Les variables $Q_x(F)$ peuvent être calculées de façon unique à partir des variables connues $Q_k(F)$ et des contraintes F .
- Sur déterminé
 - Les variables $Q_x(F)$ peuvent être calculées de différentes façons à partir des variables connues $Q_c(F)$ et des contraintes F
 - chaque sous-ensemble $F \subset F$ fournit un moyen différent de calculer $Q_x(F)$. Puisque les résultats de ces différents calculs doivent être identiques (il s'agit des mêmes variables physiques), l'écriture des relations d'égalité constitue l'ensemble des relations de redondance analytique cherché.

Chap2/ 31

Interprétaion

- **$(F, Q(F))$ sous-déterminé : les variables $Q_x(F)$ ne peuvent pas être calculées (modélisation insuffisante, non observabilité),**
- **$(F, Q(F))$ juste-déterminé : les variables $Q_x(F)$ peuvent être calculées de façon unique ,**
- **$(F, Q(F))$ sur-déterminé : les variables $Q_x(F)$ peuvent être calculées de différentes façons. Puisque les résultats doivent être identiques (il s'agit des mêmes variables physiques), il y a redondance, ce qui permet de surveiller le système.**

Chap2/ 32

Subsystems

2^C the subsets of C

$$Q : 2^C \rightarrow 2^Z$$

2^Z the subsets of Z

$$f \rightarrow Q(f) = \{z \in Z; \exists c \in f \text{ s.t. } (c, z) \in E\}$$

Subsystem : $(f, Q(f))$

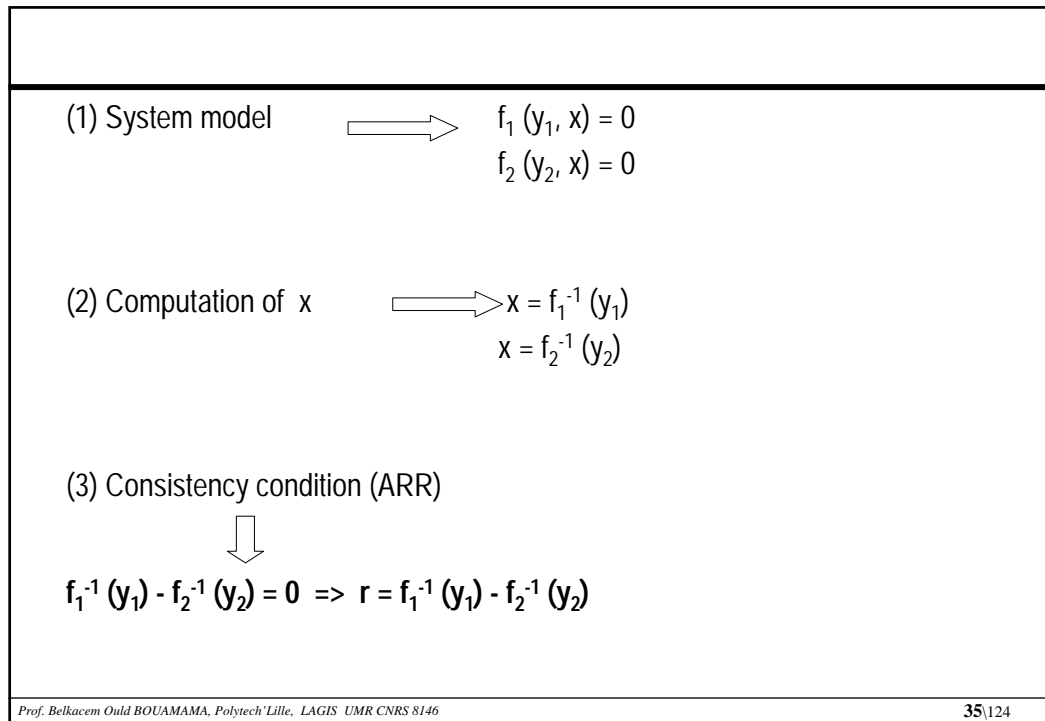
y	u	x_1	x_2	z_1	z_2	u	x_1	x_2	z_1	z_2
0	0	0	1	1	0					
0	1	1	1	0	1	1	1	1	0	1
0	0	1	0	1	0	0	1	0	1	0
0	0	0	1	0	1	0	0	1	0	1
1	0	1	0	0	0					

Chap2/ 33

Redundancy : introductory example

	y_1	y_2	x	$X - \{x\}$	
f_1	1	0	1	0	$f_1(y_1, x) = 0$
f_2	0	1	1	0	$f_2(y_2, x) = 0$

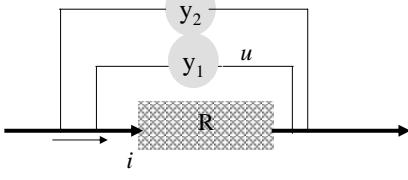
- ⇒ Subsystem $\{f_1, f_2\}$ overdetermines the unknown variable x
- ⇒ x can be computed via two different ways (if f_1 and f_2 are invertible w.r.t. x)
- ⇒ The two results have to be identical



Prof. Belkacem Ould BOUAMAMA, Polytech'Lille, LAGIS UMR CNRS 8146

35\124

Example : Incidence matrix



$x = \{u, i\}$
 $K = \{y_1\}$
 $F_1: U - R_i = 0$

$x = \{u, i\}$
 $K = \{y_1, y_2\}$
 $F_1: U - R_i = 0$
 $F_2: y_1 - U = 0$
 $F_3: y_2 - U = 0$

F/Z	u	i	y_1	y_2	
$F_1(i, u) = 0$	(1)	(1)	(0)	(0)	
$F_2(y_1, U) = 0$	(1)	(0)	(1)	(0)	
$F_3(U, y_2) = 0$	(1)	(0)	(0)	(1)	

Prof. Belkacem Ould BOUAMAMA, Polytech'Lille, LAGIS UMR CNRS 8146

36\124

Canonical decomposition

- Any system can be uniquely decomposed into
 - Over-constrained
 - Just-constrained
 - Under-constrained
- Only the over-constrained subsystem is monitorable

Chap2/ 37

3) Structural properties

Chap2/ 38

Structural analysis produces structural properties

- Systems which have the same structural model are structurally equivalent
- Structural properties are properties of the system structure, they are shared by all structurally equivalent systems
- Example : systems which only differ by the value of their parameters \Rightarrow structural properties are independent of the values of the system parameters (true almost everywhere in the system parametric space).

Chap2/ 39

Structural properties are properties of the structural graph

{
Observable subsystem
Controllable subsystem
Monitorable subsystem
Reconfigurable subsystem
etc.

Actual system properties may differ from structural ones

Structural properties are necessary for actual properties to hold true

Chap2/ 40

Example : compute x

$$\begin{pmatrix} x_1 \\ x_2 \end{pmatrix} = \begin{pmatrix} a(\theta) & b(\theta) \\ c(\theta) & d(\theta) \end{pmatrix} \begin{pmatrix} y_1 \\ y_2 \end{pmatrix}$$

Matrix is invertible
 Structural condition : no null row
 (column)
 Necessary, but not sufficient

$$a(\theta)d(\theta) - b(\theta)c(\theta) = 0$$

Chap2/ 41

Example continued

$$a(\theta)d(\theta) - b(\theta)c(\theta) = 0$$

1) always \Rightarrow the structural property is never translated into an actual property. This is excluded in structural analysis.

- An algebraic relation is always supposed to define a proper manifold : it cannot be satisfied by any θ .
- The parameters are always supposed to be independent, which means that they live in the whole space. If not, this should have been included in the system model.

2) only for the system under investigation \Rightarrow the structural property is not translated into an actual property for that particular system.

- Under mild assumptions there always exists a parameter vector in the neighbourhood of θ for which the actual property coincides with the structural one.

Chap2/ 42

Conclusion

- Actual properties are only potential when structural properties are satisfied.
- They can certainly not be true when structural properties are not satisfied.
- Structural properties are properties which hold for actual systems almost everywhere in the space of their independent parameters.

Chap2/ 43

4) Matching

Chap2/ 44

COUPLAGE

- **COUPLAGE** : on associe une variable inconnue (et une seule) à chaque contrainte,
- **COUPLAGE MAXIMAL** : le nombre de variables couplées est maximal,
- **COUPLAGE COMPLET** : toutes les variables sont couplées,
- **COUPLAGE CAUSAL** : chaque variable peut effectivement être calculée par l'équation dans laquelle elle est couplée.

Chap2/ 45

Définitions

- Soit a un arc $(f, x) \in A_X$.
 - f est appelé projection de a sur F_X (resp. x est appelé projection de a sur X).
 - On note : $f = P_F(a)$ et $x = P_X(a)$ les deux projections de l'arc a .

Chap2/ 46

Définitions

- Considérons le graphe $G(F_x, X, A_x)$, restriction du graphe structurel du système à l'ensemble des sommets appartenant à F_x (pour les contraintes) et à X (pour les variables), et où A_x représente l'ensemble des arcs qui relient F_x à X .

Chap2/ 47

Définitions

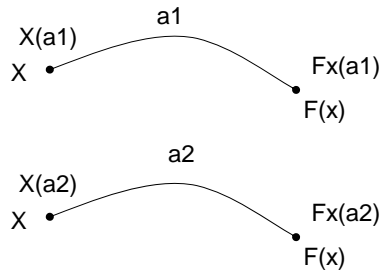
- Soit $a \in A_X$, on note $X(a)$ l'extrémité de a dans X et $F_X(a)$ l'extrémité de a dans F_X . L'arc a peut s'écrire :
- $a = (F_x(a), X(a))$



Chap2/ 48

Définition : un couplage

- $G(Fx, X, A)$ est un couplage sur $G(Fx, X, Ax)$ ssi
 - 1) $A \subset Ax$
 - 2) $\forall a_1, a_2 \in A \quad a_1 \neq a_2$
 - $Fx(a_1) \neq Fx(a_2)$
 - $X(a_1) \neq X(a_2)$



Chap2/ 49

Interpretation

A matching is a set of pairs (f_i, x_i) s.t. the variable x_i can be computed by solving the constraint f_i , under the hypothesis that all other variables are known

Un couplage est un ensemble de pair (f_i, x_i) tel que la variable x_i peut être calculée en résolvant la contrainte f_i sous l'hypothèse que toutes les variables sont connues

Chap2/ 50

Couplage maximal

- Un couplage maximal sur $G(F_x, X, A_x)$ est un couplage $G(F_x, X, A)$ tel que :
- $\forall A' \subset A, A' \neq A \quad G(F_x, X, A')$ n'est pas couplage.

$h \quad h' \quad q_i \quad q_o \quad u \quad y$ Car (u, C_5) peut être rajouté

Chap2/ 51

- Ce couplage est maximal

Je ne peux plus rajouter de couplage

→ Je ne peux pas rajouter
ça car q_i et u sont déjà
utilisé

$h \quad h' \quad q_i \quad q_o \quad u \quad y$

Chap2/ 52

Couplage complet

- Un couplage sur $G(F_X, X, AX)$ est complet par rapport à F_X (respectivement par rapport à X) ssi :
 - $\forall f_i \in F_X \exists$ un arc $a \in A$ tel que $F_X(a) = f_i$
 - (respectivement $\forall x \in X \exists a \in A$ tel que $X(a) = x$)

$h \quad h' \quad q_i \quad q_o \quad u \quad y$

Chap2/ 53

- This matching is maximal and complete
 - both with respect to C and to Z

Maximal car on ne peut plus rajouter de couplages

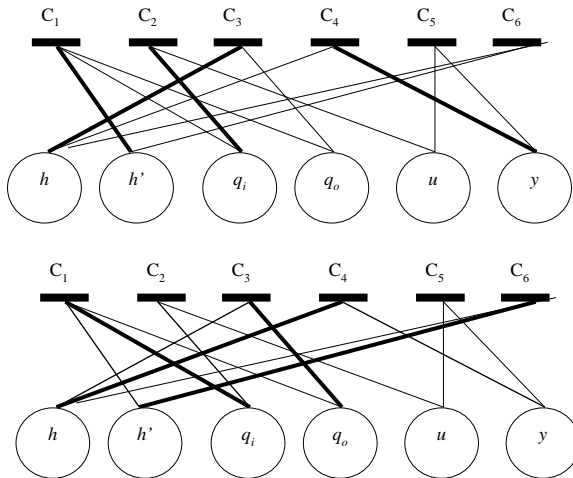
Toutes les var et contraintes sont couplés

$h \quad h' \quad q_i \quad q_o \quad u \quad y$

Chap2/ 54

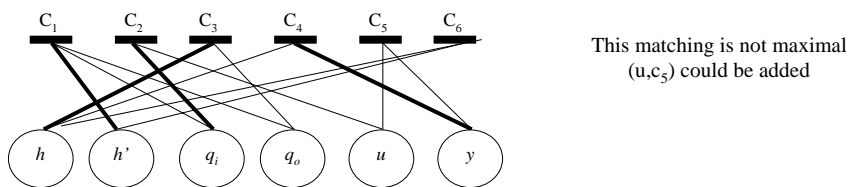
Matching on a bi-partite graph

A matching M is a subset of E
such that
 $\forall e1, e2 \in M$
 $e1 \neq e2 \Rightarrow c(e1) \neq c(e2)$
 $z(e1) \neq z(e2)$

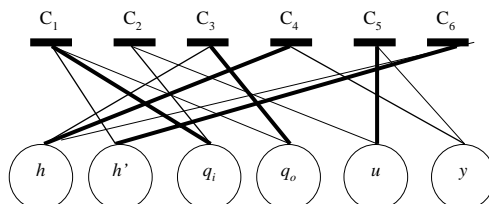


Chap2/ 55

A maximal matching M is a matching such that $\forall N \in 2^E, N \supset M, N$ is not a matching.

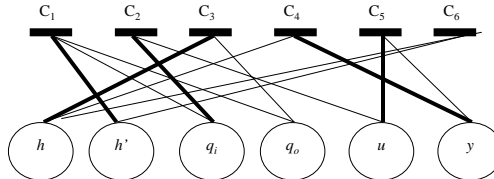


This matching is maximal



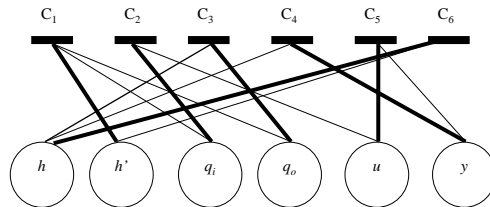
Chap2/ 56

A matching is complete with respect to C if $|M| = |C|$ holds (resp. a matching is complete with respect to Z if $|M| = |Z|$ holds).



This matching is maximal but not complete

This matching is maximal and complete
both with respect to C and to Z



Chap2/ 57

Matching and the incidence matrix

- Select at most one "1" in each row and in each column
- Each selected "1" represents an edge of the matching
- No other edge should contain the same variable : it is the only one in the row
- No other edge should contain the same constraint : it is the only one in the column.

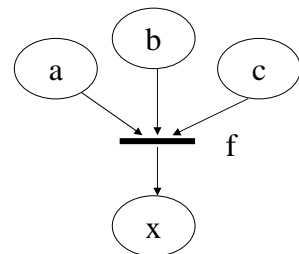
y	u	x_1	x_2	z_1	z_2	y	u	x_1	x_2	z_1	z_2
0	0	0	1	1	0	0	0	0	<u>1</u>	1	0
0	1	1	1	0	1	0	1	<u>1</u>	1	0	1
0	0	1	0	1	0	0	0	1	0	<u>1</u>	0
0	0	0	1	0	1	0	0	0	1	0	<u>1</u>
1	0	1	0	0	0	1	0	1	0	0	0

Chap2/ 58

Oriented graph associated with a matching

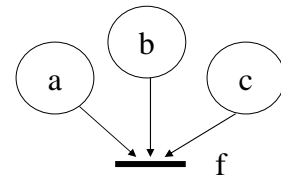
Matched constraints

- from variable to constraint for the non-matched (input) variables,
- from constraint to variable for matched (output) ones.



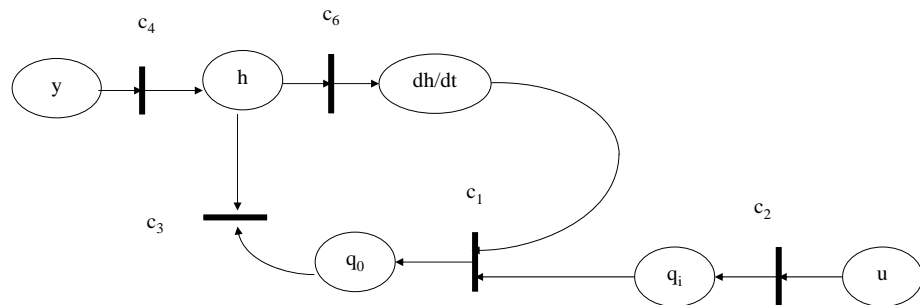
Non-matched constraints

- all the edges adjacent to a non-matched constraint are inputs.



Chap2/ 59

Alternated chains

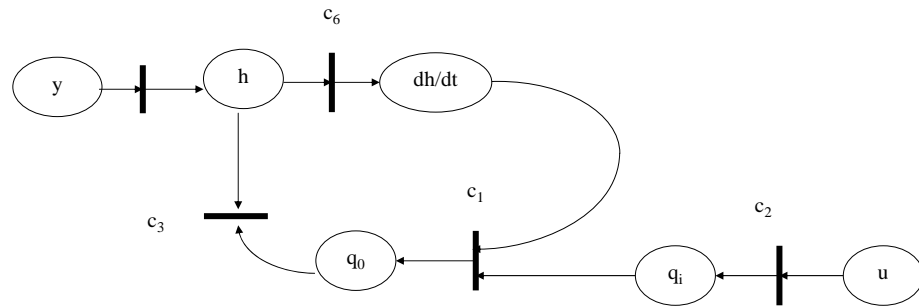


$y - c_4 - h - c_6 - dh/dt - c_1 - q_0$

Chap2/ 60

Reachability

- * z_2 is reachable from z_1 iff there exists an alternated chain from z_1 to z_2
- * a subset Z_2 is reachable from a subset Z_1 iff any variable of Z_2 is reachable from Z_1 .



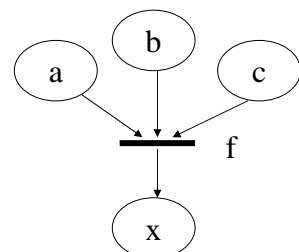
Chap2/ 61

5) Causal interpretation of matchings

Chap2/ 62

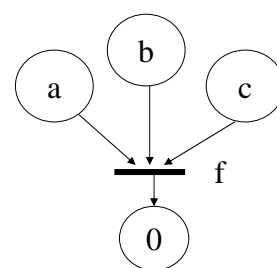
Matched constraints

- the output is computed
- the inputs are supposed to be known



Non-matched constraints

- redundancy relations



Chap2/ 63

Causal interpretation : Algebraic constraints (1)

c an algebraic constraint

$Q(c)$ the set of the variables constrained by c

n_c $|Q(c)|$

Assumption 1

Any algebraic constraint c defines a manifold of dimension $n_c - 1$ in the space of the variables $Q(c)$

Chap2/ 64

Causal interpretation : Algebraic constraints (2)

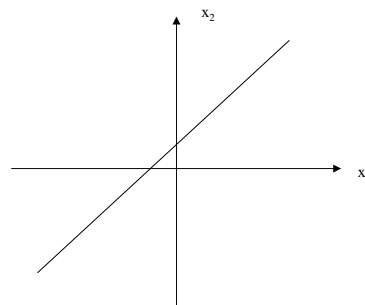
- The constraint has to be satisfied at any time $t \Rightarrow Q(c)$ cannot behave independently of each other.
- Only $n_c - 1$ unknowns can be chosen arbitrarily (or imposed) in constraint c
- There is at least one variable $z \in Q(c)$ such that $\partial c / \partial z \neq 0$ (almost everywhere in the space of the variables $Q(c)$)
- From the inverse function theorem, its trajectory can be deduced (at least locally) from the constraint c and the trajectories of the $n_c - 1$ others
- This is exactly the causal interpretation of matching this variable with constraint c , and it can be interpreted as : constraint c decreases by one the degrees of freedom associated with the variables $Q(c)$.

Chap2/ 65

Causal interpretation : Algebraic constraints (3)

Example : $a_1 x_1 + a_2 x_2 - y = 0$

- One dimensional space to which any $(x_1(t), x_2(t))$ should belong : only one degree of freedom is left
- Most general case of any pair of parameters a_1 and b_1 (including a_1 or b_1 equal to zero) . Indeed, when a_1 and b_1 both equal to zero
 - would not define a one dimensional manifold when $y = 0$, since any point (x_1, x_2) would satisfy it,
 - no solution when $y \neq 0$ i.e. the system model not sound

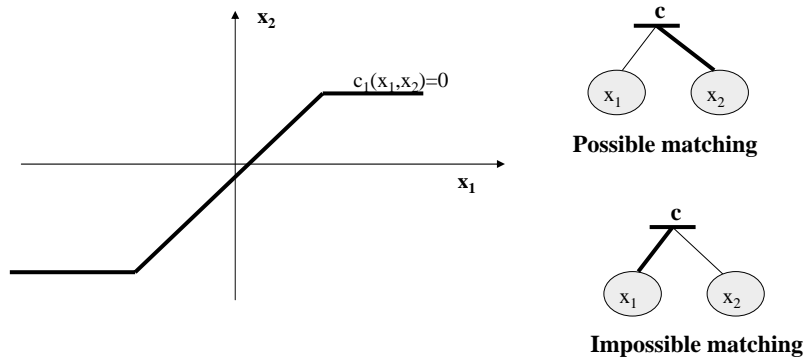


Chap2/ 66

Causal interpretation : Algebraic constraints (4)

At least one variable can be matched in a given constraint under the causal interpretation

- Does not mean that any variable enjoys this property
- Obvious situation : c is not invertible with respect to x .



Chap2/ 67

Causal interpretation : Differential constraints (1)

Differential constraints can always be represented under the form

$$x_2(t) = dx_1(t) / dt$$

Derivative causality : $x_1(t)$ known $\Rightarrow x_2(t)$ known

Integral causality : $x_2(t)$ known $\Rightarrow x_1(t)$ known only when $x_1(0)$ is already known

Chap2/ 68

Causal interpretation : Differential constraints (2)

$$x_2(t) = dx_1(t) / dt$$

Use of derivative causality decreases by one the number of dof

Use of integral causality decreases by one the number of dof only when initial condition is known

- | | |
|-------------------------|--|
| (1) $z = ax + bu$ | a) z and x unknown : still one dof left |
| (2) $z = \frac{dx}{dt}$ | b) z known, x unknown : x can be computed from (1)
c) x known, z unknown : z can be computed from (2) |

Chap2/ 69

Causal interpretation : Differential constraints (3)

Forcing derivative causality

(1) $z = ax + bu$	$z \quad x \quad u$
(2) $z = \frac{dx}{dt}$	(1) 1 1 1 (2) 1 × 0

Chap2/ 70

Causal interpretation : Subsets of constraints (1)

Assumption 2 : all the constraints in C are compatible.

- The set of the constraints is associated with a model whose solutions exists.
- In other words, the constraints do not carry any contradiction.

C_1 : the subset of all the constraints which satisfy Assumption 1.

$V(c)$: the $n_c - 1$ dimensional manifold associated with constraint c

$$V(C) = \bigcap_{c \in C} V(c)$$
$$V(C) \neq \Phi$$

Chap2/ 71

Causal interpretation : Subsets of constraints (2)

Assumption 3 : all the constraints in C are independent.

- the model is minimal
- no constraint defines (at least locally) the same manifold as another one,
- there does not exist in C two different subsets of constraints C' and C'' such that

$$V(C') \subseteq V(C'')$$

Consequence

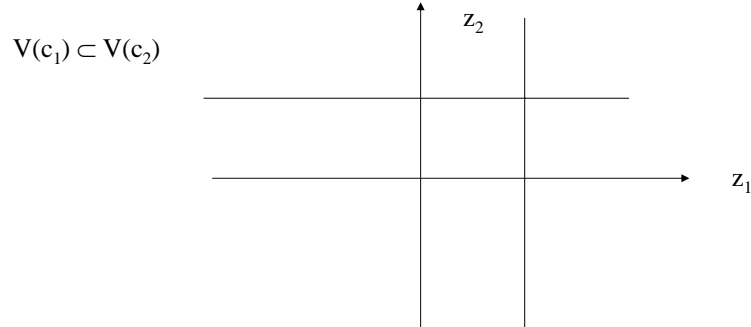
$$\dim[V(C)] = |Q(C)| - |C|$$

Chap2/ 72

Example : Assumption 3 is not satisfied

$$c_1 : z_1 - 1 = 0$$

$$c_2 : (z_1 - 1)(z_2 - 1) = 0$$



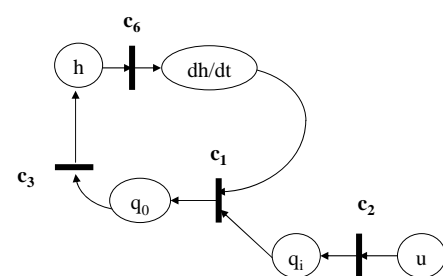
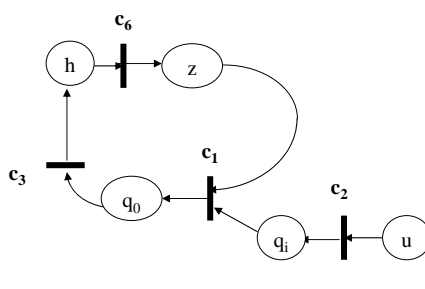
Chap2/ 73

Causal interpretation : Loops

Loops are particular subsets of constraints

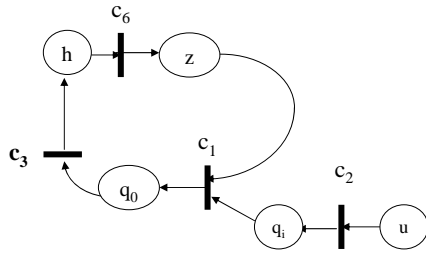
Algebraic loops

Differential loops



Chap2/ 74

Causal interpretation : algebraic loops (1)



Loop
 $h, z, q_0 = 3$ unknowns
 $c_1, c_3, c_6 = 3$ constraints

From assumptions 1, 2 and 3
there is one single (a finite
number of) solution(s).

Remark : even when impossible matchings exist for some constraints in the loop

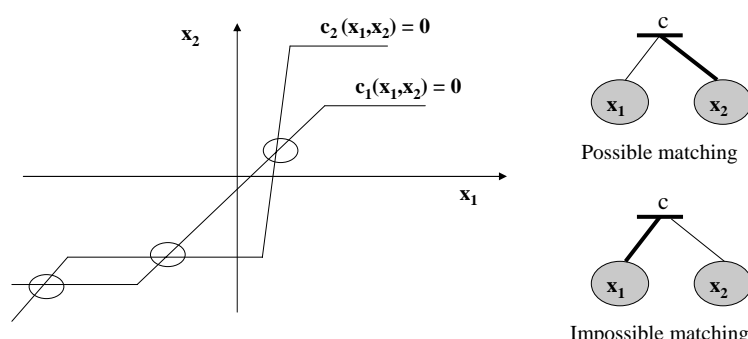
Chap2/ 75

Causal interpretation : algebraic loops (2)

	x_1	x_2
c_1	×	1
c_2	×	1

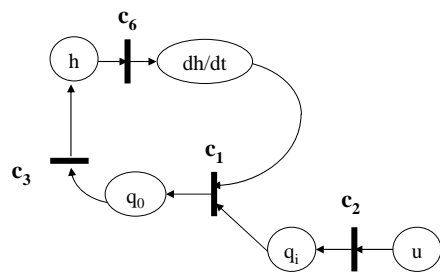
But the above
interpretation still
holds

	x_1	x_2
c_1	1	1
c_2	1	1



Chap2/ 76

Causal interpretation : differential loops (1)

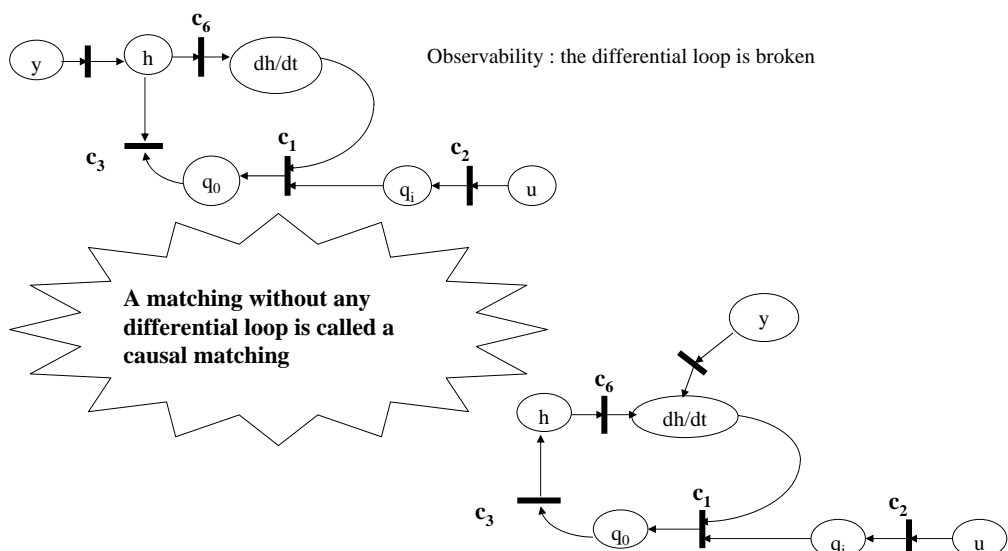


Loop
 $h, dh/dt, q_0 = 3$ unknowns
 derivative causality
 $c_1, c_3, c_6 = 3$ constraints

From assumptions 1, 2 and 3
 there is an infinite number of
 solutions (according to the initial
 value of h)

Chap2/ 77

Causal interpretation : differential loops (2)



The differential loop is not broken because integral causality is forbidden

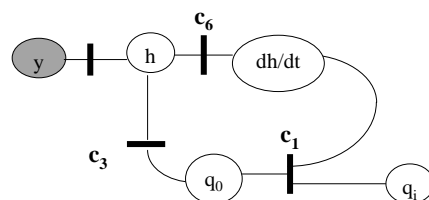
Chap2/ 78

6) Subsystems characterization

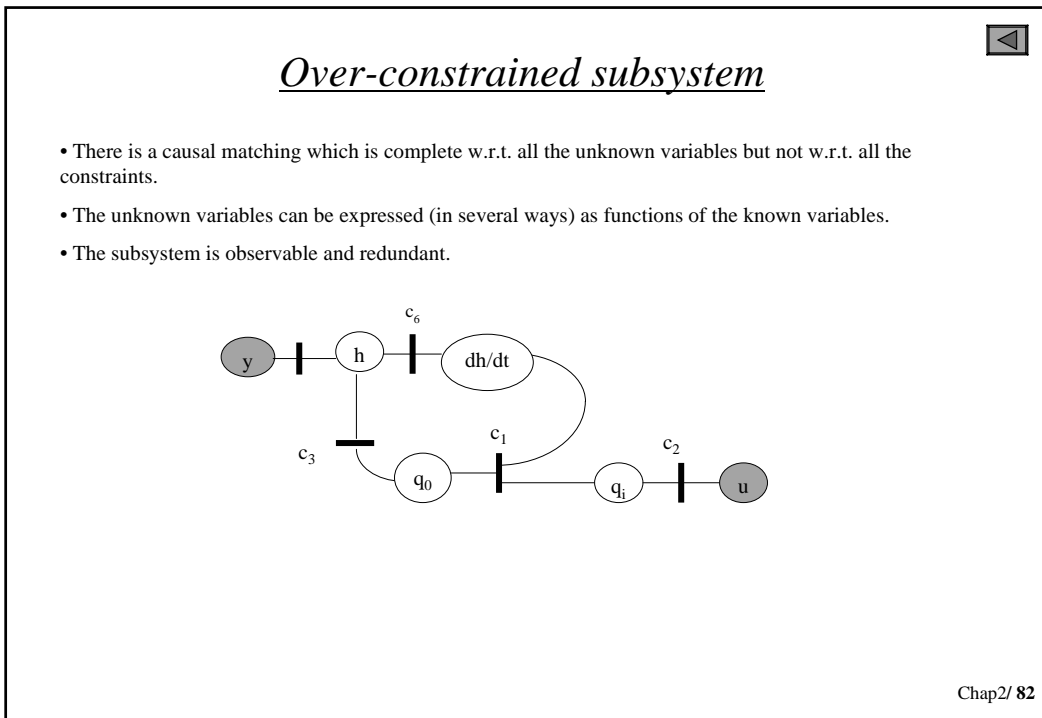
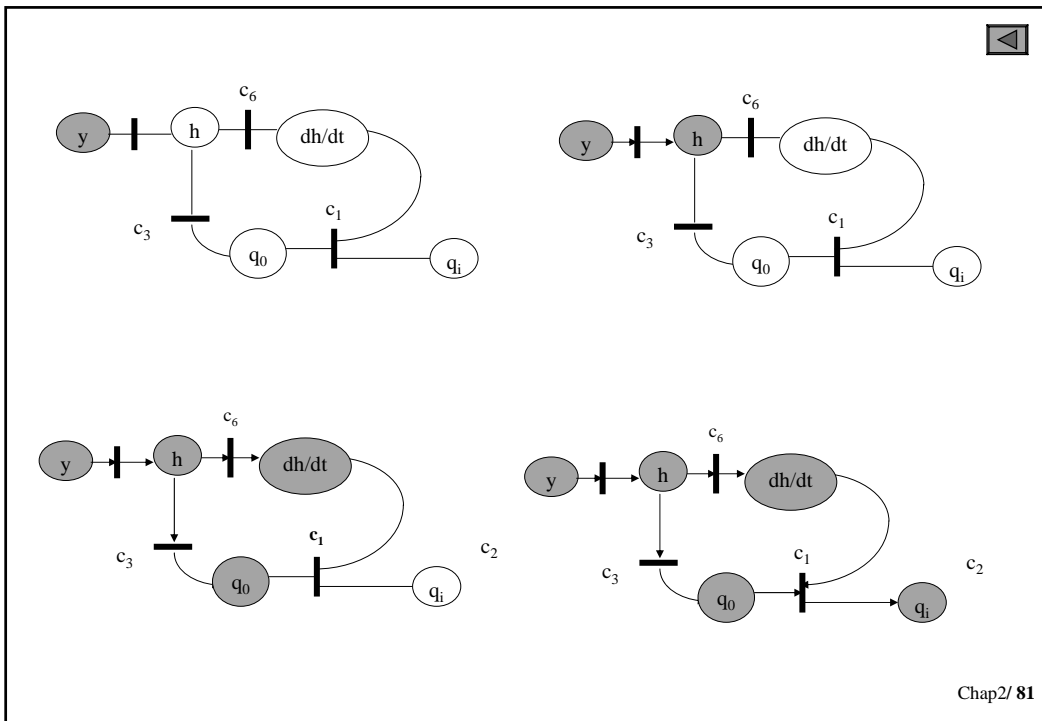
Chap2/ 79

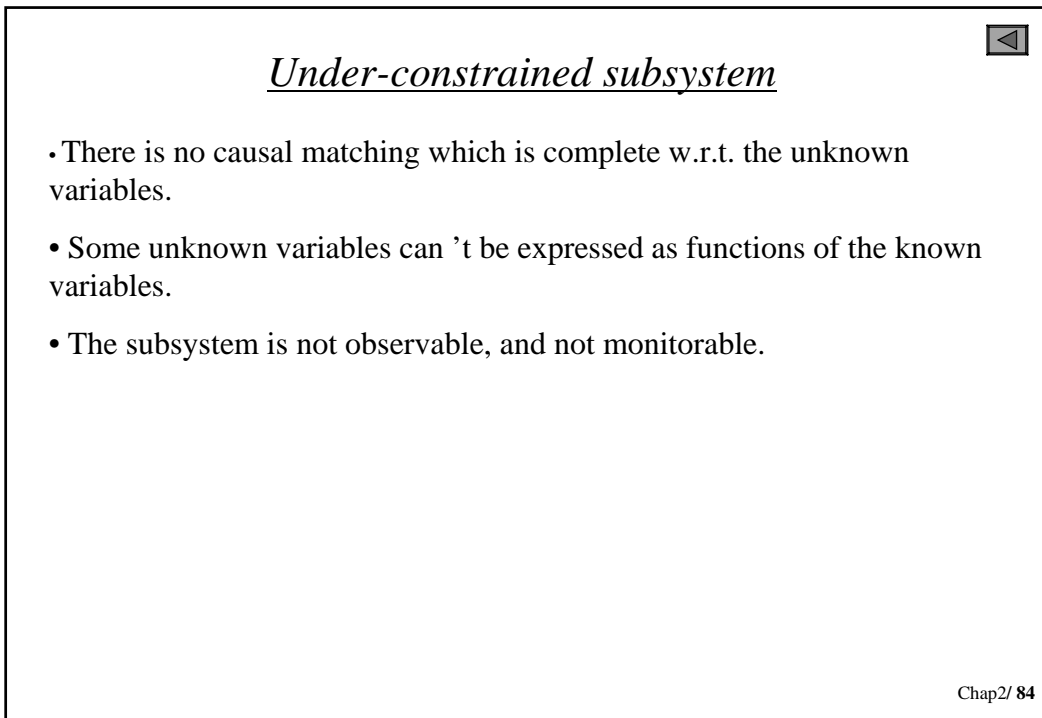
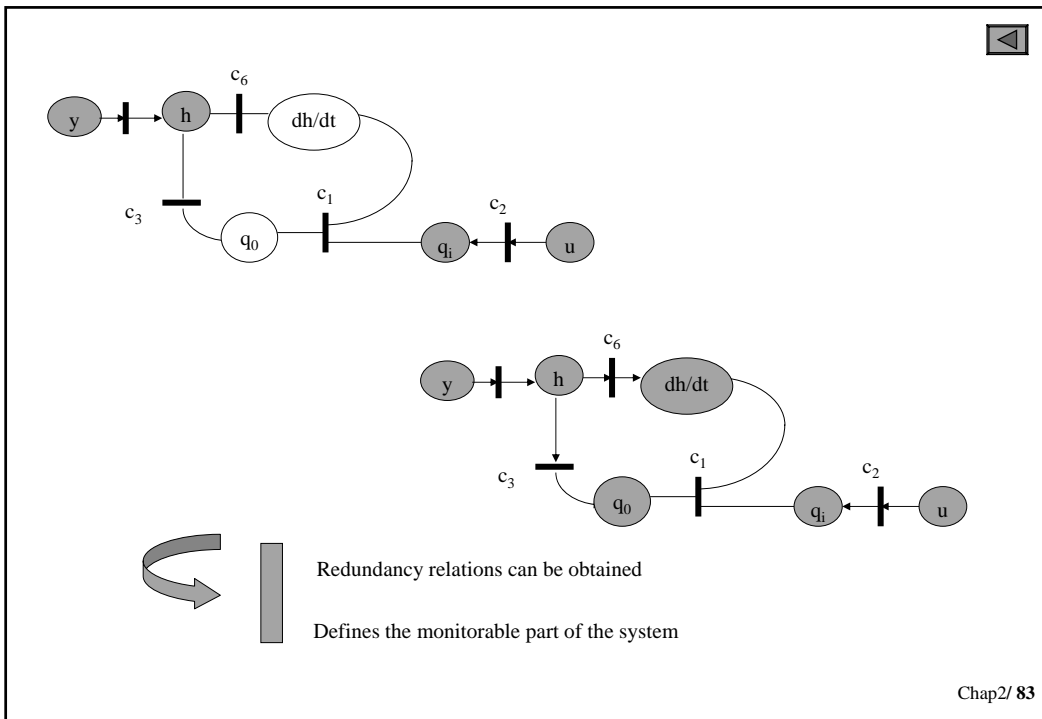
Just-constrained subsystem

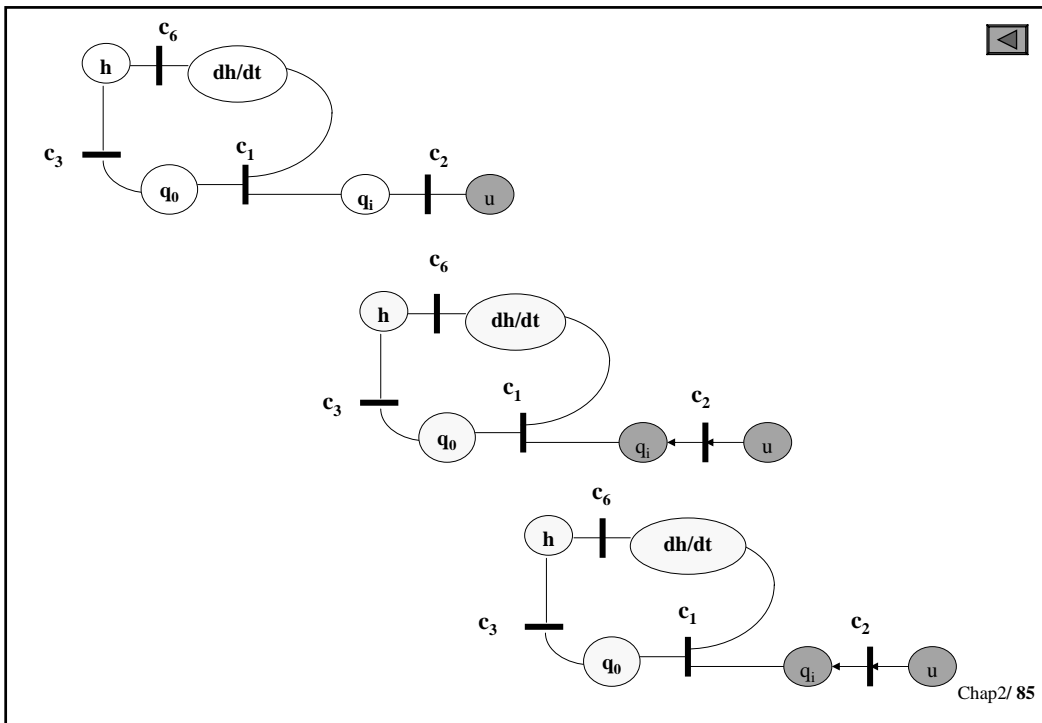
- 1) There is a causal matching which is complete w.r.t. all the unknown variables and all the constraints.
- 2) The unknown variables can be expressed as functions of the known variables.
- 3) The subsystem is observable.



Chap2/ 80



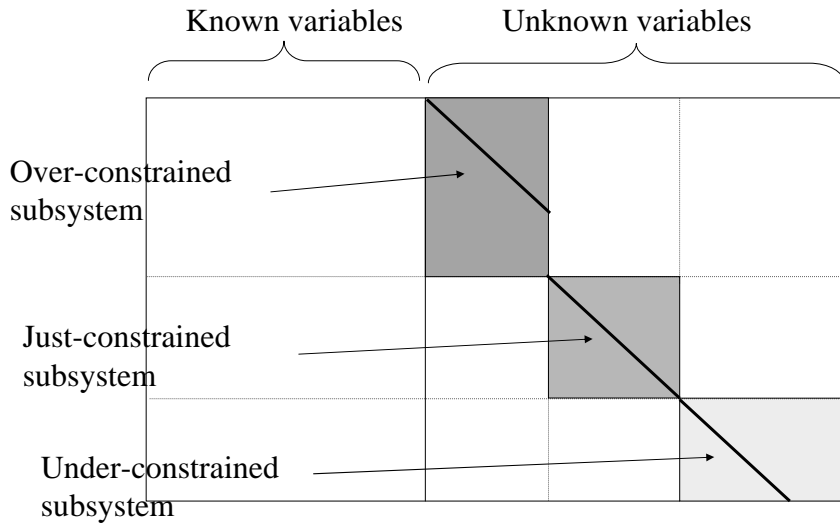




7) System decomposition

Chap2/ 86

Canonical decomposition



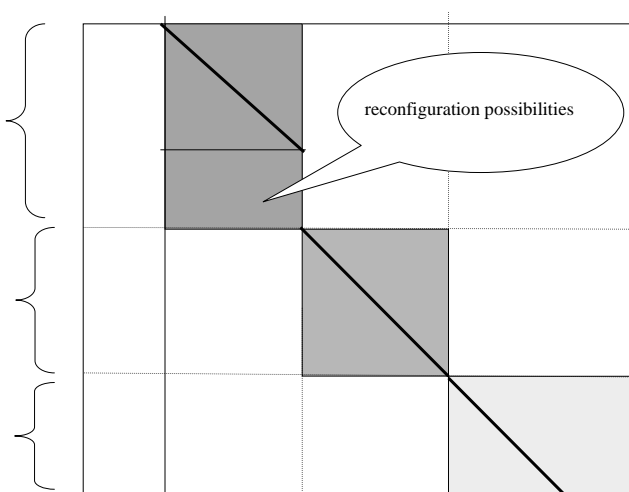
Chap2/ 87

FDI / FTC Analysis

Over-constrained subsystem :
observable, monitorable, fault
tolerant

Just-constrained subsystem :
observable

Under-constrained subsystem :
non-observable



Chap2/ 88



8) Conclusion

Chap2/ 89



- Structural analysis based on bipartite graphs is easy to understand, easy to apply,
- Shows the relation between constraints and components,
- Allows to :
 - identify the monitorable part of the system, i.e. the subset of the system components whose faults can be detected and isolated,
 - design residuals which meet some specific FDI requirements, namely which are robust and structured
 - analyse reconfiguration possibilities in order to estimate (resp. to control) some variables of interest in case of sensor, actuator or system component failures.

Chap2/ 90

CHAP. 3

Analytical redundancy

Chap3/ 1

Model-Based FDI using Analytic Redundancy

Chap3/ 2

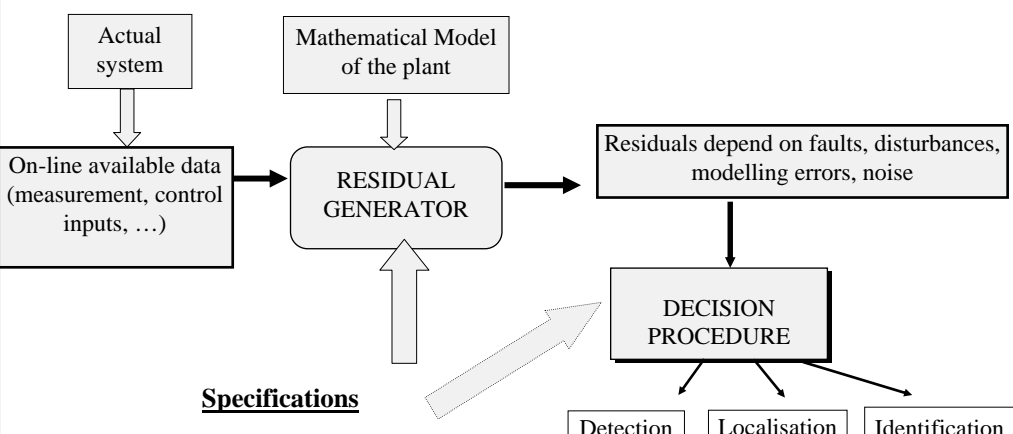
Outline

- ☞ General principle of model based approaches
- ☞ Residual generation
- ☞ Parity space approach
- ☞ Observer-based approaches
- ☞ Identification approaches
- ☞ Extension to non-linear systems

} Linear
models

Chap3/ 3

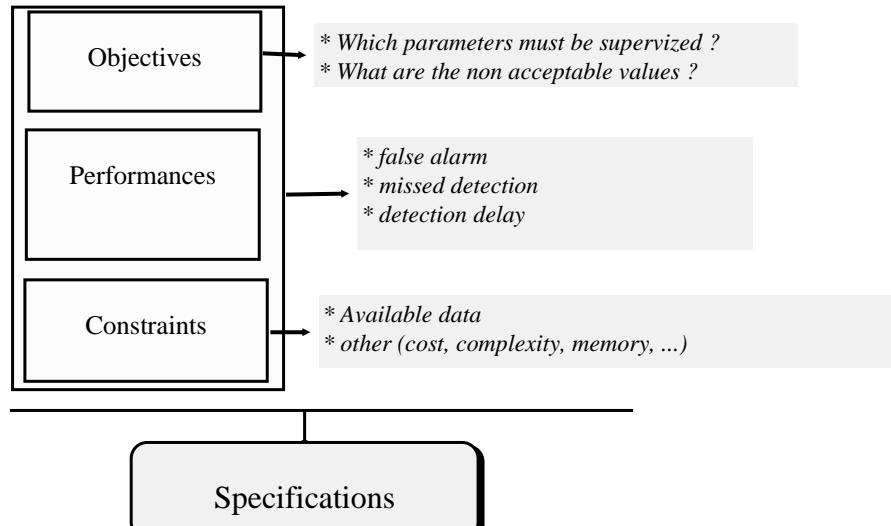
Model-based FDI



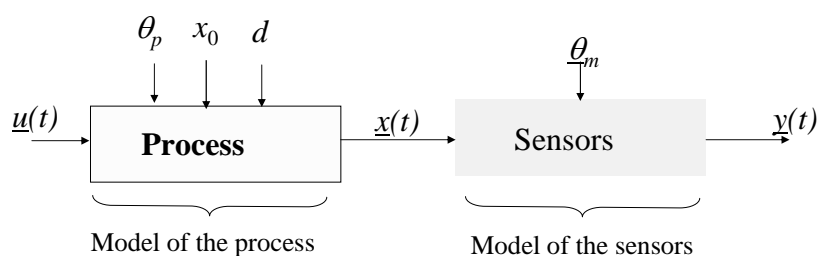
Chap3/ 4



Specifications



Model of the fault-free system



$$y = g(x, \theta_m)$$

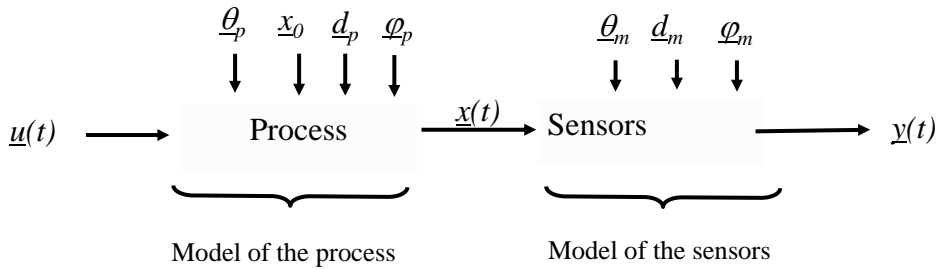
$$\begin{aligned}\frac{dx}{dt} &= f(x, u, d, \theta, t) \\ x(t+1) &= f(x(t), u(t), d(t), \theta, t)\end{aligned}$$

d : Disturbances

θ : Parameters



Model of the faulty system



$$\frac{dx}{dt} = f(x, u, \theta_p, d_p, \varphi_p) \quad y = g(x, \theta_m, d_m, \varphi_m)$$

or

$$x(k+1) = f(x(k), u(k), \theta_p, d_p(k), \varphi_p(k))$$



Linear models (state space)

Fault free system

$$\begin{aligned} \frac{dx}{dt} &= Ax + Bu + Ed & x(0) &= x_0 \\ y &= Cx + Du + Gd \end{aligned}$$

or

$$\begin{aligned} x(t+1) &= Ax(t) + Bu(t) + Ed(t) \\ y(t) &= Cx(t) + Du(t) + Gd(t) \end{aligned}$$



Linear models (state space)

Faulty system

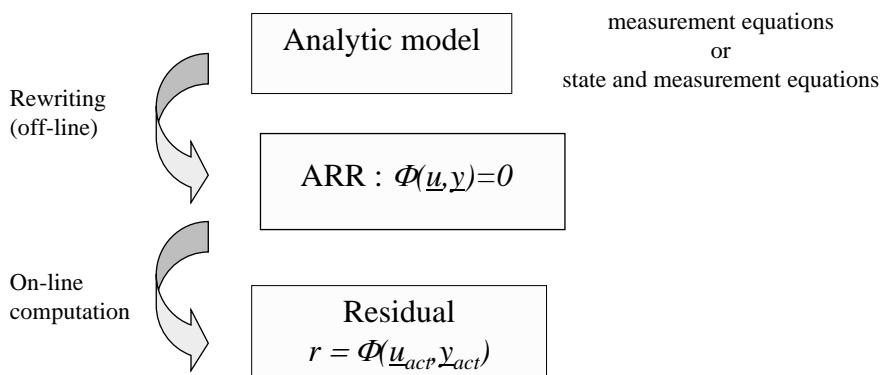
$$\begin{aligned} \frac{dx}{dt} &= Ax + Bu + Ed + F \varphi \\ y &= Cx + Du + Gd + H \varphi \end{aligned}$$

or

$$\begin{aligned} x(k+1) &= A \cdot x(k) + B \cdot u(k) + E \cdot d(k) + F \cdot \varphi(k) \\ y(k) &= C \cdot x(k) + D \cdot u(k) + G \cdot d(k) + H \cdot \varphi(k) \end{aligned}$$

Chap3/ 9

General principle



Chap3/ 10

Analytical redundancy :How to generate residuals ?

⌚ What is residuals r ?

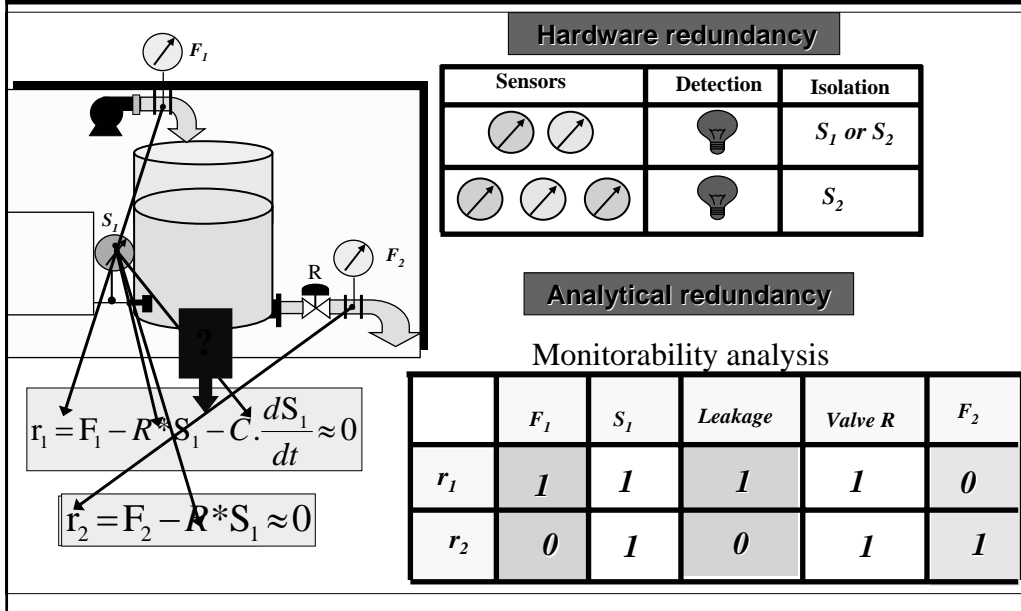
➤ Given

$$(1) \begin{cases} \dot{x} = f(x, u) \\ y = C(x) \end{cases}$$

➤ The residual r express the difference between information provided by the actual system and that delivered by its normal operation model.

$$x = C^{-1}(y) \Rightarrow (1) \Rightarrow \Phi\left(\frac{d(C^{-1}(y))}{dt}, y, u\right) - r \approx 0$$

Hardware and analytical redundancy



ANALYSE STRUCTURELLE

⌚ Limites des modèles analytiques

- processus complexes de grande taille
- toutes les variables ne sont pas numériques
- différentes configurations du système
- modèles analytiques non disponibles
- coexistence de différentes représentations et types de connaissance :
 - bilans massiques et énergétiques : modèles numériques sous forme classique
 - équipements ne présentant qu'un nombre fini d'états : modèles qualitatifs, règles, systèmes de transition
 - connaissance expérimentale : abaques, tables
 - connaissance experte : règles

The simplest redundancy

hardware redundancy



Hardware redundancy uses only measurement equations

(therefore it can detect only sensor faults)

Measurement equations are identical because
several sensors measure the same characteristic

Example : duplex redundancy

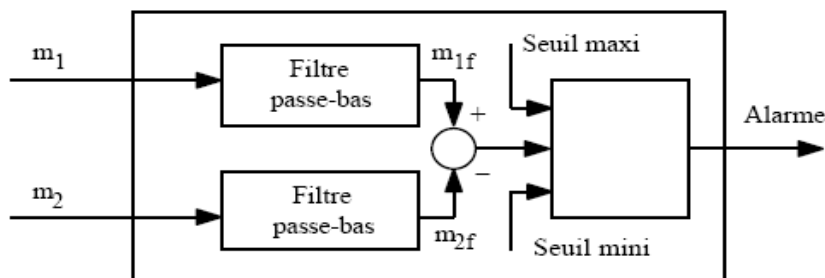
Model : $y_1 = x$

$y_2 = x$

Static ARR : $y_1 - y_2 = 0$

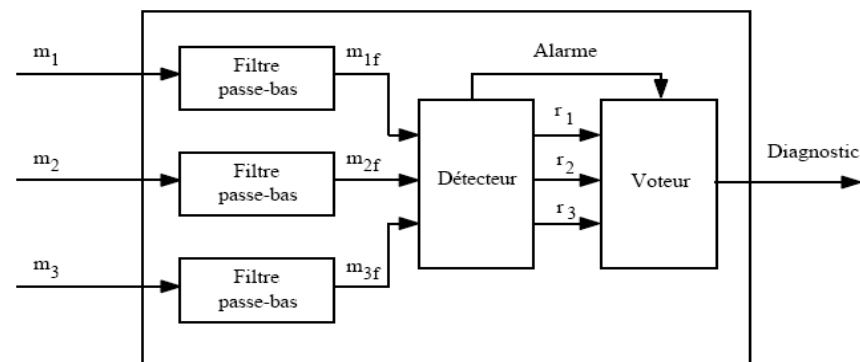
Chap3/ 15

Duplex redundancy



Chap3/ 16

Triplex redundancy



Residuals

$$\begin{aligned} r_1 &= m_1 f - m_2 f \\ r_2 &= m_1 f - m_3 f \\ r_3 &= m_2 f - m_3 f \end{aligned}$$

Chap3/ 17

Analytic model

$$\begin{aligned} y_1 &= x \\ y_2 &= x \end{aligned}$$

Eliminate
unknown x

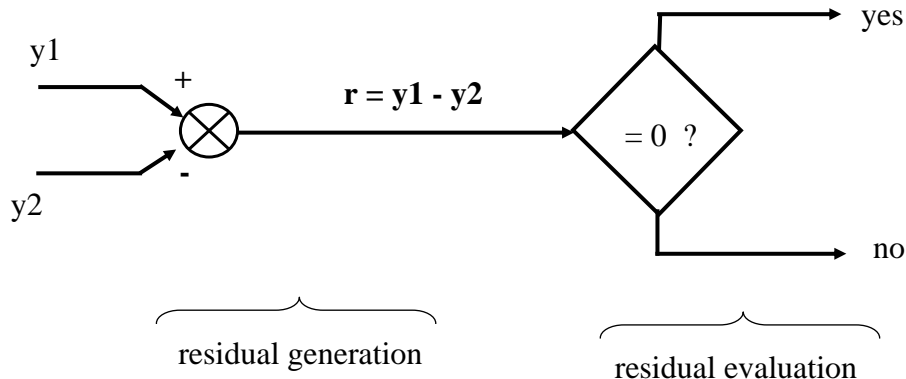
Obtain equivalent system

$$\begin{aligned} y_1 &= x \\ y_1 - y_2 &= 0 \end{aligned}$$

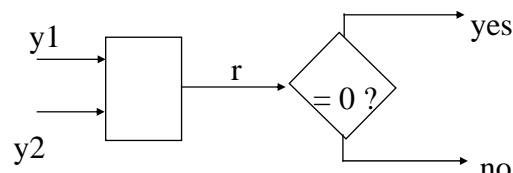
Chap3/ 18



Fault detection



Fault detection



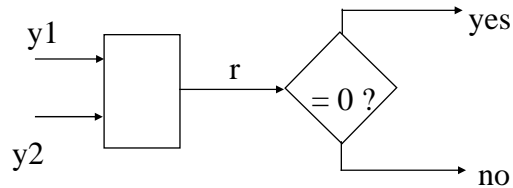
$y_1 - y_2 = 0$ is a necessary condition for the existence of some x such that

$$\begin{aligned} y_1 &= x \\ y_2 &= x \end{aligned}$$

it is a compatibility condition for this system to have a solution



Fault detection



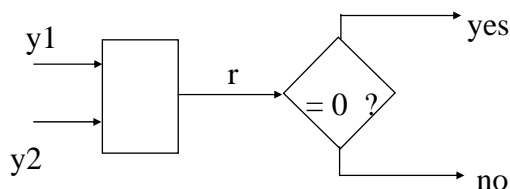
The consequence is that

- y1- $y_2 \neq 0 \Rightarrow$
 - * $y_1 = x$ and $y_2 = x$ cannot be true simultaneously
 - * $\{y_1, y_2\}$ is a conflict (a nogood)
 - * one sensor at least is faulty

y1- $y_2 = 0 \Rightarrow$ it is not impossible that both sensors are healthy (but it is not certain)



Fault detection



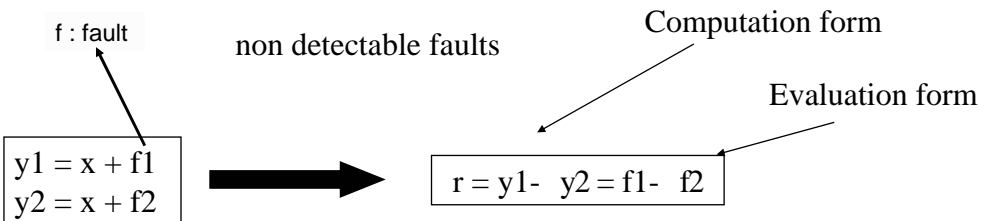
y1- $y_2 = 0 \Rightarrow$ it is not impossible (but it is not certain) that both sensors are healthy

Why is it so ???

because there might be non detectable faults



Fault detection (fault model)



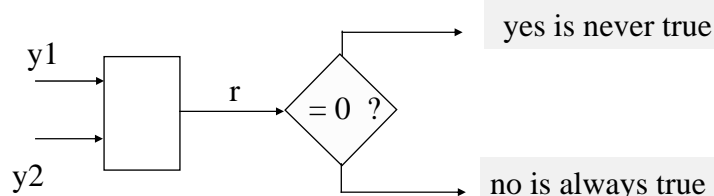
and $r = 0$ when there is a combination of faults such that

$$f_1 - f_2 = 0$$

example : common mode failures



Hardware redundancy with uncertainties



because

$$\begin{aligned} y_1 &= x + \delta_1 \\ y_2 &= x + \delta_2 \end{aligned}$$

$$r = y_1 - y_2 = \delta_1 - \delta_2$$

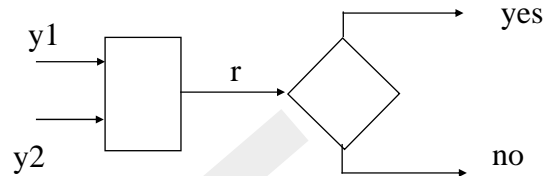


we need a model of the uncertainties



Hardware redundancy with noise

Assume we know $P(\varepsilon_1)$ and $P(\varepsilon_2)$, then we know $P(\varepsilon_1 - \varepsilon_2)$

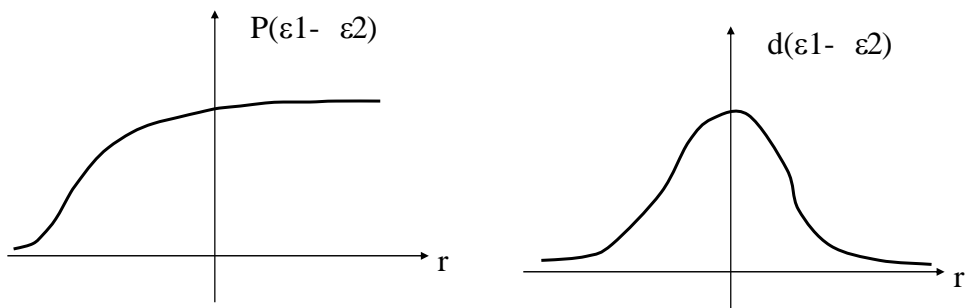


is r distributed according to $P(\varepsilon_1 - \varepsilon_2)$???



Hardware redundancy with noise

is r distributed according to $P(\varepsilon_1 - \varepsilon_2)$???



Statistical decision theory

Explanations

☞ Given a system

$$\begin{cases} \dot{x}(t) = f(x, u, t, \theta) \\ y = C(x, \varepsilon) \end{cases}$$

x : state
 y : measurement
 u : input
 θ : parameters
 ε : noise

☞ The system works in normal regime (hypothesis H0) means

- ✓ y is produced according law C
- ✓ and x is produced according law f
- ✓ and ε is produced according law of probability P

☞ The system works in failure mode hypothesis H1 means

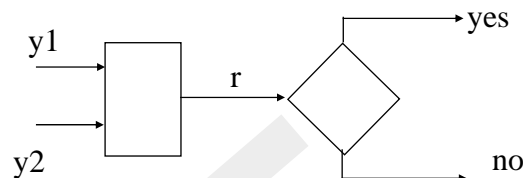
- ✓ y is not produced according law C , or
- ✓ x is not produced according law f , or
- ✓ ε is not produced according law of probability P

Chap3/ 27

Hardware redundancy with uncertainties

Assume we know $\delta_1 \in [a_1, b_1]$, $\delta_2 \in [a_2, b_2]$, then we know

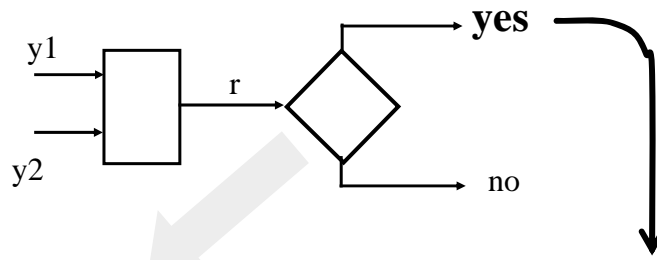
$$\delta_1 - \delta_2 \in [a_{12}, b_{12}]$$



is r within the interval $[a_{12}, b_{12}]$?

Chap3/ 28

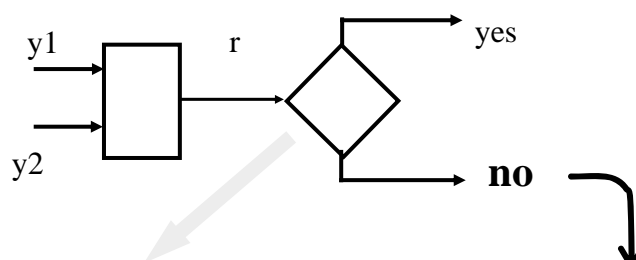
Hardware redundancy with uncertainties



is r within the interval $[a_{12}, b_{12}]$?

The value of r may be the result of no fault and uncertainty

Hardware redundancy with uncertainties

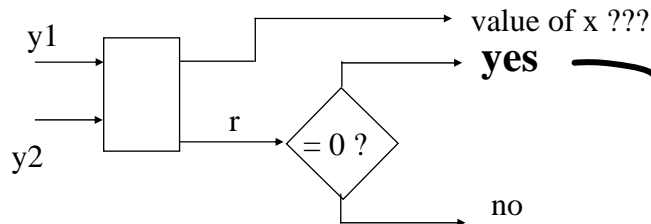


is r within the interval $[a_{12}, b_{12}]$?

The value of r cannot be the result of only uncertainties



Estimation

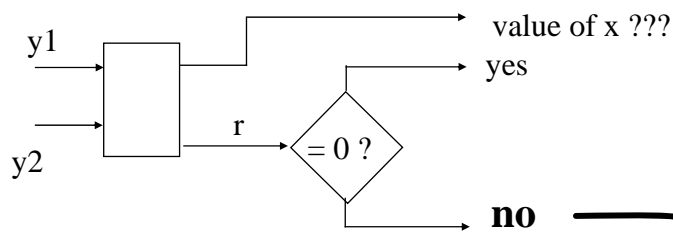


$$x = y_1 \text{ or } x = y_2 \text{ or } x = 1/2(y_1 + y_2) \text{ or } x = p y_1 + (1-p)y_2$$

different versions of the estimation service



Estimation



$$x = y_1 \text{ or } x = y_2$$

different versions of the estimation service

*which sensor is
faulty ? :*
 cannot be decided
 unless fault isolation
 exists



Estimation

triplex redundancy

$$y_1 = x$$

$$y_2 = x$$

$$y_3 = x$$

two residuals

$$r_1 = y_1 - y_2 = 0$$

$$r_2 = y_2 - y_3 = 0$$

Remarks

* any linear combination of residuals is a residual ($r_3 = y_2 - y_3$)

* the set $\{r_1, r_2\}$ is a residual basis in the following sense

$$\begin{pmatrix} r_1 \\ r_2 \end{pmatrix} = \begin{pmatrix} 1 & -1 & 0 \\ 0 & 1 & -1 \end{pmatrix} \begin{pmatrix} y_1 \\ y_2 \\ y_3 \end{pmatrix}$$



Fault isolation (fault model)

triplex redundancy

$$y_1 = x + f_1 \quad x = y_1 - f_1$$

$$y_2 = x + f_2 \quad x = y_2 - f_2$$

$$y_3 = x + f_3 \quad x = y_3 - f_3$$

$$\left. \begin{array}{l} y_1 - f_1 = y_2 - f_2 \\ y_2 - f_2 = y_3 - f_3 \end{array} \right\}$$



$$\begin{aligned} r_1 &= y_1 - y_2 = f_1 - f_2 \\ r_2 &= y_2 - y_3 = f_2 - f_3 \end{aligned}$$

Computation form



Evaluation form



Fault isolation

$$\begin{aligned} r_1 &= y_1 - f_1 \\ r_2 &= y_2 - f_2 \end{aligned}$$



	f1	f2	f3
r1	1	1	0
r2	0	1	1

$$\begin{bmatrix} r_1 \\ r_2 \end{bmatrix} = \begin{bmatrix} 1 & -1 & 0 \\ 0 & 1 & -1 \end{bmatrix} \begin{bmatrix} f_1 \\ f_2 \\ f_3 \end{bmatrix} = [W_1 \quad W_2 \quad W_3] \begin{bmatrix} f_1 \\ f_2 \\ f_3 \end{bmatrix}$$

$$r(k) = W_1 f_1(k) + W_2 f_2(k) + W_3 f_3(k)$$

f2

r2

f1

r1

f3

En réponse à une défaillance donnée, le vecteur de résidus reste dans une direction spécifique, propre à cette défaillance.

directional residuals

Chap3/ 35

structured residuals

En réponse à une défaillance donnée, certaines composantes (spécifiques à cette défaillance) du vecteur de résidus sont nulles.



Conclusion about hardware redundancy

- detect sensor faults (if detectable)
- isolate sensor faults (if enough redundancy)
- estimate the unknown variable with several estimation versions

- needs noise models for statistical decision
- needs uncertainty models for set theoretic based decision

- powerful approach but multiplies weight and costs
- limited to sensor faults
- sensitive to common mode faults

Chap3/ 36



One step ahead

Analytical redundancy (static)

RRAs

☞ Définition

- ✓ Une RRA est une relation déduite du modèle mathématique du système à surveiller, entre des variables dont les valeurs numériques sont disponibles à partir de l'instrumentation (commande, consignes, mesures).
 - Le modèle général peut s'écrire : $F(u, x, x_0, y, \Theta)$
 - L'évolution de x suit une trajectoire qui dépend de x_0 et u
 - Les RRAs éliminent x pour obtenir : $g(u, y, \Theta)$

☞ Problématique : comment générer ces RRAs

- ✓ Redondance statique
- ✓ Redondance dynamique

Système linéaire

☞ Soit donnée

$$\begin{aligned} x(t+1) &= A x(t) + B u(t) + F_x d(t) + E_x \varepsilon(t) \\ y(t) &= C x(t) + D u(t) + F_y d(t) + E_y \varepsilon(t) \end{aligned}$$

F : fault,
E : uncertainties

$$x \in \mathbb{R}^n, \quad y \in \mathbb{R}^m$$

☞ Redondance statique

- ✓ Soit m>n : Alors, il existe (en permutant éventuellement les lignes) une décomposition de C sous la forme

$$C = \begin{bmatrix} C_1 \\ C_2 \end{bmatrix}$$

- ✓ telle que C_1 est inversible et alors $y(t)$ l'équation de mesure s'écrit :

☞ L'équation de mesure devient :

$$\begin{bmatrix} y_1(t) \\ y_2(t) \end{bmatrix} = \begin{bmatrix} C_1 \\ C_2 \end{bmatrix} x(t) + \begin{bmatrix} D_1 \\ D_2 \end{bmatrix} u(t) + \begin{bmatrix} F_{y_1} \\ F_{y_2} \end{bmatrix} \delta(t) + \begin{bmatrix} E_{y_1} \\ E_{y_2} \end{bmatrix} \varepsilon(t)$$

☞ X est calculé alors à partir de y1,

$$x(t) = C_1^{-1} [y_1(t) - D_1 u(t) - F_{y_1} \delta(t) - E_{y_1} \varepsilon(t)]$$

- ✓ et éliminé en le remplaçant dans Y2 : on obtient les RRAs en substituant x dans y2

$$\begin{aligned} y_2(t) - C_2 C_1^{-1} y_1(t) - (D_2 + C_1^{-1} D_1) u(t) - (F_{y_2} + C_1^{-1} F_{y_1}) \delta(t) \\ - (E_{y_2} + C_1^{-1} E_{y_1}) \varepsilon(t) = 0 \end{aligned}$$

☞ Forme de calcul et d'évaluation du résidu

$$\begin{aligned} y_2(t) - C_2 C_1^{-1} y_1(t) - (D_2 + C_1^{-1} D_1) u(t) - (F_{y_2} + C_1^{-1} F_{y_1}) \delta(t) \\ - (E_{y_2} + C_1^{-1} E_{y_1}) \varepsilon(t) = 0 \end{aligned} \Rightarrow \begin{aligned} \rho(t) = y_2(t) - C_2 C_1^{-1} y_1(t) - (D_2 + C_1^{-1} D_1) u(t) = \\ (F_{y_2} + C_1^{-1} F_{y_1}) \delta(t) - (E_{y_2} + C_1^{-1} E_{y_1}) \varepsilon(t) \end{aligned}$$

- ✓ Une autre approche pour éliminer l'inconnue x consiste à trouver une matrice W orthogonale à C ($WC=0$) (Chow 84). En multipliant l'équation de mesure à gauche par W :

$$Wy(t) = WCx(t) + WD u(t) + WFy d(t) + WEy \varepsilon(t) = WD u(t) + WFy d(t) + WEy \varepsilon(t)$$

Dans ces conditions :

1. le système de l'équation de mesure est sur-déterminé par rapport à x :
2. on a $m - n$ relations de redondance analytique, car la matrice W possède $m - n$ lignes linéairement indépendantes (formant une base du noyau de C).

Espace de parité statique

☞ Soit l'équation de mesure donnée par :

$$\begin{aligned} y(k) &= C.x(k) + Du(k) + H.d(k) + Gf(k) \\ \dim(y(k)) &= m \times 1 \\ \dim(x(k)) &= n \times 1 \\ \dim(C) &= m \times n \\ \text{Rang}(C) &= R(C) < m \end{aligned}$$

☞ Colonnes de C : sous espace vectoriel de dimension $R(C)$:

- ✓ On note $C^{R(C)}$

☞ Soit le sous espace supplémentaire à $C^{R(C)}$ noté $W^{m-R(C)}$

- ✓ $W^{m-R(C)}$ est dit Espace de Parité
- ✓ On a : $C^{R(C)} \oplus W^{m-R(C)} = \mathbb{R}^m$ (\oplus somme d'espace vectoriels)

☞ Projection dans l'espace de parité

- ✓ En projetant l'équation de mesure dans l'espace de parité (en multipliant les deux membres de l'équation de mesure $y(k)$ par W) sachant que $WC=0$, on obtient :

$$W[y(k) - Du(k)] = W[H.d(k) + Gf(k)]$$

- ✓ RRA et résidu : en absence de défaillances et de perturbations ($d(k)=f(k)=0$)

$$W[y(k) - Du(k)] = 0 \Leftrightarrow RRA$$

$$r(k) = W[y(k) - Du(k)] \Leftrightarrow \text{Résidu}$$

- ✓ Comme W est de rang $m-R(C)$ alors les $m-R(C)$, résidus sont linéairement indépendants

Formes du vecteur de parité

$$W[y(k) - Du(k)] = W[H.d(k) + Gf(k)]$$

Forme de calcul

$$r(k) = W[y_{mesuré}(k) - Du_{mesuré}(k)] = 0$$

Forme d'évaluation

$$r(k) = W[H.d(k) + Gf(k)]$$

Redondance physique

☞ Example : triplex redundancy

$$\begin{array}{ll} y_1 = x + f_1 & x = y_1 - f_1 \\ y_2 = x + f_2 & x = y_2 - f_2 \\ y_3 = x + f_3 & x = y_3 - f_3 \end{array} \quad \left. \begin{array}{l} y_1 - f_1 = y_2 - f_2 \\ y_2 - f_2 = y_3 - f_3 \end{array} \right\}$$



$$\begin{array}{l} r_1 = y_1 - y_2 = f_1 - f_2 \\ r_2 = y_2 - y_3 = f_2 - f_3 \end{array}$$

Redondance physique

☞ C'est un cas particulier de la redondance statique

✓ Exemple (système triplex)

$$y(k) = C.x(k) + Gf(k)$$

$$\begin{bmatrix} y_1(k) \\ y_2(k) \\ y_3(k) \end{bmatrix} = \begin{bmatrix} 1 \\ 1 \\ 1 \end{bmatrix} x(k) + \begin{bmatrix} f_1(k) \\ f_2(k) \\ f_3(k) \end{bmatrix}$$

dim($y(k)$) = 3 × 1, dim($x(k)$) = 1 × 1, dim(C) = 3 × 1

✓ Espace de parité de dimension 2. Une base W peut être choisie $WC=0$ (2 vecteurs orthogonaux à C). Parmi toutes les solutions choisissons :

$$W = \begin{bmatrix} 1 & -1 & 0 \\ 0 & 1 & -1 \end{bmatrix}$$

✓ Projettant l'équation de mesure dans l'espace de parité

$$r(k) = \begin{bmatrix} r_1(k) \\ r_2(k) \end{bmatrix} = W[y(k) + Gf(k)] = \begin{bmatrix} 1 & -1 & 0 \\ 0 & 1 & -1 \end{bmatrix} \begin{bmatrix} y_1(k) \\ y_2(k) \\ y_3(k) \end{bmatrix} + \begin{bmatrix} f_1(k) \\ f_2(k) \\ f_3(k) \end{bmatrix}$$

$$r_1(k) = y_1(k) - y_2(k) = f_1(k) - f_2(k)$$

$$r_2(k) = y_1(k) - y_3(k) - y_2(k) = f_1(k) - f_3(k) - f_2(k)$$

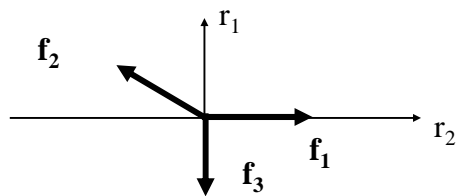
Résidus directionnels

☞ $r(k)$ peut s'exprimer comme suit :

$$r(k) = \begin{bmatrix} r_1(k) \\ r_2(k) \\ r_3(k) \end{bmatrix} = [W_1 \ W_2 \ W_3] \begin{bmatrix} f_1(k) \\ f_2(k) \\ f_3(k) \end{bmatrix} \Rightarrow r(k) = W_1 f_1(k) + W_2 f_2(k) + W_3 f_3(k)$$

$$W_1 = \begin{bmatrix} 1 \\ 0 \end{bmatrix}, W_2 = \begin{bmatrix} -1 \\ 1 \end{bmatrix}, W_3 = \begin{bmatrix} 0 \\ -1 \end{bmatrix}$$

- ✓ L'espace de parité est un espace de dimension 2. Le vecteur des résidus se déplacera suivant une direction spécifique à chacune des pannes



Redondance statique

☞ Espace de parité statique

- ✓ Le cas statique consiste à rechercher les relations algébriques liant les valeurs instantanées des mesures

☞ Il y a redondance statique si on peut trouver

✓ un ensemble de vecteurs W orthogonaux à C. $WC = 0$

✓ Les vecteurs lignes de W définissent l'espace de parité statique :

☞ En projetant l'équation de la mesure dans l'espace de parité, on obtient :

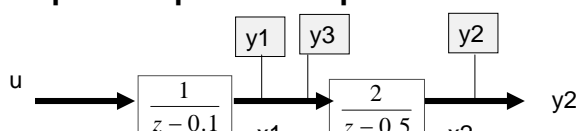
✓ RRA statique : $W.Y = W.C.X = 0$

✓ Dans la réalité :

✓ $Y = C.X + e + d$

EXEMPLE

☞ Espace de parité statique



$$\begin{cases} \mathbf{z}\mathbf{x}_1 = 0.1\mathbf{x}_1 + \mathbf{u} \\ \mathbf{z}\mathbf{x}_2 = 2\mathbf{x}_1 + 0.5\mathbf{x}_2 \\ \mathbf{y}_1 = \mathbf{x}_1 \\ \mathbf{y}_2 = \mathbf{x}_2 \\ \mathbf{y}_3 = \mathbf{x}_1 \end{cases}$$

$$\begin{cases} \mathbf{z}\mathbf{x} = \mathbf{A}\mathbf{x} + \mathbf{B}\mathbf{u} \\ \mathbf{y} = \mathbf{C}\mathbf{x} \end{cases}$$

$$\mathbf{A} = \begin{bmatrix} 0.1 & 0 \\ 2 & 0.5 \end{bmatrix}, \mathbf{B} = \begin{bmatrix} 1 \\ 0 \end{bmatrix}, \mathbf{C} = \begin{bmatrix} 1 & 0 \\ 0 & 1 \\ 1 & 0 \end{bmatrix}, \mathbf{D} = 0, \mathbf{y} = \begin{bmatrix} \mathbf{y}_1 \\ \mathbf{y}_2 \\ \mathbf{y}_3 \end{bmatrix}$$

Pour éliminer x, on cherche W tel que : $\mathbf{W}\mathbf{y} = \mathbf{W}\mathbf{C}\mathbf{x} = 0$

$$\mathbf{W}\mathbf{y} = \mathbf{W}\mathbf{C}\mathbf{x} = 0 \Rightarrow \mathbf{W}\mathbf{C} = 0$$

$$\text{Rang}(\mathbf{C}) \leq m$$

$$\text{Rang}(\mathbf{W}) = m - \text{Rang}(\mathbf{C}) = 3 - 2 = 1$$

$$\dim(\mathbf{W}) = (\text{Rang}(\mathbf{W}), m)$$

☞ Les résidus sont : $r = Wy = 0$

☞ Comme $\dim(W)=1 \times 3$, alors $W = (a \ b \ c)$

✓ Tous les vecteurs de la forme : $W = [a \ 0 \ -a]$ annule WC

☞ Alors on trouve : $r = Wy = [a \ 0 \ -a] \begin{bmatrix} y_1 \\ y_2 \\ y_3 \end{bmatrix} = 0 \Rightarrow r = y_1 - y_3$

☞ On retrouve la redondance matérielle :



A bit more complex

Analytical redundancy (dynamic)



Analytical redundancy (dynamic)

State space model

Continuous time

$$\dot{x}(t) = Ax(t) + Bu(t)$$

$$y(t) = Cx(t) + Du(t)$$

Discrete time

$$x(t+1) = Ax(t) + Bu(t)$$

$$y(t) = Cx(t) + Du(t)$$

If there exists W such that $WC = 0$
then static redundancy relations can be found

Chap3/ 53



Dynamical Analytical redundancy (continuous)

$$\dot{x}(t) = Ax(t) + Bu(t)$$

$$y(t) = Cx(t) + Du(t)$$

Déivation de y

$$\dot{y}(t) = C\dot{x}(t) + D\dot{u}(t)$$

$$y(t) = Cx(t) + Du(t)$$

$$\dot{y}(t) = CAx(t) + CBu(t) + D\dot{u}(t)$$

$$\begin{pmatrix} y(t) \\ \dot{y}(t) \end{pmatrix} = \begin{pmatrix} C \\ CA \end{pmatrix} x(t) + \begin{pmatrix} D & 0 \\ CB & D \end{pmatrix} \begin{pmatrix} u(t) \\ \dot{u}(t) \end{pmatrix}$$

Chap3/ 54



Dynamic Analytical redundancy (Discrete)

$$x(t+1) = Ax(t) + Bu(t)$$

$$y(t) = Cx(t) + Du(t)$$

Déivation de y

$$y(t+1) = Cx(t+1) + Du(t+1)$$

$$y(t+1) = CAx(t) + CBu(t) + Du(t+1)$$

$$\begin{pmatrix} y(t) \\ y(t+1) \end{pmatrix} = \begin{pmatrix} C \\ CA \end{pmatrix} x(t) + \begin{pmatrix} D & 0 \\ CB & D \end{pmatrix} \begin{pmatrix} u(t) \\ u(t+1) \end{pmatrix}$$



Analytical redundancy (dynamic)

$$\begin{pmatrix} y(t) \\ \dot{y}(t) \end{pmatrix} = \begin{pmatrix} C \\ CA \end{pmatrix} x(t) + \begin{pmatrix} D & 0 \\ CB & D \end{pmatrix} \begin{pmatrix} u(t) \\ \dot{u}(t) \end{pmatrix}$$

If there exists W such that

$$\underbrace{\begin{pmatrix} W_1 & W_2 \end{pmatrix} \begin{pmatrix} C \\ CA \end{pmatrix}}_W = 0$$

$$\left. \begin{array}{c} \text{then} \\ \Rightarrow \end{array} \right\} \begin{pmatrix} W_1 & W_2 \end{pmatrix} \left[\begin{pmatrix} y(t) \\ \dot{y}(t) \end{pmatrix} - \begin{pmatrix} D & 0 \\ CB & D \end{pmatrix} \begin{pmatrix} u(t) \\ \dot{u}(t) \end{pmatrix} \right] = 0$$



Analytical redundancy (general)

$$\begin{aligned}
 \dot{x}(t) &= Ax(t) + Bu(t) \\
 y(t) &= Cx(t) + Du(t)
 \end{aligned}
 \quad \left. \begin{array}{l} \text{Dérivation de } y \\ \dot{y}(t) = CAx(t) + CBu(t) + Du(t) \\ \text{Dérivation de } y' \\ \ddot{y}(t) = CA\dot{x}(t) + CBu(t) + Du(t) \\ \text{Dérivation de } y^{(n)} \\ \vdots \end{array} \right\} \quad \begin{array}{l} \text{Observability matrix } OBS(A, C, p) \\ \text{Toeplitz matrix } T(A, B, C, D, p) \end{array}$$

etc.

$$\begin{pmatrix} y(t) \\ \dot{y}(t) \\ \vdots \\ y^{(p)} \end{pmatrix} = \begin{pmatrix} C \\ CA \\ \vdots \\ CA^{(p)} \end{pmatrix} x(t) + \begin{pmatrix} D & 0 & \dots & 0 \\ CB & D & \dots & \dots \\ \vdots & \dots & \dots & 0 \\ CA^{(p-1)}B & \dots & CB & D \end{pmatrix} \begin{pmatrix} u(t) \\ \dot{u}(t) \\ \vdots \\ u^{(p)}(t) \end{pmatrix}$$

Expressions of dynamical ARRs

$$\begin{pmatrix} y(t) \\ \dot{y}(t) \\ \vdots \\ y^{(p)} \end{pmatrix} = \begin{pmatrix} C \\ CA \\ \vdots \\ CA^{(p)} \end{pmatrix} x(t) + \begin{pmatrix} D & 0 & \dots & 0 \\ CB & D & \dots & \dots \\ \vdots & \dots & \dots & 0 \\ CA^{(p-1)}B & \dots & CB & D \end{pmatrix} \begin{pmatrix} u(t) \\ \dot{u}(t) \\ \vdots \\ u^{(p)}(t) \end{pmatrix} \Rightarrow \bar{y}^{(p)} = OBS(A, C, p).x(t) + T(A, B, C, D, p).\bar{u}^{(p)}$$

If there exists W such that $W.OBS(A, C, P) = 0$

$W\bar{y}^{(p)} = WOBS(A, C, P).x(t) - WT(A, B, C, D, p).\bar{u}^{(p)}$

$W.OBS(.) = 0$
ARRs are : $W\bar{y}^{(p)} - W.T(A, B, C, D, p)\bar{u}^{(p)} = 0$

Rows of W are a basis of $\text{Ker}(OBS)$, define the parity space
Parity space dimension is number of sensors



Analytical redundancy (general)

Redundancy relations in time / symbolic domains

$$\begin{array}{ccc} \dot{x}(t) = Ax(t) + Bu(t) & \xleftarrow{\text{Laplace transform}} & sX = AX + BU \\ y(t) = Cx(t) + Du(t) & & Y = CX + DU \end{array}$$

$$\begin{aligned} W\bar{y}^{(p)} - WT(A, B, C, D, p)\bar{u}^{(p)} &= 0 & \longleftrightarrow Y - (C(sI - A)^{-1}B + D)U &= 0 \\ QW\bar{y}^{(p)} - QWT(A, B, C, D, p)\bar{u}^{(p)} &= 0 & & \\ N(s)Y - N(s)(C(sI - A)^{-1}B + D)U &= 0 & & \\ N(s)Y - M(s)U &= 0 & & \end{aligned}$$



Fault detection

$$\begin{array}{l} \dot{x}(t) = Ax(t) + Bu(t) + F_x f \\ y(t) = Cx(t) + Du(t) + F_y f \end{array}$$

$$W\bar{y}^{(p)} - WT(A, B, C, D, p)\bar{u}^{(p)} - WT(A, F_x, C, F_y, p)\bar{f}^{(p)} = 0$$

$$r = \underbrace{W\bar{y}^{(p)} - WT(A, B, C, D, p)\bar{u}^{(p)}}_{\text{Computation form}} = \underbrace{WT(A, F_x, C, F_y, p)\bar{f}^{(p)}}_{\text{Evaluation form}}$$

$= 0$ when no fault
 $\neq 0$ when fault is present

RESUME REDONDANCE DYNAMIQUE

☞ Soit donné le système $x(k+1) = Ax(k) + Bu(k)$ (1)
 $y(k) = Cx(k) + Du(k)$ (2)

☞ A l'instant K+1 $y(k+1) = Cx(k+1) + Du(k+1)$ (3)

☞ En utilisant (1) on a $y(k+1) = CAx(k) + CBu(k) + Du(k+1)$

☞ Alors: $\begin{pmatrix} y(k) \\ y(k+1) \end{pmatrix} = \begin{pmatrix} C \\ CA \end{pmatrix} x(k) + \begin{pmatrix} D & 0 \\ CB & D \end{pmatrix} \begin{pmatrix} u(k) \\ u(k+1) \end{pmatrix}$

☞ En généralisant à l'ordre p $\begin{pmatrix} y(k) \\ y(k+1) \\ \dots \\ y(k+p) \end{pmatrix} = \begin{pmatrix} C \\ CA \\ \dots \\ CA^{(p)} \end{pmatrix} x(k) + \begin{pmatrix} D & 0 & \dots & 0 \\ CB & D & \dots & \dots \\ \dots & \dots & \dots & 0 \\ CA^{(p-1)}B & \dots & CB & D \end{pmatrix} \begin{pmatrix} u(k) \\ u(k+1) \\ \dots \\ u(k+p) \end{pmatrix}$

$\bar{y}(k, p) = OBS(A, C, p).x(k) + T(A, B, C, D, p).\bar{u}(p, k)$

Chap3/ 61

☞ Conséquence du théorème de Cayley-Hamilton

✓ : il existe p tel que le rang de $OBS(A, C, p)$ soit inférieur au nombre de lignes donc on peut trouver une matrice W telle que :

$$W.OBS(A, C, p) = 0$$

✓ L'espace supplémentaire à OBS , défini par W, est appelé "espace de parité".

✓ En projetant l'équation (3) dans cet espace, on obtient :

$$W\bar{y}(k, p) - WT(A, B, C, D, p)\bar{u}(k, p) = 0$$

Cette relation est appelée : "relation de redondance analytique dynamique".

Le résidu est :

$$r(k) = W\bar{y}(k, p) - WT(A, B, C, D, p)\bar{u}(k, p) = 0 \quad \Rightarrow$$

$$\begin{aligned} \text{rang}(W) &= m(p+1) - \text{rang}(T) \\ \text{dim}(W) &= (\text{rang}(W), m(p+1)) \end{aligned}$$

Chap3/ 62

Application numérique

$$\begin{cases} \dot{x}(k+1) = Ax(k) + Bu(k) \\ y(k) = Cx(k) \end{cases} \quad A = \begin{bmatrix} 0.1 & 0 \\ 2 & 0.5 \end{bmatrix}, \quad B = \begin{bmatrix} 1 \\ 0 \end{bmatrix}, \quad C = \begin{bmatrix} 1 & 0 \\ 0 & 1 \end{bmatrix} = I, \quad y = \begin{bmatrix} y_1 \\ y_2 \end{bmatrix}, \quad D = \begin{bmatrix} 0 \\ 0 \end{bmatrix}$$

$$\bar{y}(k, p) = OBS(A, C, p).x(k) + T(A, B, C, D, p).\bar{u}(p, k)$$

$$\begin{bmatrix} \bar{y}(k) \\ \bar{y}(k+1) \\ \bar{y}(k+2) \end{bmatrix} = \begin{bmatrix} C \\ CA \\ CA^2 \end{bmatrix} + \begin{bmatrix} D & 0 & 0 \\ CB & D & 0 \\ CAB & CB & 0 \end{bmatrix} \begin{bmatrix} u(k) \\ u(k+1) \\ u(k+2) \end{bmatrix} \quad \text{Dérivée jusqu'à l'ordre deux}$$

Calcul de W : dérivée ordre 1 : $\bar{y}(k, 1) = OBS(A, C, 1).x(k) + T_1(A, B, C, D, 1).\bar{u}(1, k)$

$$A^2 = \begin{bmatrix} 0.01 & 0 \\ 1,2 & 0.25 \end{bmatrix}, \quad OBS_1 = \begin{bmatrix} C \\ CA \end{bmatrix} = \begin{bmatrix} 1 & 0 \\ 0 & 1 \\ 0.1 & 0 \\ 2 & 0.5 \end{bmatrix} \quad T_1 = \begin{bmatrix} 0 & 0 \\ 0 & 0 \\ 1 & 0 \\ 0 & 0 \end{bmatrix}$$

$$\begin{aligned} \text{rang}(W) &= m(p+1) - \text{rang}(T_1) = 2 * (1+1) - 2 = 2 \\ \dim(W) &= (\text{rang}(W), m(p+1)) = (2, 4) \end{aligned}$$

$$W.OBS_1(.) = 0 \Rightarrow \quad W.OBS_1(.) = 0 \Rightarrow [a \quad b \quad c \quad d] \begin{bmatrix} 1 & 0 \\ 0 & 1 \\ 0.1 & 0 \\ 2 & 0.5 \end{bmatrix} = [0 \quad 0]$$

Trouvons alors 2 vecteurs W linéairement indépendants

$$\begin{cases} a + 0.1c + 2d = 0 \\ b + 0.5d = 0 \end{cases} \Rightarrow 2 \text{ équations } 4 \text{ inconnues} \quad \text{On fixe arbitrairement 2 inconnues}$$

$$\begin{aligned} a = 0, \text{ et } d = -1 &\Rightarrow b = -0.5d, \quad c = -20d \Rightarrow W_1 = [0 \quad 0.5 \quad 20 \quad -1] \\ b = 0, \text{ et } d = 0 &\Rightarrow d = 0 \Rightarrow, \quad a = -0.1c \Rightarrow W_2 = [1 \quad 0 \quad -10 \quad 0] \\ c = 0 \text{ et } d = -2 &\Rightarrow W_3 = [4 \quad 1 \quad 0 \quad -2] \end{aligned} \quad \begin{array}{l} \text{W3 est une} \\ \text{combinaison linéaire} \\ \text{de W1 et W2} \end{array}$$

$$W_3 = 0.5W_2 - 2W_1$$

Expressions des résidus

$$r(k) = W\bar{y}(k, p) - WT(A, B, C, D, p)\bar{u}(k, p)$$

$$W = \begin{bmatrix} W_1 \\ W_2 \end{bmatrix}$$

$$r(k) = W\bar{y}(k,1) - WT_1(A,B,C,D,I)\bar{u}(k,1)$$

$$r(k) = \begin{bmatrix} r_1(k) \\ r_2(k) \end{bmatrix} = \begin{bmatrix} 1 & 0 & -10 & 0 \\ 4 & 1 & 0 & -2 \end{bmatrix} \begin{bmatrix} y_1(k) \\ y_2(k) \\ y_1(k+1) \\ y_2(k+1) \end{bmatrix} - \begin{bmatrix} 1 & 0 & -10 & 0 \\ 4 & 1 & 0 & -2 \end{bmatrix} \begin{bmatrix} 0 & 0 \\ 0 & 0 \\ 1 & 0 \\ 0 & 0 \end{bmatrix} \begin{bmatrix} u(k) \\ u(k+1) \end{bmatrix}$$



$$r_1(k) = y_1(k) - 10y_1(k+1) + 10u(k) \Rightarrow r_1(z) = z^{-1}y_1 - 10z^{-1}y_1 + 10z^{-1}u$$

$$r_2(k) = 4y_1(k) + y_2(k) - 2y_2(k+1) \Rightarrow r_2(z) = 4z^{-1}y_1 + z^{-1}y_2 - 2z^{-1}y_2$$



Si $r=0$, on retrouve le modèle initial

$$\begin{cases} zx_1 = 0.1x_1 + u \\ zx_2 = 2x_1 + 0.5x_2 \end{cases} \quad \begin{cases} y_1 = x_1 \\ y_2 = x_2 \end{cases}$$

$$\Rightarrow y_1 = \frac{u}{z-0.1}, y_2 = \frac{2}{z-0.5}y_1$$

Résidus d'ordre 2

☞ Les matrices OBS et T seront :

$$OBS_2 = \begin{bmatrix} C \\ CA \\ CAB \end{bmatrix} T_2 = \begin{bmatrix} D & 0 & 0 \\ CB & D & 0 \\ CAB & CB & 0 \end{bmatrix}$$

$$\begin{aligned} rang(W) &= m(p+1) - rang(T_2) = 2*(2+1) - 2 = 4 \\ \dim(W) &= (rang(W), m(p+1)) = (4,6) \end{aligned}$$

☞ On obtient après calcul

Résidu d'ordre 2

$$\begin{aligned} r_1 &= z^{-1}y_1 - 10y_1 + 10z^{-1}u(z) \\ r_2 &= 4z^{-2}y_1 + z^{-2}y_2 - 2z^{-1}y_2 \\ r_3 &= z^{-2}y_1 - 10z^{-1}y_1 + 10z^{-2}u(z) \\ r_4 &= z^{-2}y_2 - 12z^{-1}y_2 + 20y_2 + 40z^{-2}u \end{aligned}$$

Résidu d'ordre 1 obtenu avant

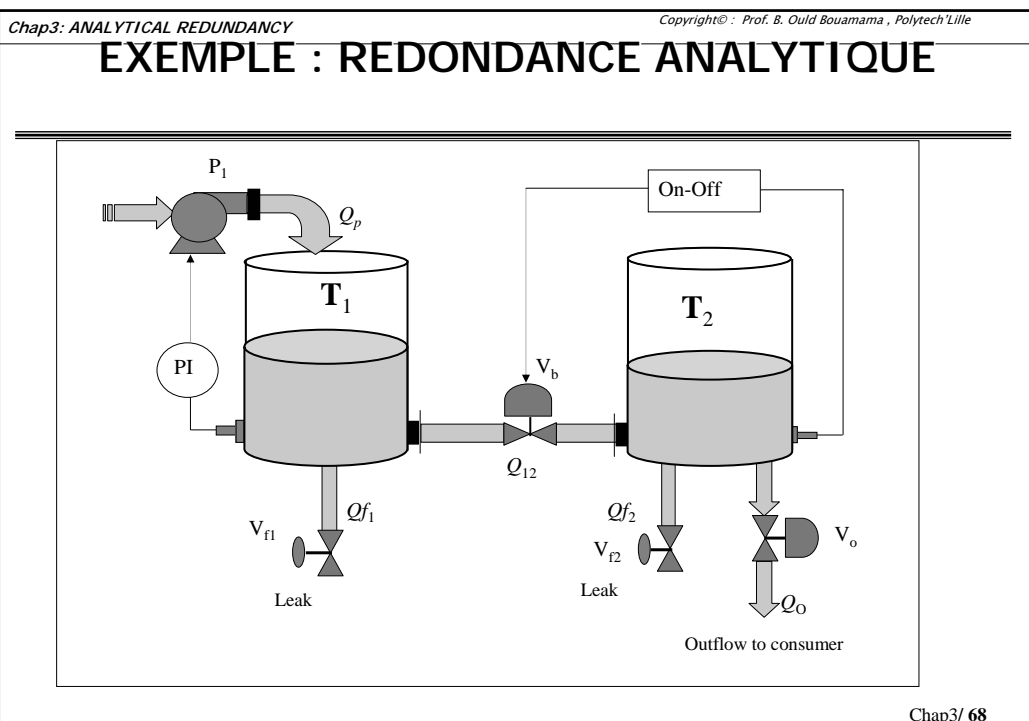
$$\begin{aligned} r_1(z) &= z^{-1}y_1 - 10z^{-1}y_1 + 10z^{-1}u \\ r_2(z) &= 4z^{-1}y_1 + z^{-1}y_2 - 2y_2 \end{aligned}$$

☞ Analyse

- ✓ A l'ordre deux on obtient des résidus sensibles uniquement à Y2
- ✓ Si on augmente l'ordre, on obtient les mêmes RRAs décalées dans le temps (filtrées)

EXAMPLE

Chap3/ 67



Chap3/ 68

Etat: $x = \begin{bmatrix} x_1 \\ x_2 \end{bmatrix}$

Où x_1 représente le niveau d'eau dans le réservoir T_1
et x_2 représente le niveau d'eau dans le réservoir T_2

Entrée: $u = \begin{bmatrix} u_b \\ u_p \\ u_o \\ Q_p \end{bmatrix}$

Où:
 Q_p représente le débit de la pompe

u_b représente la position de la vanne V_1

u_o représente la position de la vanne V_2

u_p représente la sortie du PI

Mesure: $y = \begin{bmatrix} my_1 \\ my_2 \\ mu_p \\ mQ_p \end{bmatrix}$

Avec: $my_1 = x_1 + \varepsilon_1$

$my_2 = x_2 + \varepsilon_2$

$mu_p = u_p + \varepsilon_3$

$mQ_p = Q_p + \varepsilon_4$

Où: $\varepsilon_{i(i=1,2,3,4)}$ est le **bruit** de mesures

Régulation du système:

Pompe: Contrôlée par un intégrateur PI suivant le niveau d'eau h_1 dans le réservoir T_1 :

$$U_p = K_p(h_{lc} - h_1(t)) + K_I \int ((h_{lc} - h_1(t)) dt$$

avec

$$Q_p = \begin{cases} U_p & \text{Si } 0 < U_p < Q_{pmax} \\ 0 & \text{Si } U_p \leq 0 \\ Q_{pmax} & \text{Si } U_p \geq Q_{pmax} \end{cases}$$

Vannes:

V_b contrôle le niveau d'eau h_2 par un tout ou rien « On-Off »:

$$U_b = \begin{cases} 0 & \text{si } h_2 = h_{2max} \\ 1 & \text{si } h_2 = h_{2min} \end{cases}$$

V_o contrôle l'écoulement de sortie:

$$U_o = \begin{cases} 0 & \text{si } V_2 \text{ est ouverte} \\ 1 & \text{sinon} \end{cases}$$

Indicateurs de fautes

RRA(1):

$$A_1 dmy_1 / dt - A_1 d\varepsilon_1 / dt = \\ mQp - C \cdot sign(my_1 - my_2 - \varepsilon_1 + \varepsilon_2) \sqrt{|my_1 - my_2 - \varepsilon_1 + \varepsilon_2|} \cdot u_b - Q_{f1}$$

RRA(2):

$$A_2 dmy_2 / dt - A_2 d\varepsilon_2 / dt = \\ C \cdot sign(my_1 - my_2 - \varepsilon_1 + \varepsilon_2) \sqrt{|my_1 - my_2 - \varepsilon_1 + \varepsilon_2|} \cdot u_b - C \sqrt{(y_2 - \varepsilon_2)} \cdot u_o - Q_{f2}$$

RRAs

RRA(3):

$$mQp - \varepsilon = \begin{cases} mu_p - \varepsilon_4 & Si 0 < mUp < Qmax \\ 0 & Si mU_p \leq 0 \\ Qpmax & Si mU_p \geq Qpmax \end{cases}$$

RRA(4):

$$mU_{\bar{p}} - \varepsilon = K_p(h_{lc} - my_1(t) + \varepsilon_1) + K_I \int (h_{lc} - my_1(t) + \varepsilon_1) dt$$

Résidus

$$r_1 = A_1 dmy_1 / dt - A_1 d\varepsilon_1 / dt - \\ Q_p + C \cdot sign(my_1 - my_2 - \varepsilon_1 + \varepsilon_2) \sqrt{|my_1 - my_2 - \varepsilon_1 + \varepsilon_2|} \cdot u_b + Q_{f1}$$

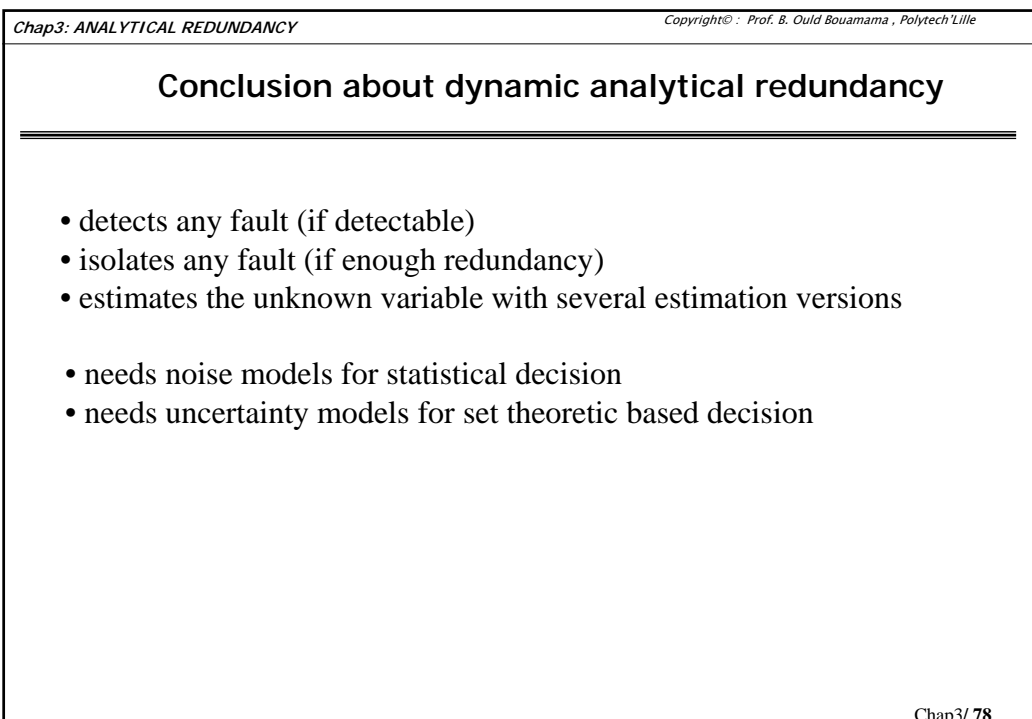
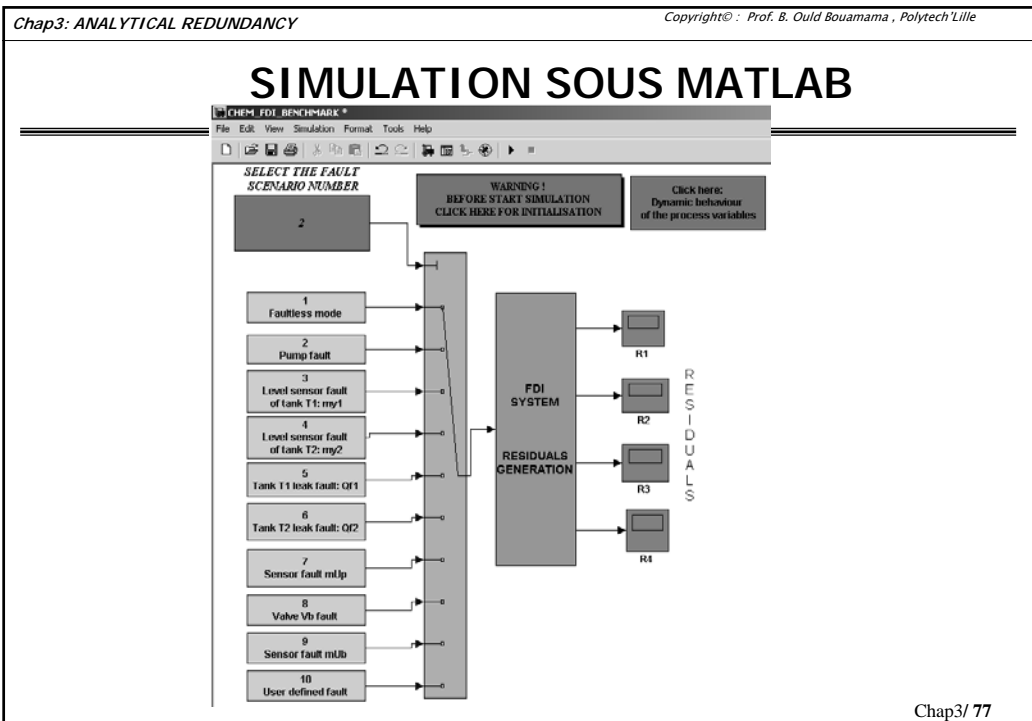
$$r_2 = A_2 dmy_2 / dt - A_2 d\varepsilon_2 / dt - \\ C \cdot sign(my_1 - my_2 - \varepsilon_1 + \varepsilon_2) \sqrt{|my_1 - my_2 - \varepsilon_1 + \varepsilon_2|} \cdot u_b + C \sqrt{(my_2 - \varepsilon_2)} \cdot u_o + Q_{f2}$$

$$r_3 = mQ_p - \varepsilon_3 \quad \begin{cases} mu_p - \varepsilon_4 & Si \ 0 < mUp < Q_{max} \\ 0 & Si \ mU_p \leq 0 \\ Q_{pmax} & Si \ mU_p \geq Q_{pmax} \end{cases}$$

$$r_4 = mU_p - \varepsilon_4 \quad K_p(h_{lc} - my_1(t) + \varepsilon_1) - K_I \left(\int h_{lc} - my_1(t) + \varepsilon_1 dt \right)$$

Signature faults

	my1	my2	mQp	mUb	mUo	mUp	Qf1	Qf2	pompe
r1	1	1	1	1	0	0	1	0	0
r2	1	1	0	1	1	0	0	1	0
r3	1	0	0	0	0	1	0	0	1
r4	0	0	1	0	0	1	0	0	0



Observer-based approaches

Chap4/1

⌚ Principe des méthodes FDI par observateur

- Reconstruction de la sortie du procédé à partir des observations issues des capteurs puis comparer cette estimation à la valeur réelle de cette sortie
- En fonction de la nature du système on a:
 - Cas déterministe : l'estimation est effectuée à l'aide des observateurs
 - Cas stochastique : filtre de Kalman

⌚ Un observateur ou reconstructeur a pour but à partir des variables mesurées de permettre une estimation du vecteur d'état

OBSERVATEUR

Given



How to reconstruct based on output error

State equation

$$\begin{cases} \dot{x}(t) = Ax(t) + Bu(t) \\ y = Cx(t) \end{cases}, \quad x \in \mathbb{R}^n, y \in \mathbb{R}^m, u \in \mathbb{R}^p$$

Structure of the observer

$$\begin{cases} \dot{\hat{x}}(t) = A\hat{x}(t) + Bu(t) + K[y(t) - C\hat{x}(t)] \\ \hat{y} = C\hat{x}(t) \\ \hat{x}(0) = \hat{x}_0 \end{cases}$$

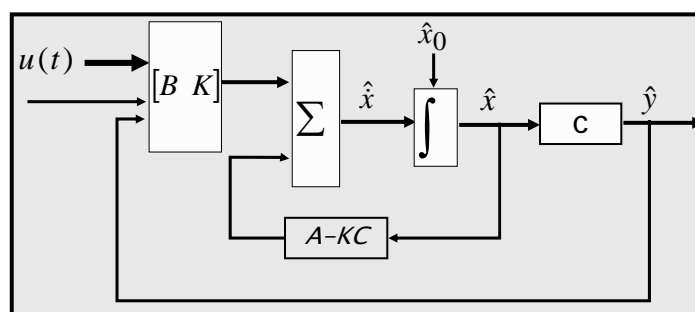
↓
Erreur d'estimation

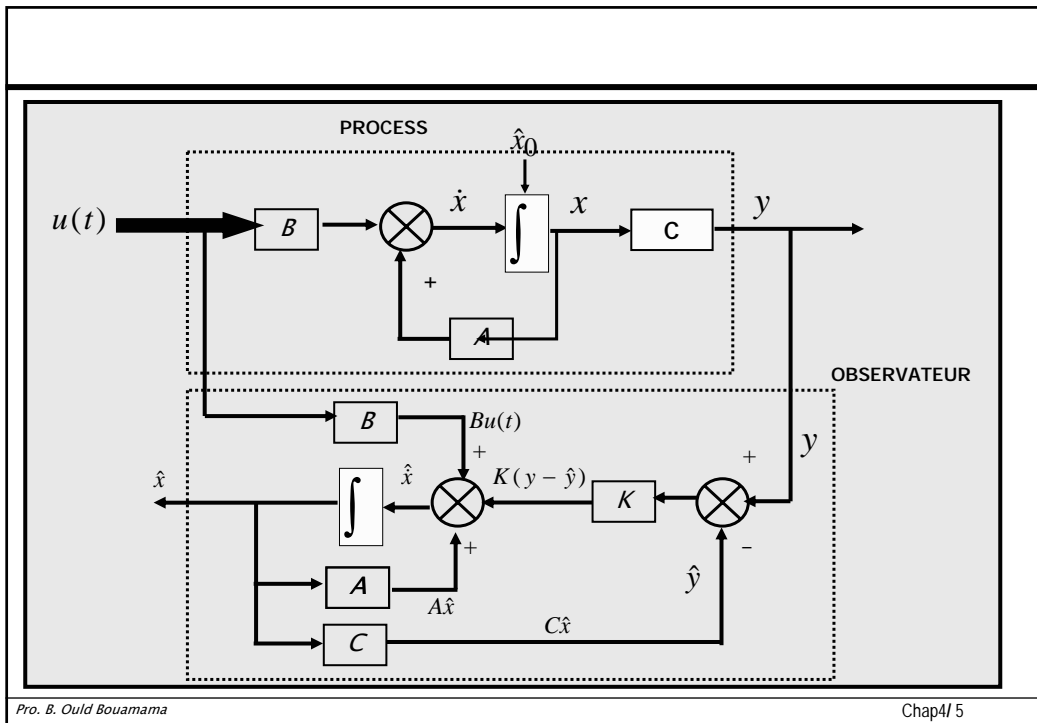
$$\begin{cases} \dot{\hat{x}}(t) = (A - KC)\hat{x}(t) + [B \ K] \begin{pmatrix} u(t) \\ y(t) \end{pmatrix} \\ \hat{y} = C\hat{x}(t) \\ \hat{x}(0) = \hat{x}_0 \end{cases}$$

$\hat{x} \in \mathbb{R}^n, K \in \mathbb{R}^{n,m} : \text{Gain}, u \in \mathbb{R}^r$

Simulation de l'observateur

$$\begin{cases} \dot{\hat{x}}(t) = (A - KC)\hat{x}(t) + [B \ K] \begin{pmatrix} u(t) \\ y(t) \end{pmatrix} \\ \hat{y} = C\hat{x}(t) \end{cases}$$





Pro. B. Ould Bouamama Chap4/5

Convergence

Convergence conditions

$$\begin{cases} \dot{x}(t) = Ax(t) + Bu(t), & x \in \mathbb{R}^n, y \in \mathbb{R}^m, u \in \mathbb{R}^p \\ y = Cx(t) \end{cases} \Rightarrow \begin{cases} \dot{\hat{x}}(t) = A\hat{x}(t) + Bu(t) + K[y(t) - C\hat{x}(t)] \\ \hat{y} = C\hat{x}(t) \end{cases}$$

$$\tilde{x} = x - \hat{x} \Rightarrow \tilde{\dot{x}} = \dot{x} - \dot{\hat{x}} = (Ax + Bu) - (A\hat{x} + Bu + K(y - C\hat{x})) = A(x - \hat{x}) - KC(x - \hat{x})$$



$$\frac{d(x - \hat{x})}{dt} = \tilde{\dot{x}} = A(x - \hat{x}) - KC(x - \hat{x}) = (A - KC)\tilde{x}$$



$$\tilde{x}(p) = (pI - A + KC)^{-1}(x_0 - \hat{x}_0)$$

Erreur d'estimation

$$\frac{d\varepsilon(t)}{dt} = (A - KC)\varepsilon(t)$$

\Rightarrow ε s'annule exponentiellement si $(A - KC)$ est asymptotiquement stable i.e. valeurs propres (modes) sont à partie réelles négatives :
Comment ? : Bien choisir K

Pro. B. Ould Bouamama

Chap4/6

Remarques

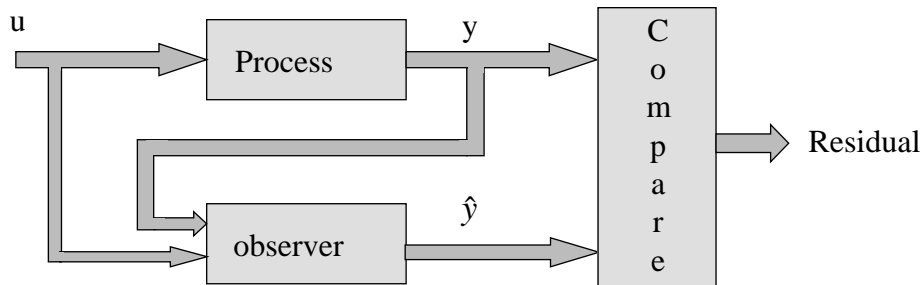
Conclusion

- L'erreur de reconstruction n'est pas nulle: car les CI de l'observateur est choisi arbitrairement et celui du système inconnu
- Comment annuler l'erreur : On ne peut agir que sur K : choisir alors K pour stabiliser la matrice A-KC assurant la convergence vers zéro de l'erreur
- Techniques utilisées : Placement de pôles permet de fixer la vitesse de convergence en ajustant les coefficient de K (voir sur Matlab les instructions *place* et *acker*)

L'idée du diagnostic par observateur

- ➲ Impossible de générer l'erreur d'estimation : car état réel n'existe pas
- ➲ L'erreur de reconstruction de la sortie y peut être calculée car on suppose qu'il existe un capteur à la sortie

General principle

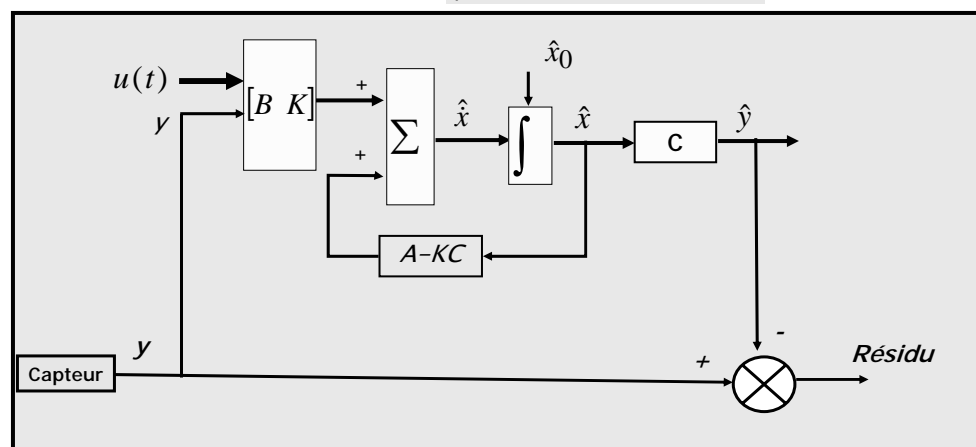


9

Comment génération les résidus ?

1. Par simulation

$$\begin{cases} \hat{x}(t) = (A - KC)\hat{x}(t) + [B \ K] \begin{pmatrix} u(t) \\ y(t) \end{pmatrix} \\ \hat{y} = C\hat{x}(t) \end{cases}$$



Calcul du résidu en Z

⌚ 1. Transformée en z

➤ D'une part

$$z\hat{x} = A\hat{x} + Bu + K(y - C\hat{x}) \Rightarrow z\hat{x} - A\hat{x} + KC\hat{x} = Bu + Ky \Rightarrow \hat{x} = [zI - (A - KC)]^{-1} \cdot (Bu + Ky)$$

➤ D'autre part on a :

$$\hat{y} = C\hat{x} = C[zI - (A - KC)]^{-1} \cdot (Bu + Ky)$$

➤ Alors le résidu sera :

$$r(z) = y - \hat{y} = y - C[zI - (A - KC)]^{-1} \cdot (Ky + Bu)$$

Calcul du résidu en p

⌚ 2. En transformée de Laplace p

➤ D'une part

$$\begin{cases} \dot{x}(t) = Ax(t) + Bu(t) \\ y = Cx(t) \end{cases} \quad t=0 \Rightarrow x(0) = x_0 \quad \xrightarrow{\mathcal{L}} \quad \begin{cases} X(p)[pI - A] = BU(p) + x_0 \\ Y(p) = CX(p) \end{cases}$$

$\hookrightarrow \quad Y(p) = C[pI - A]^{-1} (BU(p) + x_0) \quad (1)$

➤ D'autre part on a :

$$\begin{cases} \hat{x}(t) = A\hat{x}(t) + Bu(t) + K[y(t) - C\hat{x}(t)] \\ \hat{y} = C\hat{x}(t) \end{cases} \quad \xrightarrow{\mathcal{L}} \quad \hat{Y}(p) = C[pI - A + KC]^{-1} (BU(p) + KY(p) + \hat{x}_0) \quad (2)$$

➤ Alors le résidu sera (1)-(2) :

$$Y(p) - \hat{Y}(p) = \tilde{Y}(p) = [I - C(pI - A + KC)^{-1} K]^{-1} * [C(pI - A)^{-1} \cdot (BU(p) + x_0) - C(pI - A + KC)^{-1} * (BU(p) + \hat{x}_0)]$$

Analyse du résidu : convergence de l'observateur et sensibilité du résidu aux bruits

➤ Après quelques simplifications, les termes en U disparaissent:

$$Y - \hat{Y}(p) = \tilde{Y}(p) = (I - C(pI - A + KC)^{-1} \cdot K) * C(pI - A)^{-1} x_0 - C(pI - A + KC)^{-1} \hat{x}_0$$

➤ Pour simplifier encore cette expression, on utilise le lemme d'inversion de matrice

$$(P + UV)^{-1} = P^{-1} - P^{-1}U(I + VP^{-1}U)^{-1}VP^{-1}$$

➤ Le résidu sera alors :

$$r(p) = Y - \hat{Y}(p) = C(pI - A + KC)^{-1}(x_0 - \hat{x}_0)$$

⌚ Analyse de r(p)

➤ 1. L'erreur de reconstruction de la sortie dépend de l'erreur d'estimation des CI

➤ 2. Dilemme convergence de l'observateur et sensibilité du résidu aux bruits :

- Choisir le gain K de façon que l'erreur converge rapidement (en imposant des valeurs propres de la matrice très faible)
- Mais si K augmente trop, le résidu sensible aux bruits aléatoires

Exemple

⌚ Cas simple monovariable

$$\begin{cases} \dot{x}(t) = -2x(t) + u(t) & t=0, x(0) = x_0 \\ y = 4x(t) \end{cases} \Rightarrow \begin{cases} \dot{\hat{x}}(t) = -2\hat{x}(t) + u(t) + K[y(t) - 4\hat{x}(t)] & t=0, \hat{x}(0) = \hat{x}_0 \\ \hat{y} = 4\hat{x}(t) \end{cases}$$

$$\xrightarrow{} \frac{d(x - \hat{x})}{dt} = \dot{x} - \dot{\hat{x}} = \tilde{x} = -2(x - \hat{x}) - KC(x - \hat{x}) = (-2 - 4K)(x - \hat{x})$$

$$\xrightarrow{} \varepsilon(t) = x - \hat{x} \quad \xrightarrow{} \frac{d\varepsilon(t)}{dt} = (-2 - 4K)\varepsilon(t)$$

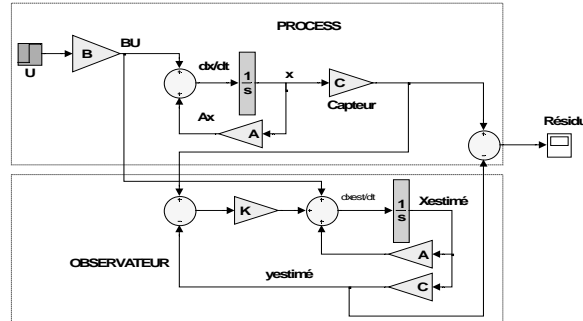
$$\xrightarrow{\mathcal{L}} \varepsilon(p) = \frac{\varepsilon_0}{(p + (2 + 4K))} \quad \xrightarrow{} \begin{cases} \varepsilon(t) = \varepsilon_0 e^{-\alpha t} \\ \alpha = 4k + 2 \end{cases}$$

⌚ Convergence de l'erreur

$$\alpha > 0 \Rightarrow 4k + 2 > 0 \Rightarrow k > -0,5$$

Simulation

$$\begin{cases} \hat{x}(t) = 2\hat{x}(t) + u(t) + K[y(t) - 4\hat{x}(t)] \\ \hat{y} = 4\hat{x}(t) \end{cases} \quad t=0, \hat{x}(0) = \hat{x}_0$$



Pro. B. Ould Bouamama

Chap4/ 15

Exemple 2

Soit le système dont seul la sortie est mesurée

$$\begin{cases} zx = Ax + Bu \\ y = Cx \end{cases} \quad A = \begin{bmatrix} 0.1 & 0 \\ 2 & 0.5 \end{bmatrix}, \quad B = \begin{bmatrix} 1 \\ 0 \end{bmatrix}, \quad C = I, \quad y = \begin{bmatrix} y_1 \\ y_2 \end{bmatrix} \quad \Rightarrow \quad \begin{cases} zx_1 = 0.1x_1 + u \\ zx_2 = 2x_1 + 0.5x_2 \\ y_1 = x_1 \\ y_2 = x_2 \end{cases}$$

1. On reconstruit l'état du système x par une estimation

2. Comment ? : on va corriger cet estimation par l'adjonction de l'erreur sur la mesure d'estimation sur la mesure par l'équation $K(y - C\hat{x})$

$$z\hat{x} = A\hat{x} + Bu + K(y - C\hat{x})$$

2. Équation dynamique de l'erreur d'estimation $\varepsilon = x - \hat{x}$

$$z\varepsilon = (A - KC)\varepsilon$$

3. Convergence de cette erreur $\varepsilon \rightarrow 0$

Trouver une matrice K telle que $A - KC$ soit stable (racines dans le cercle unité)

Pro. B. Ould Bouamama

Chap4/ 16

Exemple 2/3

⇒ Expression des résidus $r(z)$

$$z\hat{x} = A\hat{x} + Bu + K(y - \hat{y}) \Rightarrow z\hat{x} - A\hat{x} + KC\hat{x} = Bu + Ky \quad \Rightarrow \quad \hat{x} = [zI - (A - KC)]^{-1} * (Bu + Ky)$$

↳ $\hat{y} = C\hat{x} = C[zI - (A - KC)]^{-1} * (Bu + Ky) \Rightarrow r(z) = y - \hat{y} = y - C[zI - (A - KC)]^{-1} * (Ky + Bu)$

⇒ Application numérique

➤ Choix de K pour assurer la convergence

$$z\varepsilon = (A - KC)\varepsilon$$

⇒ 1. Dead Beat Observer (à réponse pile)

$$z\varepsilon = (A - KC)\varepsilon \quad \xrightarrow{\hspace{1cm}} \quad (A - KC) = 0 \quad \text{2 pôles à l'origine}$$

$$C = I \Rightarrow K = A \quad \xrightarrow{\hspace{1cm}}$$

$$r(z) = y - C[zI - (A - KC)]^{-1} * (Ky + Bu) \quad \xrightarrow{\hspace{1cm}} \quad C = I \quad K = A \quad \xrightarrow{\hspace{1cm}} \quad zr(z) = (zI - A)y(z) - Bu$$

En remplaçant A et B par leur valeurs :

$$\begin{bmatrix} zr_1(z) \\ zr_2(z) \end{bmatrix} = \begin{pmatrix} (z - 0.1) & 0 \\ -2 & (z - 0.5) \end{pmatrix} * \begin{bmatrix} y_1 \\ y_2 \end{bmatrix} - \begin{bmatrix} 1 \\ 0 \end{bmatrix} u(z) \quad \Rightarrow \quad zr_1(z) = (z - 0.1)y_1 - u(z)$$

$$\begin{bmatrix} r_1(z) \\ r_2(z) \end{bmatrix} = \begin{bmatrix} y_1 - 0.1y_1 - z^{-1}u(z) \\ y_2 - z^{-1} \cdot 0.5 \cdot y_2 - z^{-1} \cdot 2y_1 \end{bmatrix}$$

⌚ Observateur quelconque

➤ On impose une dynamique au système bouclé.

$$A_0 = (A - KC) = \begin{pmatrix} 0.05 & 0 \\ 0 & 0.1 \end{pmatrix}$$

➤ Puis on détermine alors le gain K de l'observateur permettant d'assurer cette dynamique

$$(A - KC) = \begin{pmatrix} 0.05 & 0 \\ 0 & 0.1 \end{pmatrix} \Rightarrow K = \begin{pmatrix} 0.05 & 0 \\ 2 & 0.4 \end{pmatrix}$$

➤ Ayant fixé K, on peut calculer les résidus

$$r(z) = y - C[(zI - (A - KC))^{-1}(Ky + Bu)] = y - I[(zI - (A - A_0))^{-1}(Ky + Bu)]$$

⌚ Expressions des résidus

$$\begin{bmatrix} r_1(z) \\ r_2(z) \end{bmatrix} = \begin{bmatrix} y_1 \\ y_2 \end{bmatrix} - \underbrace{\left[zI - \begin{pmatrix} 0.1 & 0 \\ 2 & 0.5 \end{pmatrix} + \begin{pmatrix} 0.05 & 0 \\ 0 & 0.1 \end{pmatrix} \right]^{-1}}_{\text{Matrice inversée}} * \underbrace{\left(\begin{pmatrix} 0.05 & 0 \\ 2 & 0.4 \end{pmatrix} \begin{bmatrix} y_1 \\ y_2 \end{bmatrix} + \begin{bmatrix} 1 \\ 0 \end{bmatrix} u \right)}_{\text{Matrice et vecteur}}$$

$$r(z) = y - C[(zI - (A - KC))^{-1}(Ky + Bu)]$$



$$r_1(z) = \frac{1}{(z - 0.05)} [(z - 0.1) * y_1(z) - u(z)]$$

$$r_2(z) = \frac{1}{(z - 0.1)} [-2y_1 + (z - 0.5)y_2]$$

Observateur de Luenberger Généralisé

➲ Soit donné le système :

$$\begin{cases} \dot{x}(t) = Ax(t) + Bu(t) + F_x d(t) + E_x e(t) \\ y = Cx(t) + Du(t) + F_y d(t) + E_y e(t) \\ x(0) = x_0 \end{cases} \quad (1)$$

$x \in \mathbb{R}^n, y \in \mathbb{R}^m, u \in \mathbb{R}^p,$
 A, B, C, D, F, E : matrice de dimensions appropriées

$X(t)$: état,
 $u(t)$: entrée
 $d(t)$: défauts
 $e(t)$: perturbations ou bruits

➲ 1. On veut estimer la sortie $y(t)$

➤ On utilise alors un observateur de gain K

$$\begin{cases} \dot{\hat{x}}(t) = A\hat{x}(t) + Bu(t) + K[y(t) - C\hat{x}(t) - Du(t)] \\ \hat{y} = C\hat{x}(t) + Du(t) \\ \hat{x}(0) = \hat{x}_0 \end{cases} \quad (2)$$

Erreurs d'estimation

➲ 2. Équations dynamiques des erreurs d'estimation

➤ On compare alors les équations (1) et (2)

$$\begin{cases} \frac{d(x - \hat{x})}{dt} = \frac{d\tilde{x}}{dt} = (A - KC)\tilde{x}(t) + F_x d(t) + E_x e(t) \\ \tilde{y} = y - \hat{y} = C\tilde{x}(t) + F_y d(t) + E_y e(t) \\ \tilde{x}(0) = \tilde{x}_0 \end{cases} \quad (3)$$

où :

$$F = F_x - KF_y, \quad E = E_x - KE_y$$

➲ 3. Transformée de Laplace de l'erreur de sortie

$$\tilde{y}(p) = G_d(p).d(p) + G_e(p).e(p) + G_0(p).\tilde{x}(p) \quad (4)$$

où :

$$G_d(p) = C[pI - A + KC]^{-1}(F_x - KF_y) + F_y$$

$$G_e(p) = C[pI - A + KC]^{-1}(E_x - KE_y) + E_y$$

$$G_0(p) = C[pI - A + KC]^{-1}$$

➲ Remarques :

- 1) : l'expression (4) montre que le résidu est sensible aux défauts (d), aux perturbations et bruits (e), mais aussi aux CI. L'observation converge vers 0 pour $t \rightarrow \infty$, on peut négliger les transitoires dues aux CI.
- 2) : si $d=0, e=0$, on obtient l'expression obtenue précédemment
- 3) : Le gain K de l'observateur influe de façon semblable sur d et e : Alors il est difficile de générer un résidu sensible aux défauts à détecter mais insensible aux perturbations
- 3) : L'analyse des matrices G permet de savoir si les composants de d sont isolables des autres

Différentes influences sur le résidu

➲ 1. Influence du bruit sur le résidu

- Soit $e(t)$ un bruit réalisation d'une variable aléatoire $\text{Esp}(e(t))=0$

$$\begin{cases} \dot{x}(t) = Ax(t) + Bu(t) \\ y = Cx(t) + Du(t) + E_y e(t) \\ x(0) = x_0 \end{cases}$$

Observateur

$$\begin{cases} \dot{\hat{x}}(t) = Ax(t) + Bu(t) + K(y - C\hat{x}(t)) \\ \hat{y} = C\hat{x}(t) + Du(t) + E_y e(t) \\ x(0) = x_0 \end{cases}$$

- Structure de l'observateur

- En utilisant les équations ci-dessus on obtient les expressions des erreurs de reconstruction

$$\dot{\tilde{x}}(t) = (A - KC)\tilde{x}(t) - Ke(t)$$

Fréquentiel

$$\tilde{x}(p) = (pI - A + KC)^{-1}(x_0 - \hat{x}_0 - Ke(p))$$

$$\tilde{y}(t) = C\tilde{x}(t) + e(t)$$

Fréquentiel

$$\tilde{y}(p) = C(pI - A + KC)^{-1}(x_0 - \hat{x}_0) + [I - C(pI - A + KC)^{-1}K]e(p)$$

Analyse

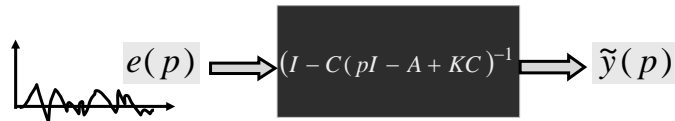
⇒ Négligeons d'abord l'influence des CI

- On obtient en négligeant les transitoires dues aux CI

$$\tilde{y}(p) = [I - C(pI - A + KC)^{-1} \cdot K] e(p)$$

$$\tilde{x}(p) = [(pI - A + KC)^{-1} K] e(p)$$

- On peut étudier l'influence du point de vue fréquentiel ou temporel l'influence de e sur le résidu ou sur la reconstruction de l'état



- Exemple : chercher un gain de réglage K , en plaçant la pulsation de coupure du filtre tel que l'influence du bruit $e(j\omega)$ soit réduite

- Autre application : Choix du seuil d'alarmes du résidu

- Soit données les hypothéses statistiques du bruit :

$$\begin{cases} \text{Esp}(e(t)) = 0 \\ \text{Var}(e(t)) = V_0 \end{cases}$$

- Examinons

$$\dot{\tilde{x}}(t) = (A - KC)\tilde{x}(t) - Ke(t)$$



Si $e(t)$ est à valeur moyenne nulle, il en est de même pour \tilde{x}

- Appliquons l'équation de propagation de la variance

$$\dot{x}(t) = Ax(t) + BW(t) \Leftrightarrow \dot{V}_x(t) = AV_x(t) + V_x(t)A^T + BV_W(t)B^T$$

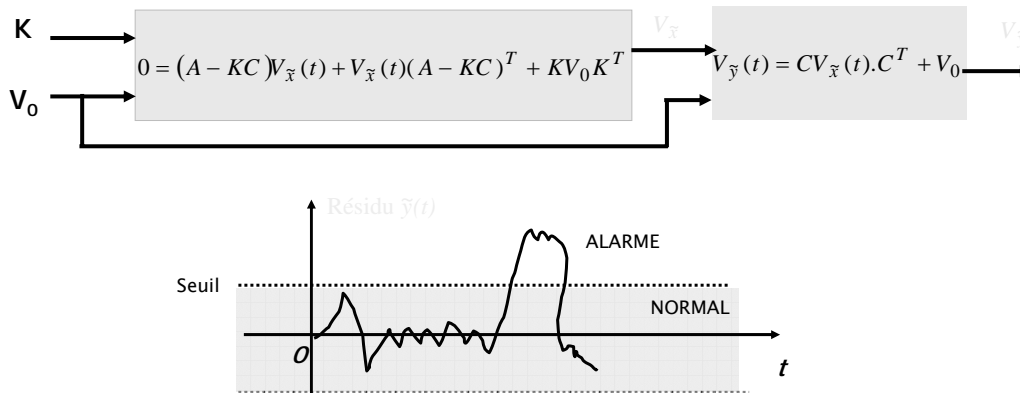
- On aura :

$$\dot{V}_{\tilde{x}}(t) = (A - KC)V_{\tilde{x}}(t) + V_{\tilde{x}}(t)(A - KC)^T + KV_0K^T$$

$$V_{\tilde{y}}(t) = CV_{\tilde{x}}(t)C^T + V_0$$

⌚ Calcul en régime stationnaire des seuils d'alarme

- Déterminer un seuil dans la procédure de décision de la présence de fautes en fonction de la variance de y au delà duquel le résidu pourra être considéré nul (il y a réellement alarme)



Pro. B. Ould Bouamama

Chap4/ 27

2. Influence d'une erreur de modélisation

⌚ Problématique

- En pratique existe toujours une erreur de modélisation
- Observateur construit à partir du modèle alors la sortie reconstruite est sensible aux erreurs de modélisation
- Le diagnostic se base sur l'écart entre sortie reconstruite et réelle
 - Difficile de séparer erreurs dues à la modélisation et celles dues aux fautes

⌚ But

- Construire un observateur sensible aux défauts et peu sensible aux erreurs de modélisation

Pro. B. Ould Bouamama

Chap4/ 28

Développement

⌚ Modèle d'état incertain

- On se limite à une erreur sur A

$$\begin{cases} \dot{x}(t) = (A + \delta A)x(t) + Bu(t) \\ y = Cx(t) \\ x(0) = x_0 \end{cases}$$



Traduit l'apparition d'une perturbation δA sur le système

⌚ Estimation de l'état calé sur A

$$\begin{cases} \dot{\hat{x}}(t) = A\hat{x}(t) + Bu(t) + K(y(t) - C\hat{x}(t)) \\ y = C\hat{x}(t) \\ \hat{x}(0) = \hat{x}_0 \end{cases}$$



Représente un observateur calé sur le système nominal

- Cet observateur doit alors détecter, au travers de l'erreur de reconstruction de la sortie, la perturbation du système δA

⌚ Hypothèses sur l'erreur

- Bornée c.à.d. légère imprécision du modèle sur les coefficients

⌚ Problème à résoudre : générer des résidus

- 1. peu sensibles à δA
- 2. avec un maximum de sensibilité vis-à-vis des fautes

⌚1. Influence des variations δA sur les résidus

➤ Et comment ne pas prendre en compte les imprécisions dans le résidu

➤ Erreurs d'estimation (des équations précédentes) :

$$\begin{aligned} \tilde{x}(t) &= x(t) - \hat{x}(t) \implies \frac{d(\tilde{x}(t))}{dt} = (A - KC)\tilde{x}(t) + \delta Ax(t) \\ \tilde{x}(0) &= x_0 - \hat{x}_0 \end{aligned}$$



L'erreur de reconstruction est sensible aux imprécisions δA et à l'état $x(t)$ (qui n'est pas éliminée ici)

➤ Domaine fréquentiel

$$\begin{cases} \tilde{x}(p) = (pI - A + KC)^{-1}(x_0 - \hat{x}_0) + (pI - A + KC)^{-1}\delta Ax(p) \\ \tilde{y}(p) = C(pI - A + KC)^{-1}(x_0 - \hat{x}_0) + C(pI - A + KC)^{-1}\delta Ax(p) \end{cases}$$

⌚Influence de l'entrée u sur le résidu

➤ Pour $C\mathbf{I}=0$, et en remplaçant $x(p)$ par son expression on aura :

$$\tilde{y}(p) = C(pI - A + KC)^{-1}\delta A[pI - A + KC]^{-1}B.u(p)$$

➤ Ainsi le résidu dépend de u et de δA

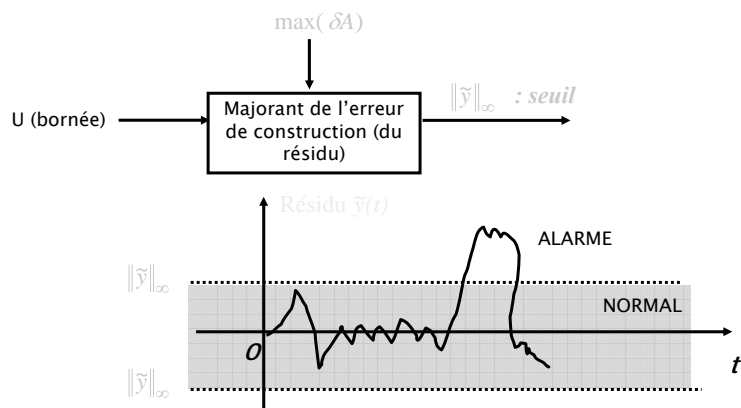
- On exploite cette propriété pour distinguer sur le résidu les influences des défauts et des incertitudes

➤ Comment ? :

- Comme δA est inconnu, on exprime l'erreur de construction en fonction de ce qu'on lui applique u pour $\max(\delta A)$
- On va alors chercher une majoration de l'erreur de construction si u est bornée :

$$\|\tilde{y}\|_{\infty} \leq \max_{\delta A} \|C(j\omega I - A + KC)^{-1}\delta A(j\omega I - A + KC)^{-1}B\| \|u(t)\|_{\infty}$$

⌚ Schéma de décision



1. Si la valeur du résidu est en deçà du seuil : alors diagnostic réservé car l'erreur est peut être due aux incertitudes
2. Au-delà de ce seuil l'amplitude du résidu témoigne de la présence d'une faute distincte des erreurs du modèle

Observateurs à entrées inconnues

⌚ Problématique

- Modèles où la sortie des actionneurs n'est pas mesurées
- L'évaluation des RRAs nécessite la connaissance des mesures et des entrées
- Alors : on utilise observateurs à entrées inconnues (UIO : Unknown Input Observers)

⌚ Principe

- Soit un système avec des entrées connues $u(t)$ et inconnues $\bar{u}(t)$

Soit le système à entrée inconnue

$$\begin{cases} \dot{x}(t) = Ax(t) + Bu(t) + F\bar{u}(t) \\ y = Cx(t) \end{cases}$$

u: Connue

\bar{u} : inconnue

soit une variable intermédiaire : $z(t) = T\hat{x}(t)$

➤ Considérons alors l'observateur :

$$\begin{cases} \dot{z}(t) = Nx(t) + Gu(t) + Ky(t) \\ \hat{x}(t) = z(t) - Ey(t) \end{cases}$$

➤ L'erreur de reconstruction sera alors :

$$\tilde{x}(t) = x(t) - \hat{x}(t) = x(t) - z(t) + Ey(t) = x(t) - z(t) + ECx(t) \implies \tilde{x}(t) = (I + EC)x(t) - z(t)$$

➤ Et sa dérivée

$$\dot{\tilde{x}}(t) = (I + EC)(Ax(t) + Bu(t) + F\bar{u}(t)) - Nz(t) + Gu(t) + Ky(t)$$



$$P = I + EC \implies$$

$$\dot{\tilde{x}}(t) = N\tilde{x}(t) + (PA - NP - KC)x(t) + (PB - G)u(t) + PF\bar{u}(t)$$

L'erreur de reconstruction de l'état du UIO

$$\tilde{x}(t) = N\tilde{x}(t) + (PA - NP - KC)x(t) + (PB - G)u(t) + PF\bar{u}(t)$$

But est d'avoir

$$\dot{\tilde{x}}(t) = N\tilde{x}(t)$$

$$\tilde{y} = C\tilde{x}(t)$$

➤ Cette reconstruction tend alors asymptotiquement vers zéro si :

$$\left\{ \begin{array}{l} P = I + EC \\ KC = PA - NP \\ G = PB \\ PF = 0 \\ N \text{ stable} \end{array} \right.$$

$$F + ECF = 0 \Rightarrow E = -F(CF)^{-1}$$

$$\left\{ \begin{array}{l} P = I + F(CF)^{-1}C \\ G = PB \\ N = PA - KC \\ L = K - NE \\ N \text{ stable} \end{array} \right.$$



➤ Procédure de calcul du UIO

- Calcul de l'inverse généralisée de CF
- Déduire P, puis G
- On fixe les pôles de N, on déduit K puis N
- On calcule L

→ L'entrée inconnue n'intervient pas dans l'expression du résidu

Estimation de l'entrée inconnue

➲ L'équation du système initial :

$$\begin{cases} \dot{x}(t) = Ax(t) + Bu(t) + F\bar{u}(t) \\ y = Cx(t) \end{cases}$$

u : Connue
\bar{u} : inconnue

➲ Si $(CF)^{-1}$ existe, on aura

$$\bar{u}(t) = (CF)^{-1} \left(\frac{dy(t)}{dt} - CAx(t) - CBu(t) \right)$$



Different UIO schemes

SOS : Simplified Observer Scheme

Only one UIO

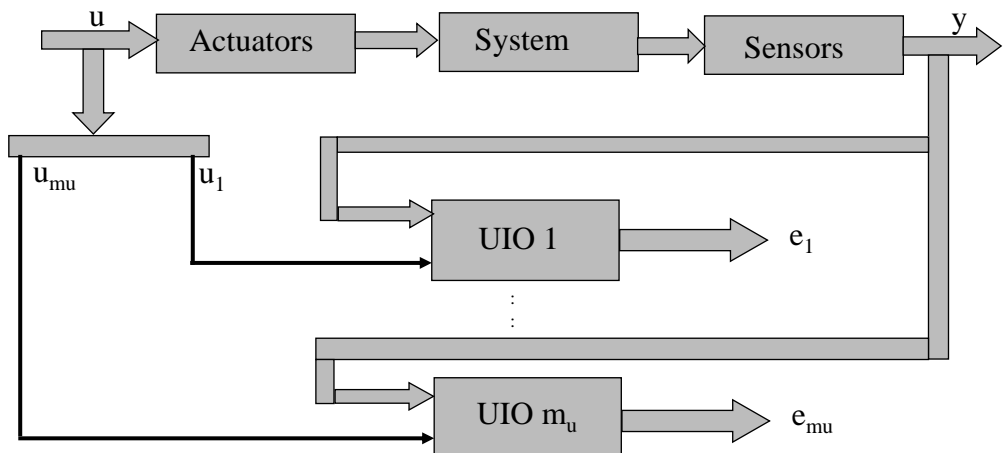
Allows to detect faults. No isolation possibilities

DOS : Dedicated Observer Scheme

Bank of UIO

Each observer is sensitive to one fault (diagonal structure)

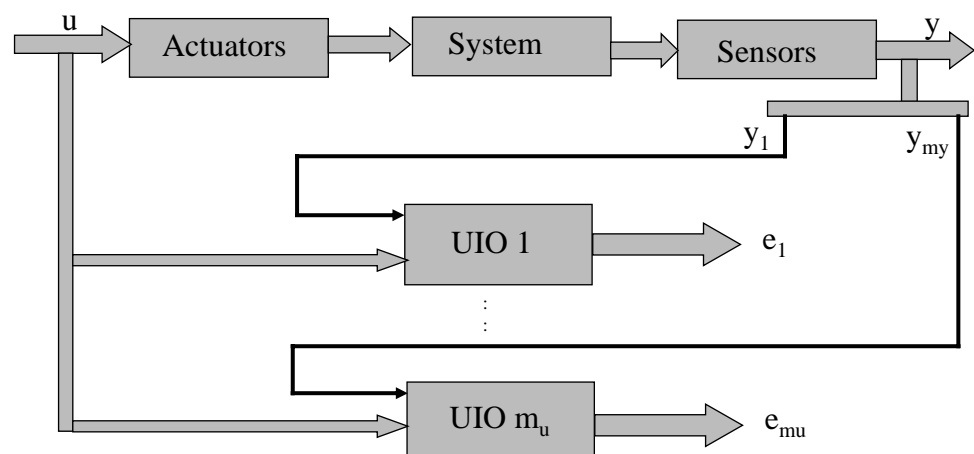
D.O.S w.r.t. actuators



Diagonal structure w.r.t. actuator faults

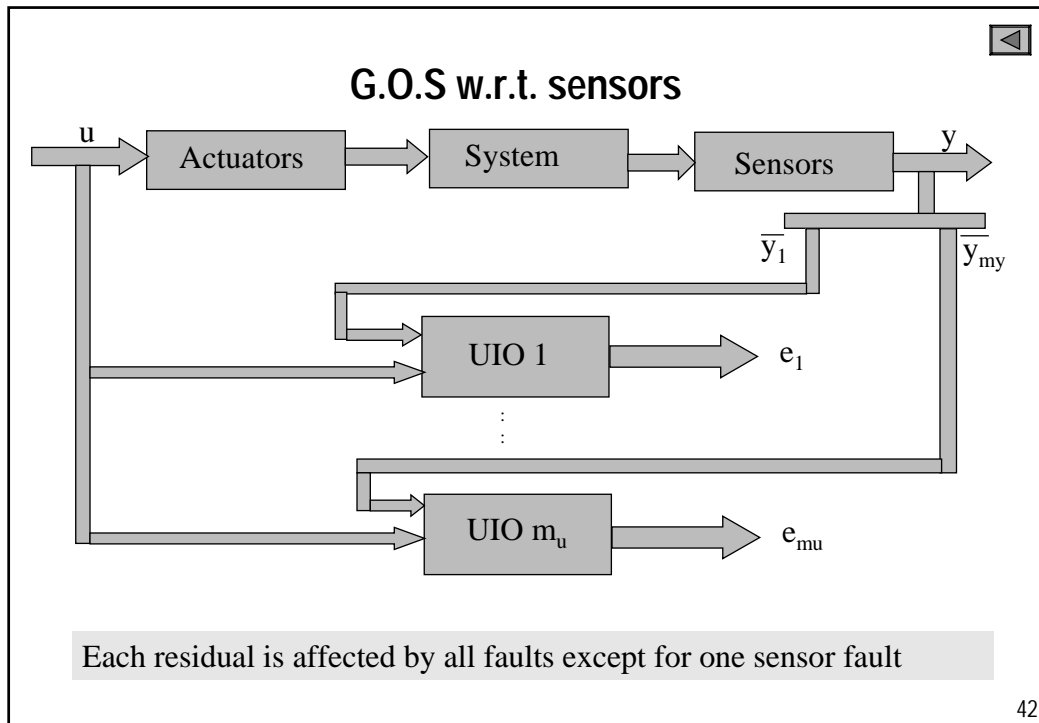
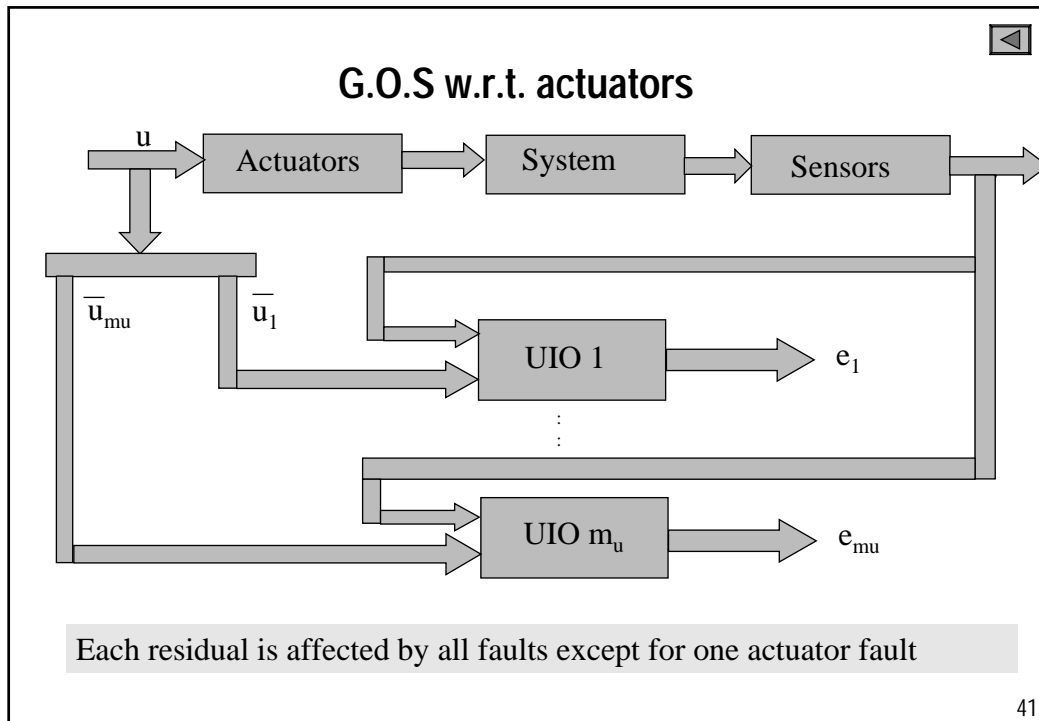
39

D.O.S w.r.t. sensors



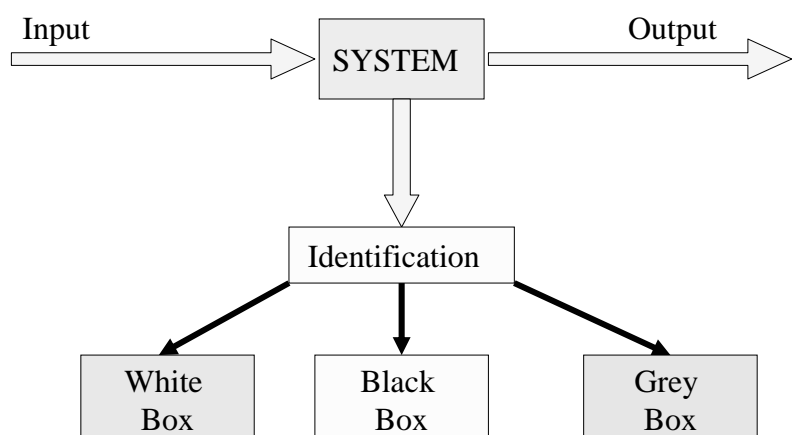
Diagonal structure w.r.t. sensors faults

40



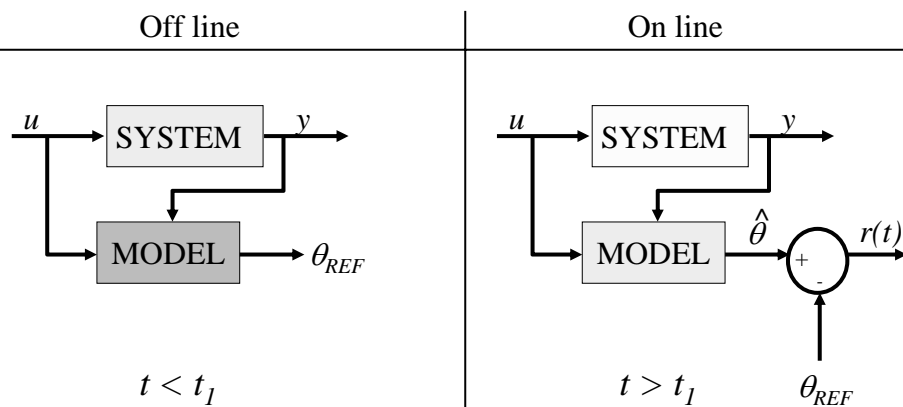
Identification based approach

Identification based approach





Identification-based Residual



Extension to nonlinear systems

- ➡ All approaches can be extended
- ➡ Much more complex (mathematical tools)
- ➡ No general theory : depends on the kind of non-linearities, the structure of the model, ...

Non linear parity space approach

Parity space approach ➡ Elimination problem

General principle

1) Write the output equation on a given time window

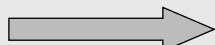
$$\begin{array}{c} \rightarrow \\ \left\{ \begin{array}{l} y - g_o(\xi, u, \theta) = 0 \\ \vdots \\ y^{(p)} - g_p(\xi, u^{(p)}, \theta) = 0 \end{array} \right. \end{array}$$

2) Eliminate ξ in this system using
formal elimination software

- Elimination theory
- Grobner Bases
- Characteristic sets

Non linear observer-based approach



Observer based approach  No general theory

2 kinds of approaches :

1) Initial transformation of the system model

⇒ *exact linearization via output injection*

⇒ *decomposition of the system into subsystems
with robustness properties*

2) Direct implementation of a nonlinear observer

CHAP 5:
BOND GRAPH
FOR FDI DESIGN

Chap6/ 1

PLAN

- ⦿ **INTRODUCTION**
- ⦿ **RESIDUAL GENERATION USING BOND GRAPH**
- ⦿ **RESIDUAL AND MODEL BUILDER USING SYMBOLS**
- SOFTWARE**
- ⦿ **ONLINE INDUSTRIAL APPLICATION**
- ⦿ **CONCLUSIONS AND DISCUSSION**

PART 1

INTRODUCTION

- ⦿ RESIDUAL GENERATION USING BOND GRAPH
- ⦿ RESIDUAL AND MODEL BUILDER USING SYMBOLS SOFTWARE
- ⦿ ONLINE INDUSTRIAL APPLICATION
- ⦿ CONCLUSIONS AND DISCUSSION

Belkacem Ould Bouamama. Damadics Vacation Scholl, Liille, 9-11 april.

Cha
p61
3

Issues

⦿ MODELLING

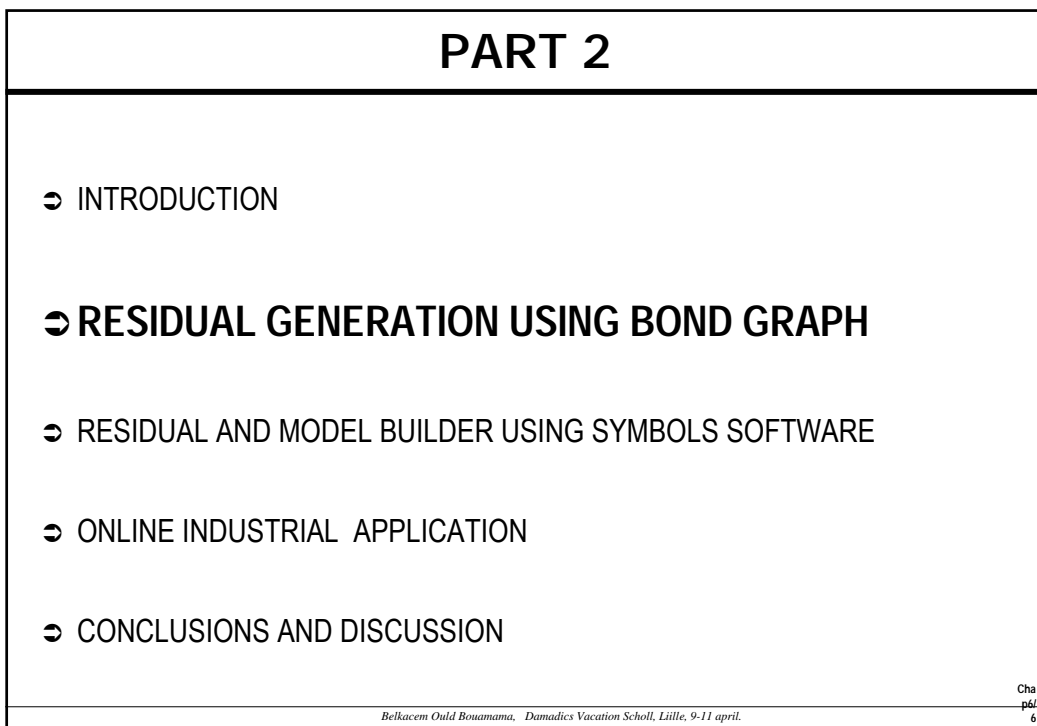
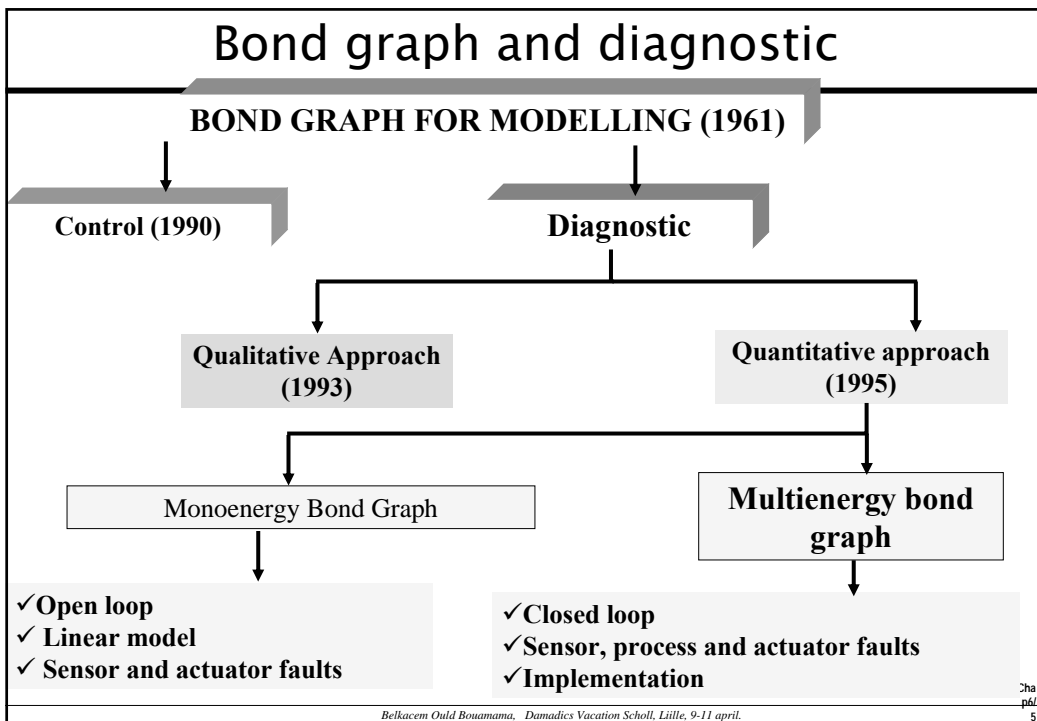
- ◻ Modelling step is most important in FDI design
- ◻ obtaining the model is a difficult task
- ◻ The constraints are not deduced in a systematic way
- ◻ It is not trivial in the real systems to write the model under a "beautiful" form $x=f(x,u,\theta)$.

⦿ RESIDUAL GENERATION

- ◻ Eliminate the unknowns : analytic redundancy approach
 - Existing methodology : parity space for linear, elimination theory (constraints under polynomial forms)
- ◻ Variables to be considered : all quantities constrained by the system components (process, actuators, sensors, algorithms)
- ⦿ How to generate directly from the process ARRs and models : Bond graph tool well suited because of its causal and structural properties.

Belkacem Ould Bouamama. Damadics Vacation Scholl, Liille, 9-11 april.

Cha
p61
4

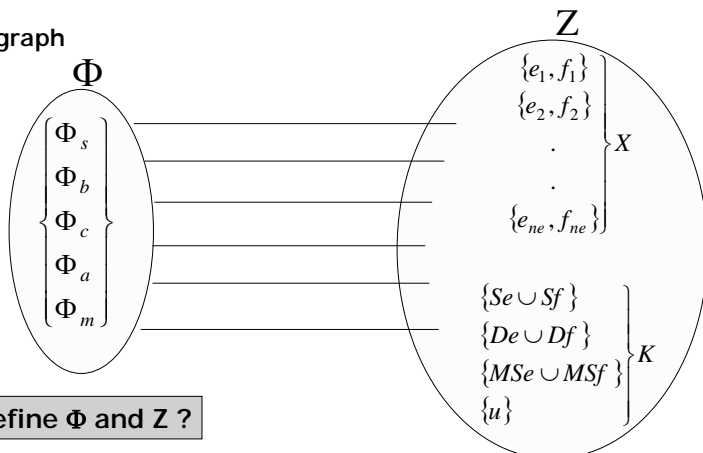


2.1. Bi-partite graph representation and bond graph interpretation

State equations $\dot{x} = F(x(t), u(t), \Theta) \quad Z = \{x\} \cup \{u\} \cup \{y\}$
 $y = c(x)$

Structural description $S = S(\Phi, Z, \Theta)$

Bi-partite graph



How to define Φ and Z ?

Belkacem Ould Bouamama, Damadics Vacation Scholl, Lille, 9-11 april.

Chap6
7

A) Constraints (1/2)

☒ **Structural equations Φ_S** : Informations about the structure

$$\Phi_s = [\{\Phi_{j0}\} \cup \{\Phi_{j1}\} \cup \{\Phi_{TF}\} \cup \{\Phi_{GY}\}], \quad \Phi_S \in R^{nj} \implies nj \text{ is the number of junctions}$$

☒ **Behavioral equations Φ_b** : Informations about the behavior

$$\Phi_b = \{\Phi_R\} \cup \{\Phi_C\} \cup \{\Phi_I\} \cup \{\Phi_{RS}\} \implies \begin{aligned} Ncs &: \text{is the number of simple components} \\ \Phi_b \in \Re^{Ne * Ncm + Ncs} & \\ Ncm &: \text{Nbre of multiport components} \\ Ne &: \text{nbre of energies, (Ne=2),} \end{aligned}$$

☒ **Measurement equations Φ_m**

$$\Phi_m = [\{\Phi_{De}\} \cup \{\Phi_{Df}\}], \quad \Phi_m \in R^{ns} \implies ns \text{ is the number of sensors}$$

Belkacem Ould Bouamama, Damadics Vacation Scholl, Lille, 9-11 april.

Chap6
8

A) Constraints (2/2)

☒ Control algorithm equations Φ_c

$$\Phi_c = [\{\Phi_{c1}\} \cup \{\Phi_{c2}\} \cup \dots \{\Phi_{nc}\}], \quad \Phi_c \in R^{nc} \Rightarrow \text{nc is the number of controllers}$$

☒ Controlled sources equations Φ_a

$$\Phi_a = \left\{ \Phi_{MSf_1} \right\} \cup \left\{ \Phi_{MSf_2} \right\} \cup \dots \left\{ \Phi_{MSf_j} \right\} \cup \dots \left\{ \Phi_{MSe_{na}} \right\}, \quad \Phi_a \in R^{na} \implies \text{na is the number of controlled sources}$$

$$\Phi \in R^{nj+ne+ns+nc+n_a}$$

Belkacem Ould Bouamama, Damadics Vacation Scholl, Lille, 9-11 april

Chap 6/
9

1

B) Variables

☒ USED VARIABLES: $Z = X \cup K$

- Unknown variables X

$$X(t) = \left[\{e_1(t), f_1(t)\} \cup \{e_2(t), f_2(t)\} \dots \cup \{e_{ne}(t), f_{ne}(t)\} \right] \Rightarrow \text{ne is the nbre of elements}$$

$$X(t) \in \Re^{2*Ne*Ncm + 2*Ncs}$$

- Known variables K

$$K = \{MSe\} \cup \{MSf\} \cup \{Sf\} \cup \{Se\} \cup \{De\} \cup \{Df\} \cup \{u\}, \quad K \in R^{na+nc+ns}$$


na is the number of actuators
nc is the number of controllers
ns is the number of sensors
 $Z \in R^{na + nc + ns + 2.ne}$

na is the number of actuators

nc is the number of controllers

ns is the number of sensors

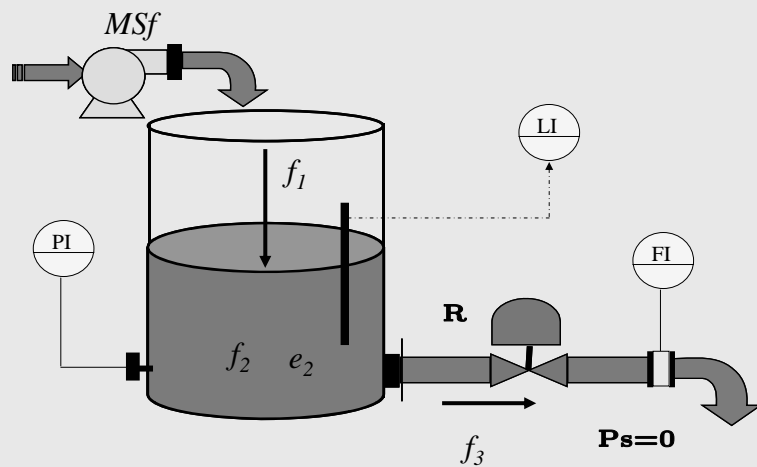
$$Z \in R^{na+nc+ns+2.ne}$$

Digitized by srujanika@gmail.com

p61

361

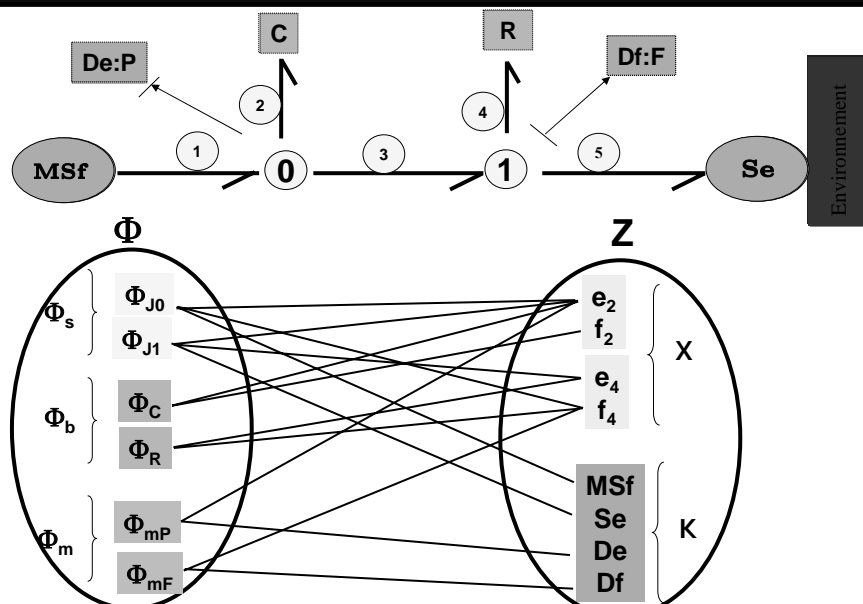
2.2. Hydraulic academic example



Belkacem Ould Bouamama, Damadics Vacation Scholl, Lille, 9-11 april.

ha
p6/
11

2.2.1. Bond graph model



Belkacem Ould Bouamama, Damadics Vacation Scholl, Lille, 9-11 april.

Ch
p6/
12

2.2.2. ARRs generation matching and incidence matrix

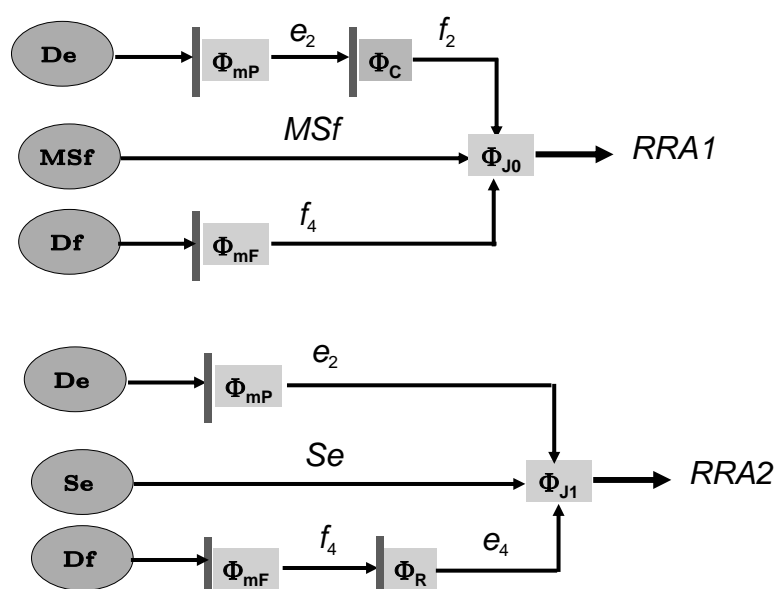
	X				K			
	f_2	e_2	f_4	e_4	MSf	Se	De	Df
Φ_{J0}	1	0	1	0	1	0	0	0
Φ_{J1}	0	1	0	1	0	1	0	0
Φ_C	1	1	0	0	0	0	0	0
Φ_R	0	0	1	1	0	0	0	0
Φ_{mP}	0	1	0	0	0	0	1	0
Φ_{mF}	0	0	1	0	0	0	0	1

Causal matching w.r.t all unknown variables but not w.r.t all the constraints

Belkacem Ould Bouamama, Damadics Vacation School, Lille, 9-11 april.

Chap6
13

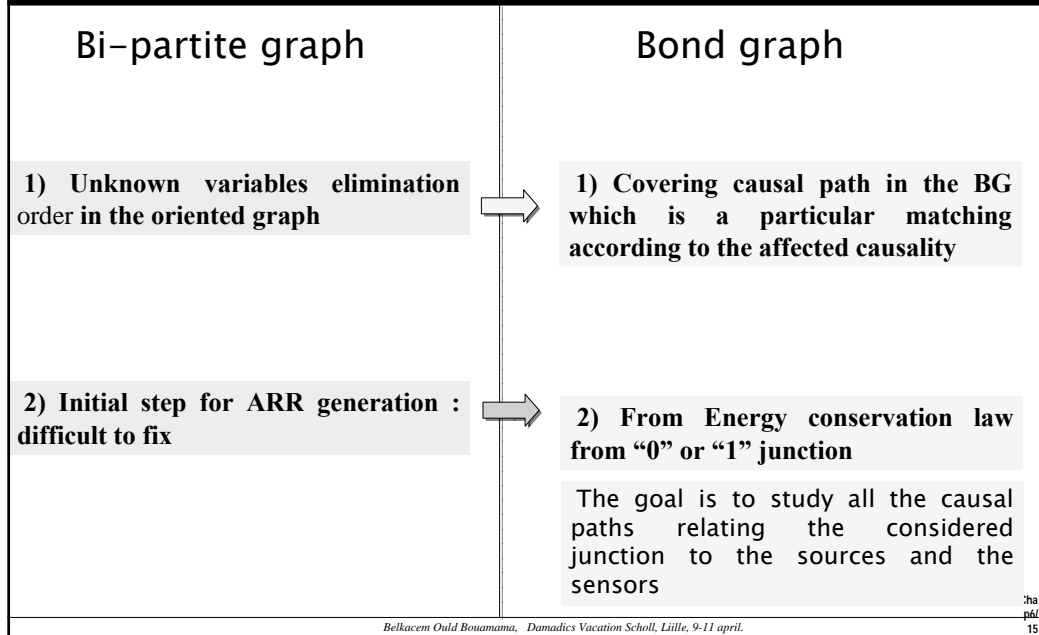
2.2.3. Oriented graph associated with a matching



Belkacem Ould Bouamama, Damadics Vacation School, Lille, 9-11 april.

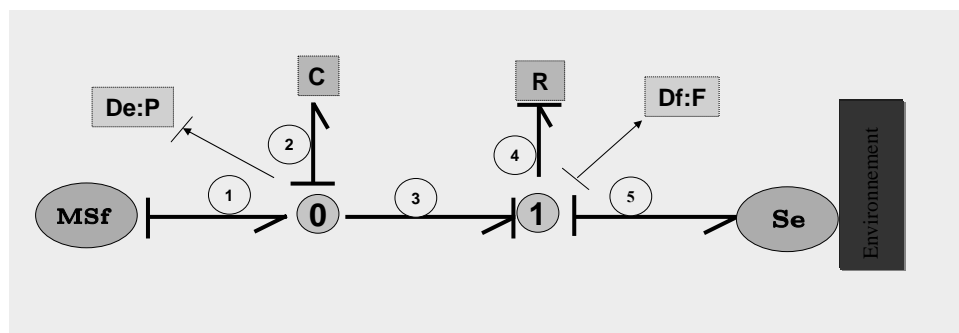
Chap6
14

2.2.4. ARRS generation : Bi-partite graph and BG approach



2.2.5. ARRS generation using BG approach (1/2)

A) Bond graph model in integral causality

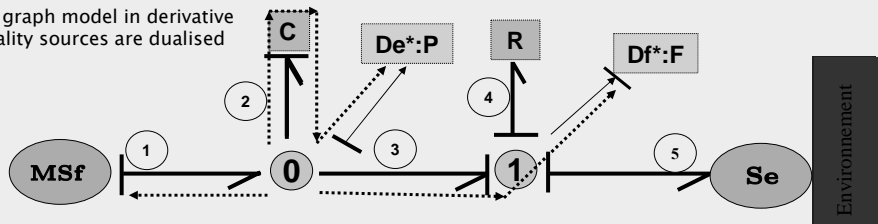


Belkacem Ould Bouamama, Damadics Vacation Scholl, Lille, 9-11 april.

Chap 6
16

2.2.5. ARRS generation using BG approach (2/2)

Bond graph model in derivative causality sources are dualised



$$\Phi_{J0} : f_1 - f_3 - f_2 = De^* = 0 \rightarrow X = \{f_1, f_3, f_2\}?$$

$$f_1? \rightarrow 1-MSf \rightarrow f_1 = MSf$$

$$f_2? \rightarrow 2-C-2-De \rightarrow f_2 = \Phi_c(d(De)/dt)$$

$$f_3? \rightarrow 3-Df \rightarrow f_3 = Df$$

$$\text{ARR1: } MSf - Df - \Phi_c(d(De)/dt)$$

$$\Phi_{J1} : e_3 - e_4 - e_5 = Df^* = 0 \rightarrow X = \{e_3, e_4, e_5\}?$$

$$e_3? \rightarrow 3-De \rightarrow e_3 = De$$

$$e_5? \rightarrow 5-Se \rightarrow e_5 = Se$$

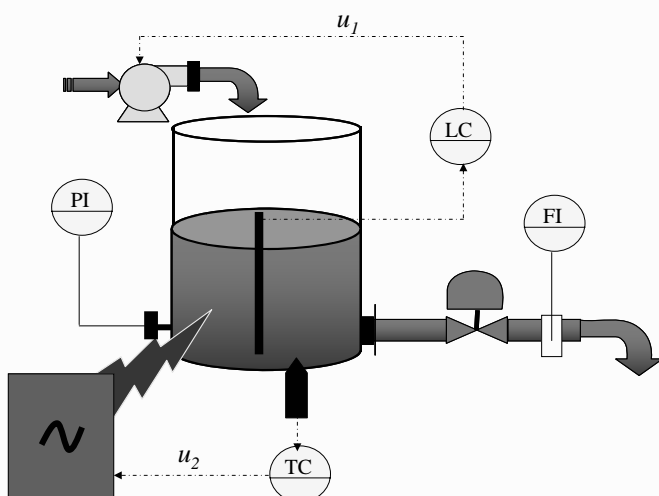
$$e_4? \rightarrow 4-R-4-Df \rightarrow e_4 = \Phi_R(Df)$$

$$\text{ARR2: } De - Se - \Phi_R(Df)$$

Belkacem Ould Bouamama, Damadics Vacation Scholl, Lille, 9-11 april.

Chap6
17

2.3. Thermofluid process

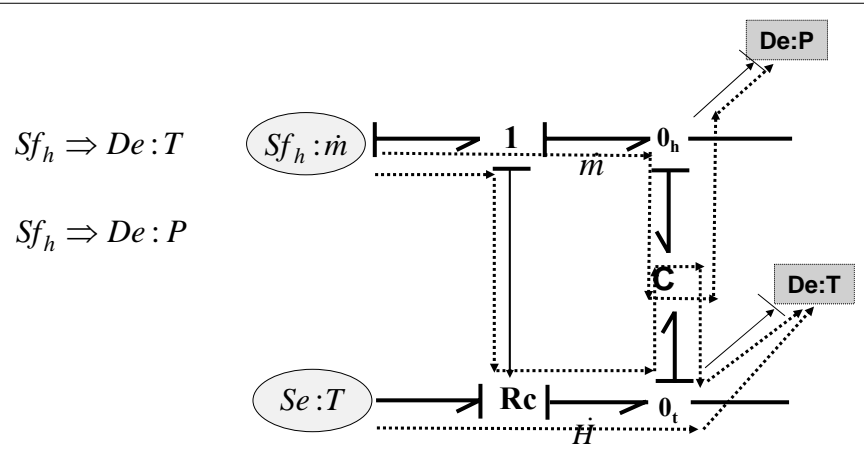


Belkacem Ould Bouamama, Damadics Vacation Scholl, Lille, 9-11 april.

Chap6
18

2.3.1. Generalized causal path

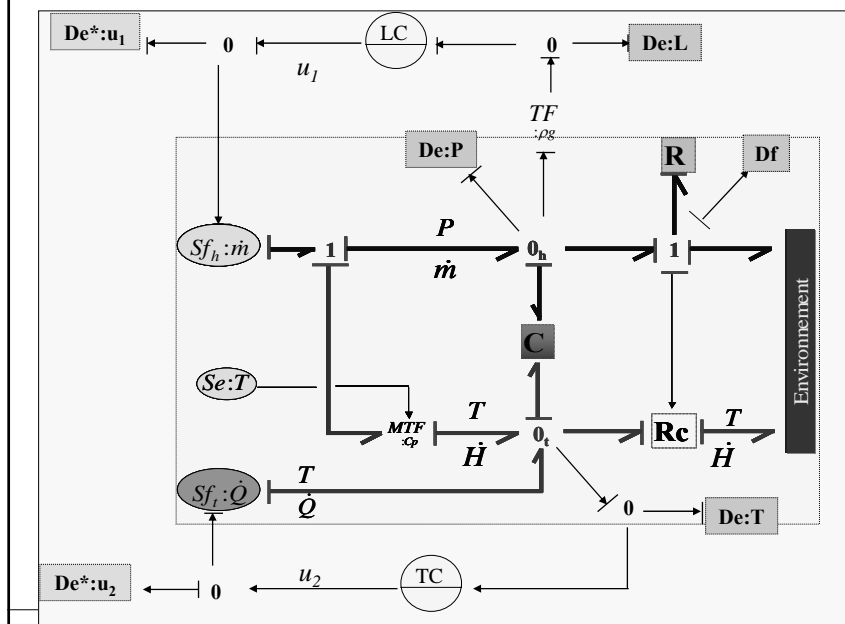
It is a causal path that can follow power links or informational links, or both.



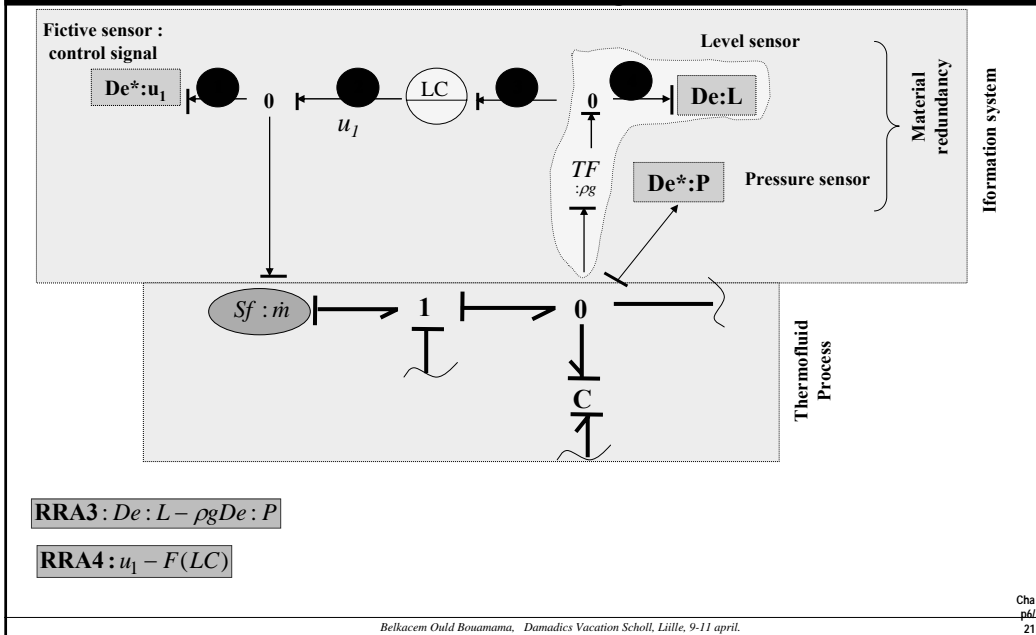
Belkacem Ould Bouamama, Damadics Vacation Scholl, Liille, 9-11 april

Chap 10

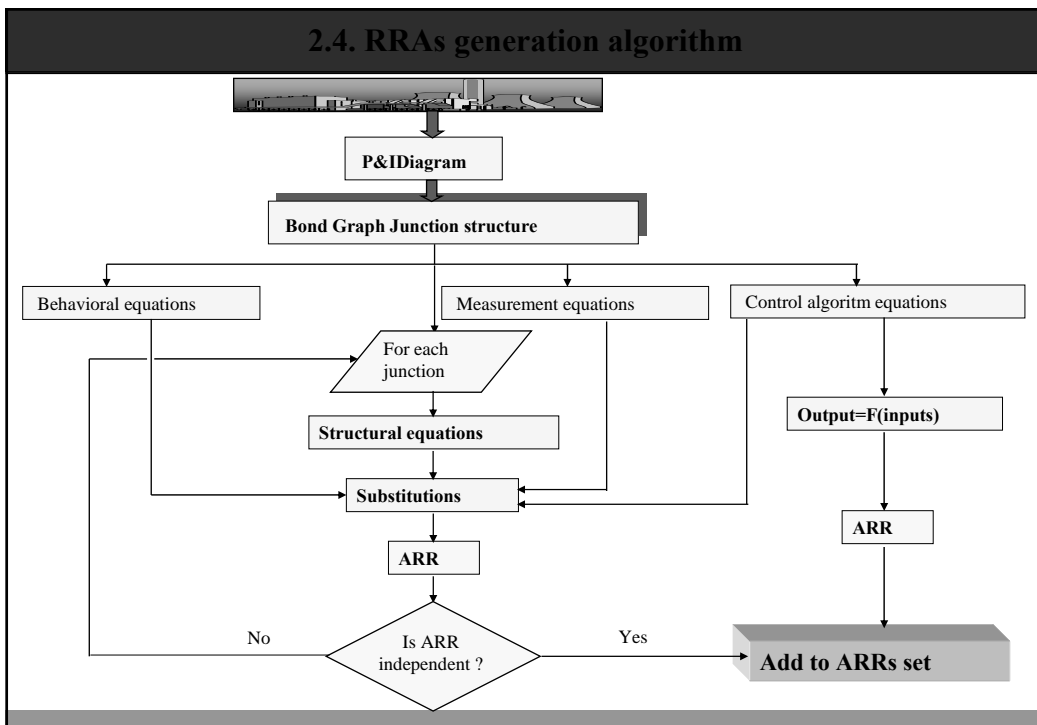
2.3.2. Bond graph model



2.3.3. Monitoring of controlled system and material redundancy



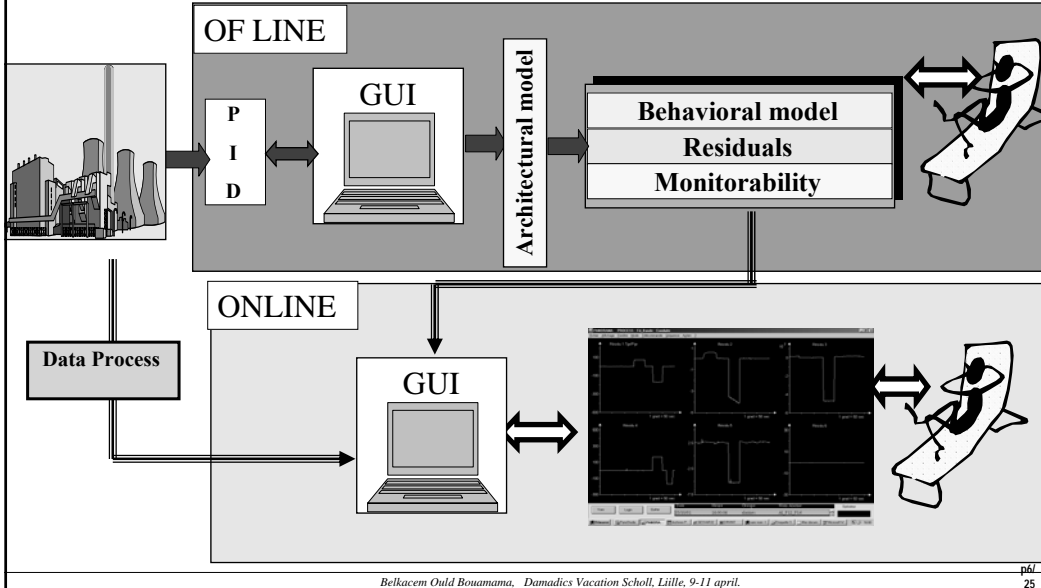
SOFTWARE IMPLEMENTATION



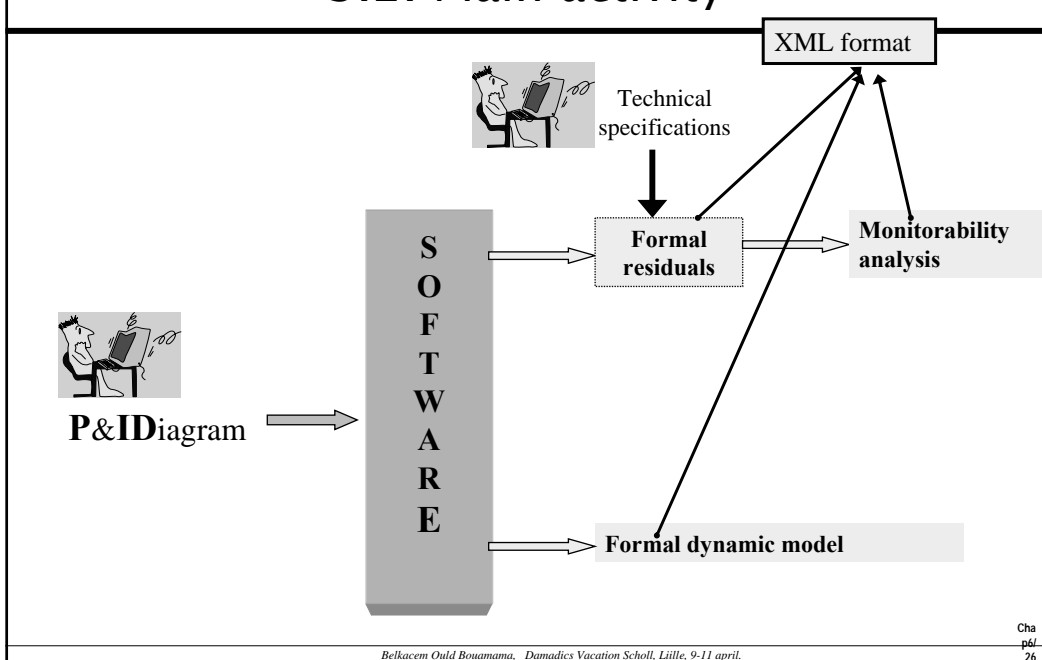
PART 3

- ⌚ INTRODUCTION
- ⌚ RESIDUAL GENERATION USING BOND GRAPH
- ⌚ RESIDUAL AND MODEL BUILDER USING SYMBOLS SOFTWARE**
- ⌚ ONLINE INDUSTRIAL APPLICATION
- ⌚ CONCLUSIONS AND DISCUSSION

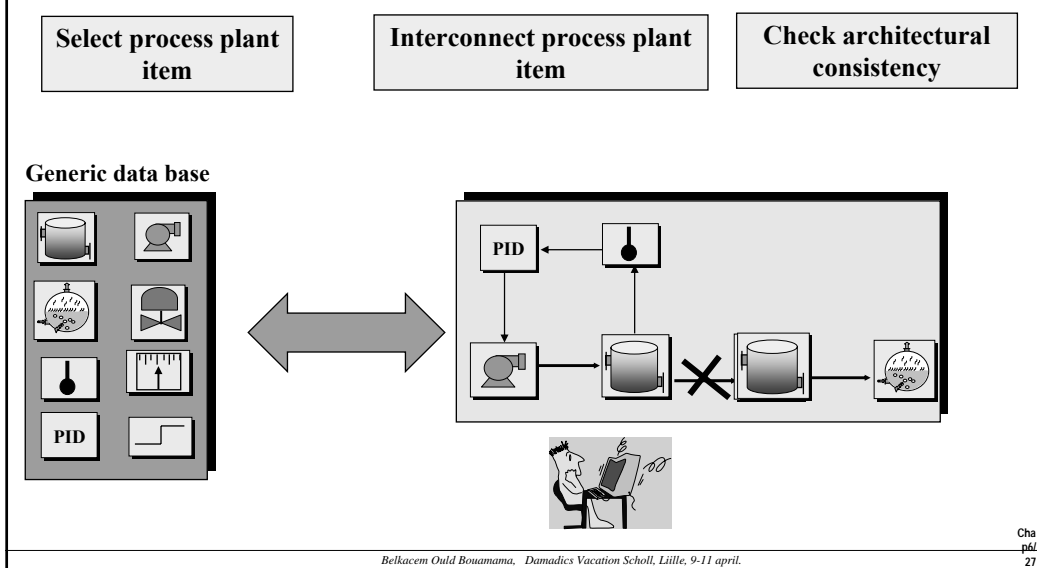
3.1. How it works ?



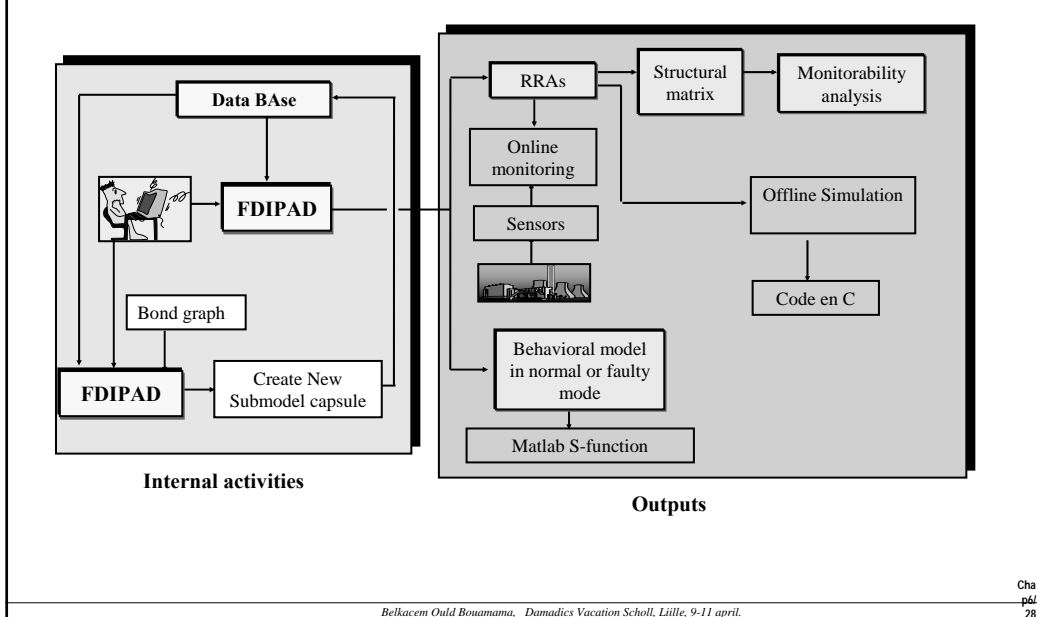
3.2. Main activity



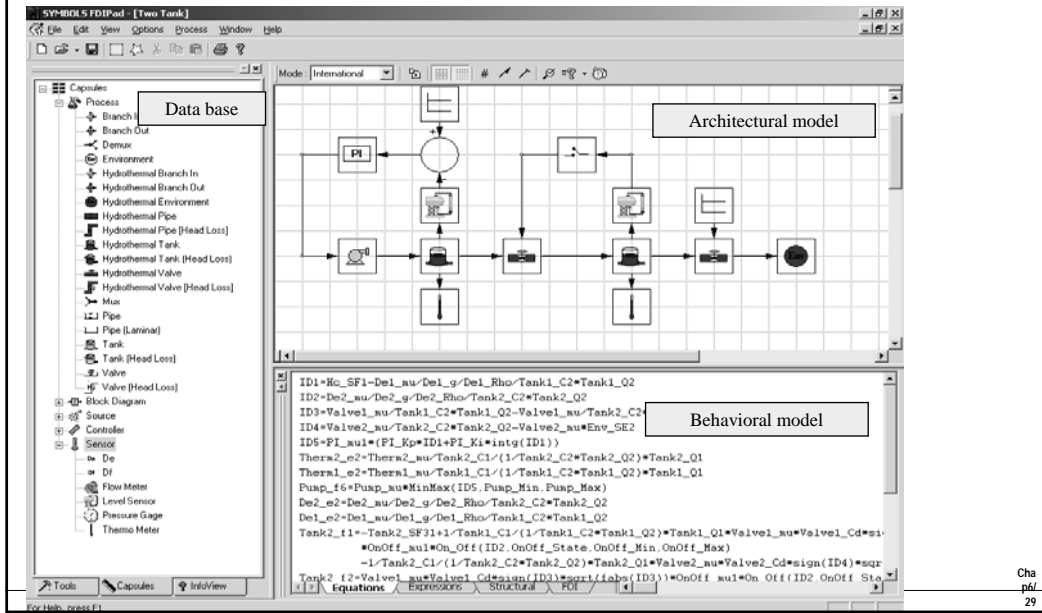
3.3. HOW TO BUILD ARCHITECTURAL MODEL ?



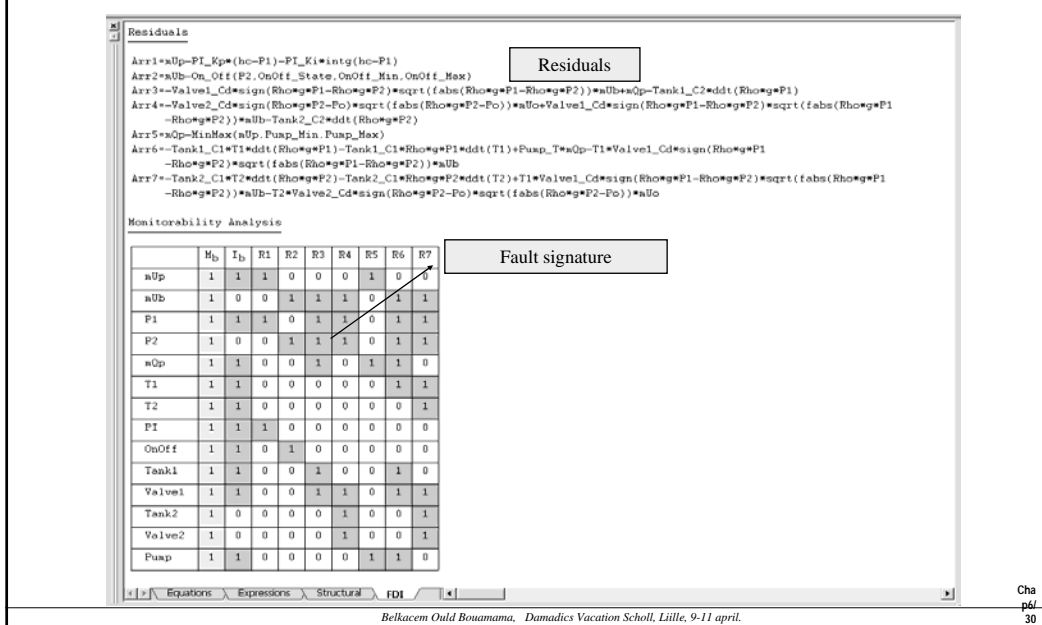
3.6. Toolbox architecture



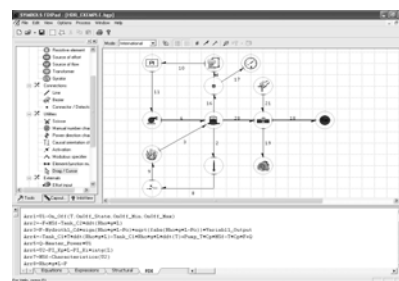
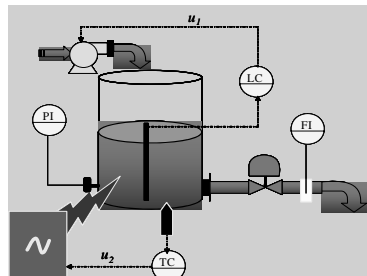
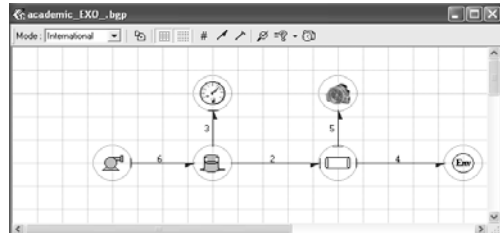
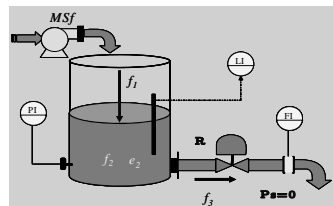
3.7. Graphical User Interface (1/2)



3.7. Graphical User Interface (2/2)



3.8. Demonstration using academic examples



Belkacem Ould Bouamama. Damadics Vacation Scholl, Lille, 9-11 april.

Cha
p6
31

PART 4

- ⦿ INTRODUCTION
- ⦿ RESIDUAL GENERATION USING BOND GRAPH
- ⦿ RESIDUAL AND MODEL BUILDER USING SYMBOLS SOFTWARE
- ⦿ ONLINE INDUSTRIAL APPLICATION
- ⦿ CONCLUSIONS AND DISCUSSION

Belkacem Ould Bouamama. Damadics Vacation Scholl, Lille, 9-11 april.

Cha
p6
32

CONCEPTION D'UN SYSTEME DE SUPERVISION : CAS DE CHEM

Chap6/33

CHEM



**Advanced Decision Support System (DSS) for
Chemical/Petrochemical manufacturing processes**



Project N° G1RD-CT-2001-00466

Groupement Européen de Recherches
Technologiques sur les Hydrocarbures

GERTH

CADRE PROJET CHEM

➲ *DEVELOPPER et IMPLEMENTER UN SYSTEME SOUS FORME MODULAIRE :*

➲ Basé sur les outils de

- Statistique, théorie des systèmes, IA pour FDI,..

➤ Pour :

- Améliorer la sécurité,
- Qualité des produits,
- Fiabilité des opérations,
- et Réduction des pertes économiques dues au fautes

➤ Appliqué aux

- Systèmes chimiques, pétrochimiques, Raffinage

➤ Où: process pilotes

➲ Finalité

➲ Un système de supervision (DSS)

- Intégrant différents outils
- Appliqué et testé sur le sites pilotes
- Et directement applicables par les partenaires

Les 12 WPs

- ⇒ WP1 : General concept and integration methodology
- ⇒ WP2 : Data pre-processing and reconciliation
- ⇒ WP3 : Process trend analysis, quality and situation assesment (7 Tbs)
- ⇒ WP4: Control system performance assesment

⇒ WP5 : Fault diagnosis and alarm management (5TBs)

- ⇒ WP6: Process optimisation
- ⇒ WP7 : Decision support structures (Reconfiguration,...) 5 TBs
- ⇒ WP8: Control system adjustment
- ⇒ WP9 : Reactive scheduling and planning (5 TBs)
- ⇒ WP10 : Toolboxes integration
- ⇒ WP11 : Test and industrial validation
- ⇒ WP12 : Project management

Prof. Belkacem Ould BOUAMAMA, Polytech'Lille, LAGIS UMR CNRS 8146

37\124

Cahier des charges

⇒ Concevoir un outil logiciel pour générer sous forme symbolique

- Les modèles dynamiques
- Les RRAs
- La surveillabilité

⇒ Pour :

- N'importe quel processus thermofluides

⇒ Intégrable dans un système de supervision

- Modèles et RRAs sous forme XML

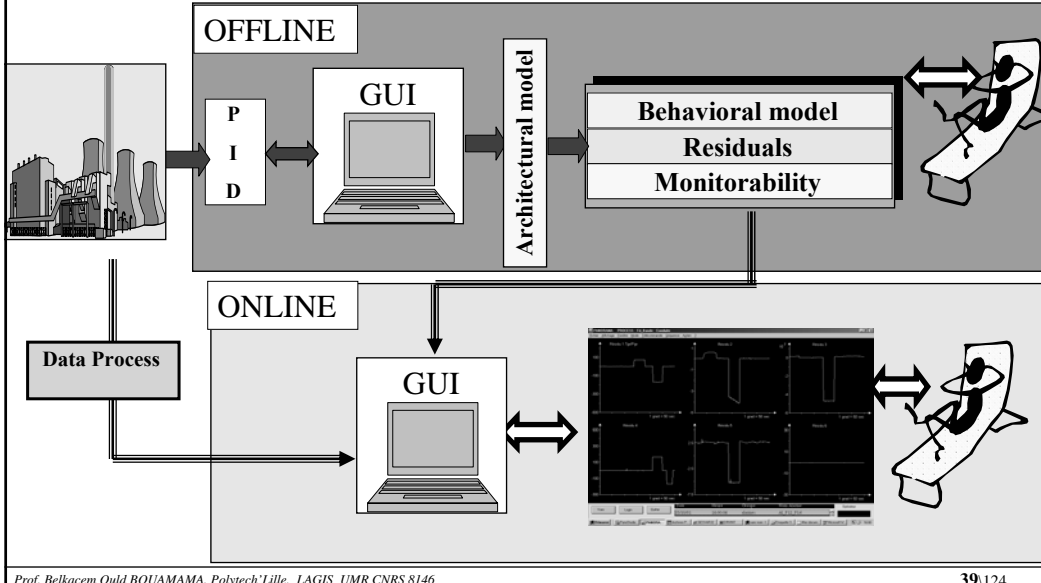
⇒ Convivial pour les opérateurs

- Introduction d'icône métiers (approche fonctionnelle)

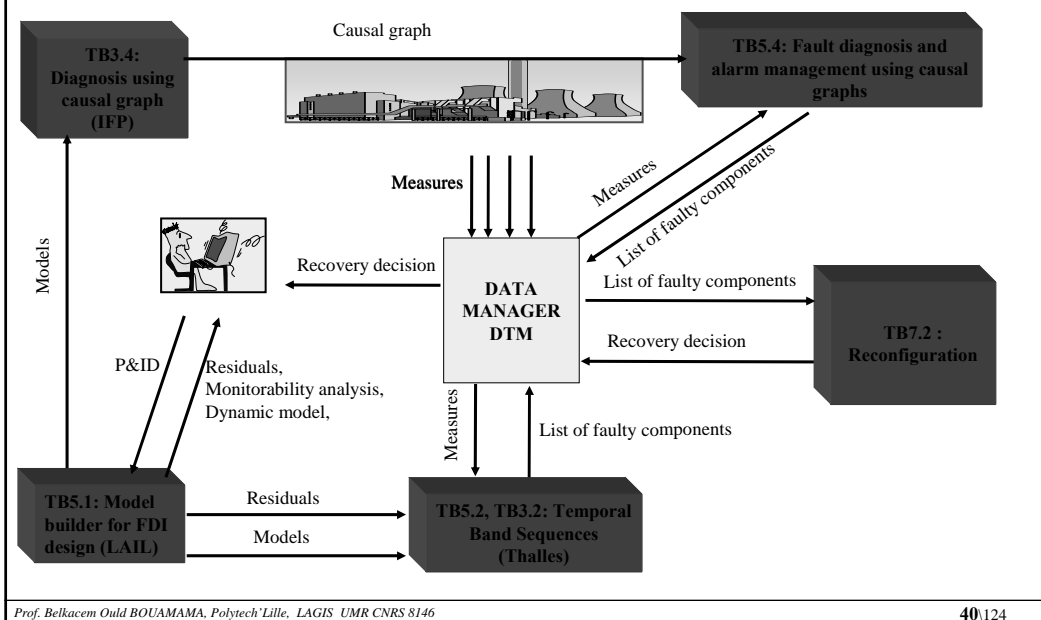
Prof. Belkacem Ould BOUAMAMA, Polytech'Lille, LAGIS UMR CNRS 8146

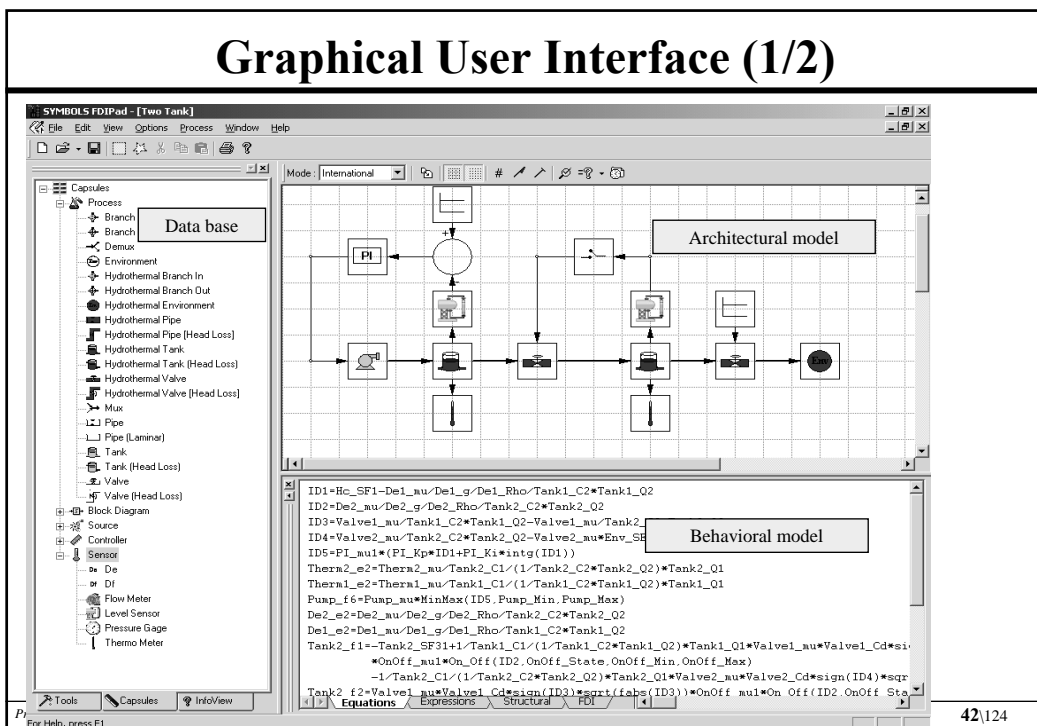
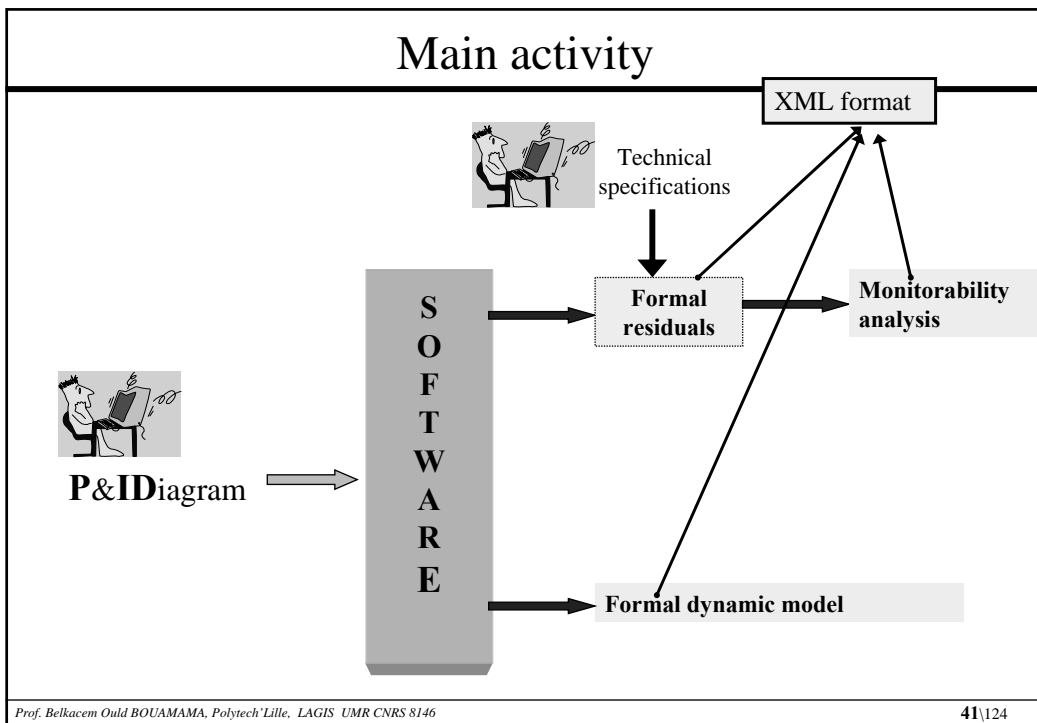
38\124

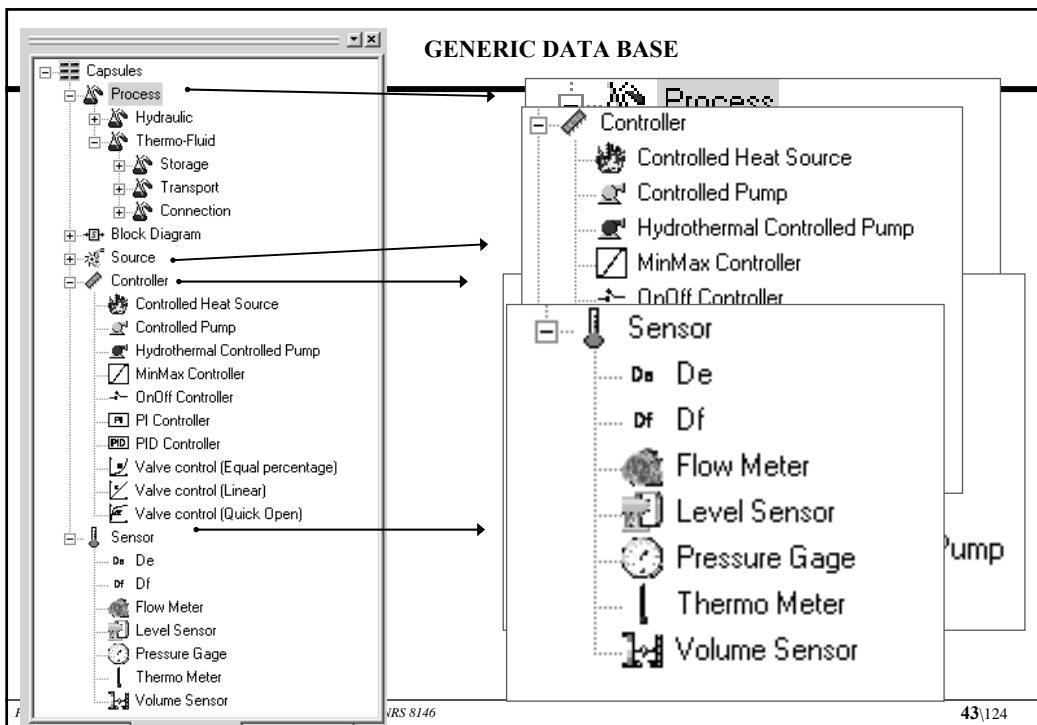
How it works ?



INTEGRATION EXAMPLE







TECHNICAL SPECIFICATIONS AND MONITORABILITY ANALYSIS

Select Items that are excluded from analysis

W ₀	T ₀	R ₁	R ₂	R ₃	R ₄	R ₅	R ₆	R ₇	R ₈	R ₉	R ₁₀	R ₁₁	R ₁₂	R ₁₃	R ₁₄	R ₁₅	R ₁₆	R ₁₇	R ₁₈	R ₁₉	R ₂₀	R ₂₁	R ₂₂	R ₂₃	
L1	1	3	0	1	3	1	0	0	1	0	1	0	0	0	0	0	0	0	0	0	0	0	0	0	0
P27	1	3	0	0	0	0	0	0	0	0	0	0	0	0	0	0	0	0	0	0	0	0	0	0	0
P15	1	3	0	0	0	0	0	0	0	0	0	0	0	0	0	0	0	0	0	0	0	0	0	0	0
P14	1	3	0	0	0	0	0	0	0	0	0	0	0	0	0	0	0	0	0	0	0	0	0	0	0
F3	1	1	1	0	1	0	0	0	1	1	1	0	0	0	0	0	0	0	0	0	0	0	0	0	0
G4	1	1	1	0	0	0	0	0	0	1	0	0	0	0	0	0	0	0	0	0	0	0	0	0	0
Pump	1	0	0	0	0	0	0	0	1	0	0	0	0	0	0	0	0	0	0	0	0	0	0	0	0
Task	1	1	0	0	1	0	0	0	0	0	1	0	0	0	0	0	0	0	0	0	0	0	0	0	0
Boiler	1	1	1	0	0	0	0	0	0	0	1	0	0	0	0	0	0	0	0	0	0	0	0	0	0
Cond	1	1	0	0	0	1	1	0	0	0	0	0	0	0	0	0	0	0	0	0	0	0	0	0	0
GasOil14	1	1	0	0	0	0	0	1	0	0	0	0	0	0	0	0	0	0	0	0	0	0	0	0	0
GasOil15	1	1	0	0	0	0	0	0	0	0	0	0	0	0	0	0	0	0	0	0	0	0	0	0	0
F1	1	1	0	0	0	0	0	0	0	0	0	0	0	0	0	1	0	0	0	0	0	0	0	0	0
V6	1	0	0	0	1	1	1	0	0	0	0	1	0	0	0	0	0	0	0	0	0	0	0	0	0
V4	1	0	0	0	1	1	1	0	0	0	0	1	0	0	0	0	0	0	0	0	0	0	0	0	0
V5	1	0	0	0	2	1	1	0	0	0	0	1	0	0	0	0	0	0	0	0	0	0	0	0	0
Boiler	1	1	0	0	0	0	0	0	0	1	0	0	0	0	0	0	0	0	0	0	0	0	0	0	0
V1	1	1	0	0	0	0	0	0	0	0	0	0	1	0	0	0	0	0	0	0	0	0	0	0	0
V2	1	1	0	0	0	1	1	0	1	0	0	0	0	0	0	0	0	0	0	0	0	0	0	0	0
V3	1	0	0	0	0	1	1	0	1	0	0	0	0	0	0	0	0	0	0	0	0	0	0	0	0
V7	1	0	0	0	0	0	0	0	0	1	0	0	0	0	0	0	0	0	0	0	0	0	0	0	0

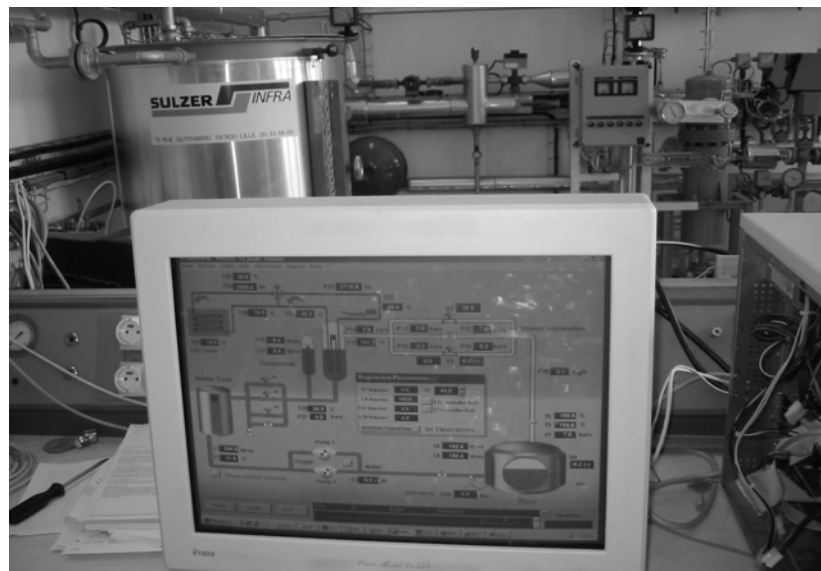
OK Cancel

Prof. Belkacem Ould BOUAMAMA, Polytech'Lille, LAGIS UMR CNRS 8146 44|124

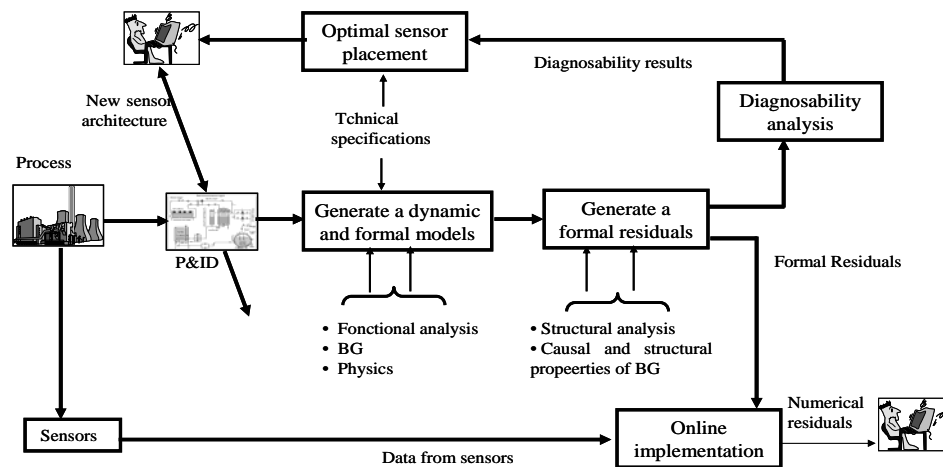
APPLICATION A UNE INSTALLATION DE GENERATEUR DE VAPEUR

Chap6/45

Application to a steam generator supervision



Tâches du logiciel de supervision

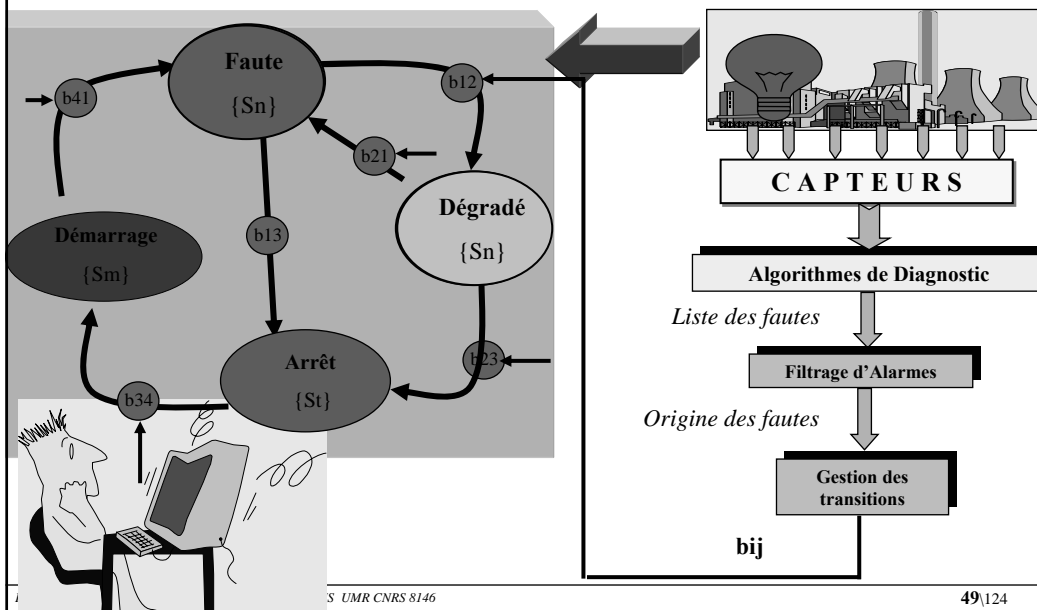


RECONFIGURATION

Notion de tolérance aux fautes

Chap6/48

Interface dans la gestion des modes opératoires



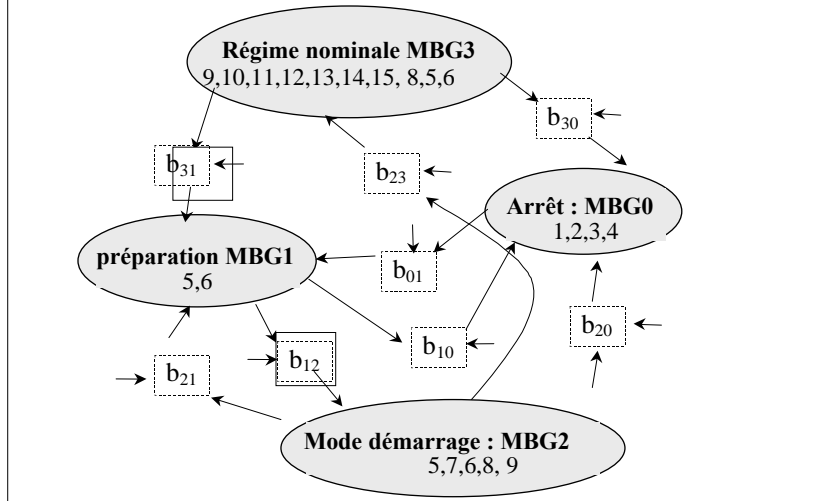
49/124

Exemple sur le générateur de vapeur

Nb	Missions
1	To blow of the boiler
2	To blow of the tank
3	to maintain equipment
4	To blow of the condenser
5	To store the water in the tank
6	Provide pressure difference between the receiver and the boiler
7	supply the boiler with thermal energy
8	To store the water in the boiler
9	To produce steam
10	To expanse the steam out of the boiler
11	To control the pressure in the boiler
12	To control the pressure in the condenser
13	To control the level in the condenser
14	To condense the steam
15	To control water level in the boiler

Prof. Belkacem Ould BOUAMAMA, Polytech Lille, LAGIS UMR CNRS 8146

50/124



CONCLUSIONS

⇒ Supervision

- Niveau supérieur dans les Systèmes Automatisés de production
- Indispensable pour la conduite de procédé en régime normal et défaillant
- Importance dans les procédés de production : sûreté de fonctionnement et sécurité des équipements et des individus

⇒ Difficultés dans le mise en œuvre de systèmes de supervision

- Difficulté d'avoir des modèles robustes et précis
- Incertitude dans les mesures et dans les mesures
- Dilemme : fausses alarmes et non détection
- Méthodes à base de modèles analytiques efficace en détection mais imprécises en décision
- Méthodes à base de l'Intelligence artificielle (méthodes expertes, floues, neuronales, ..) précises en décision amies imparfaites en détection

⇒ Avenir de la supervision

- Outil d'aide à la décision pour l'opérateur dans la gestion des tâches de pilotage de procédés pour
 - Protection de l'environnement
 - Sécurité des installations et des individus
 - Augmenter l'efficacité et le rendement des procédés
 -

CONCLUSIONS

- ⦿ In supervision tasks, human operators do not consider the running process in terms of its mathematical behavior, but of its P&Ids or functions
- ⦿ The interest of the presented approach :
 - consists in the use of only one representation (bond graph modelling) for ARRs and dynamics models generation in symbolic format.
 - the industrial designer can easily (because of integration of the functional tool as interface with the human operator) build the thermofluid dynamic model and ARRs
 - Propose to the user a sensor placement to satisfy a given technical specification
 - To add a new component in the data base in a generic way

Cha
p6/
53

Belkacem Ould Bouamama, Damadics Vacation Scholl, Lille, 9-11 april.

Bibliography

- ⦿ Ould Bouamama B., et M. Staroswiecki (2001). T.1. Automatique et statistiques pour le diagnostic. sous la direction de Bernard Dubuisson, chap. 6 : Surveillance d'un générateur de vapeur. Chap 2 : Redondance Analytique , Chap. 3 : Générateur d'indicateurs de fautes à l'aide d'observateurs, collection IC2 Productique, Informatique Commande et Communication, Edition Hermès, 204 pages, Paris 2001. (existe en deux tomes)
- ⦿ M. blanke and al. « *Diagnosis and Fault Tolerant Control* » Springer Verlag 2003
- ⦿ J. Ragot, D. Macquin, « Diagnostic des systèmes linéaires », Hermès Collection Pédagogique d'automatique, Paris 2000
- ⦿ A.K.Samantaray, K. Medjaher, B. Ould Bouamama, M. Staroswiecki, G. et Dauphin-Tanguy (2004). *Component Based Modelling of Thermofluid Systems for Sensor Placement and Fault Detection*. SIMULATION : Transactions of SCS, Vol. 80, Issue 7-8, pp. 381-398, October, 6, 2004.
- ⦿ B. Ould Bouamama, K. Medjaher, A.K. Samantaray et M. Staroswiecki *Supervision of an industrial steam generator*. Part I: Bond graph modelling, Control Engineering Practice, CEP, Vol 14/1 pp.71-83

Cha
p6/
54

Belkacem Ould Bouamama, Damadics Vacation Scholl, Lille, 9-11 april.